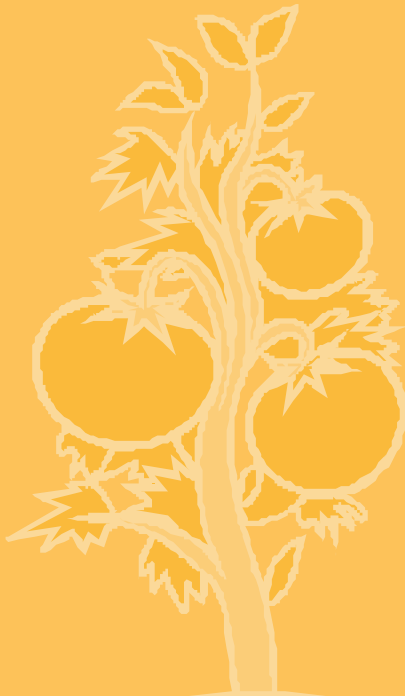


XXVII (1) : 1–52 (2016) : p-ISSN 1024-0845 e-ISSN 2228-4893

Kaastööde esitamiseks ja vabaks juurdepääsuks külastage: <http://agrt.emu.ee>
For online submission and open access visit: <http://agrt.emu.ee/en>

AGRAARTEADUS

JOURNAL OF AGRICULTURAL SCIENCE



J Agric Sci
Vol. 27 No. 1
pp 1–52
Estonian Academic
Agricultural Society
Tartu, Estonia
June 2016

AKADEEMILISE PÖLLUMAJANDUSE SELTSI VÄLJAANNE
TARTU 2016

Toimetuskolleegium / Editorial Board

Peatoimetaja / Editor-in-chief

Alo Tänavots	Estonian University of Life Sciences
--------------	--------------------------------------

Toimetajad / Editors

Maarika Alaru	Estonian University of Life Sciences
David Arney	Estonian University of Life Sciences
Tanel Kaart	Estonian University of Life Sciences
Marko Kass	Estonian University of Life Sciences
Brian Lassen	Estonian University of Life Sciences
Evelin Loit	Estonian University of Life Sciences
Toomas Orro	Estonian University of Life Sciences
Oliver Sada	Estonian University of Life Sciences
Ants-Hannes Viira	Estonian University of Life Sciences

Rahvusvaheline toimetuskolleegium / International Editorial Board

Berit Bangoura	University of Leipzig, Institute of Parasitology, Germany
Ants Bender	Jõgeva Plant Breeding Institute, Estonia
Gunita Deksne	Institute of Food Safety, Animal Health and Environment - "BIOR", Latvia
Margareta Emanuelson	Swedish University of Agricultural Sciences
Martti Esala	Natural Resource Institute Finland, Luke
Marek Gaworski	Warsaw University of Life Sciences, Poland
Csaba Jansik	Natural Resource Institute Finland, Luke
Aleksandrs Jemeljanovs	Latvia University of Agriculture
Olav Kärt	Estonian University of Life Sciences
Hussain Omed	Bangor University, UK
Sven Peets	Harper Adams University, UK
Pirjo Peltonen-Sainio	Natural Resource Institute Finland, Luke
Jan Philipsson	Swedish University of Life Sciences
Vidmantas Pileckas	Lithuanian University of Health Sciences
Jaan Praks	Estonian University of Life Sciences
Baiba Rivza	Latvia University of Agriculture
Mart Sõrg	Tartu University, Estonia
Rein Viiralt	Estonian University of Life Sciences

Abstracted / indexed: AGRICOLA, AGRIS, CABI, CABI Full Text, DOAJ, EBSCO

p-ISSN: 1024-0845 **e-ISSN:** 2228-4893

Väljaandmist toetab Eesti Maaülikool / Supported by Estonian University of Life Sciences

Trükk / Print: Eesti Ülikoolide Kirjastus OÜ

Kaanepilt / Cover image by johnny_automatic

AGRAARTEADUS

1 ♦ XXVII ♦ 2016

Väljaandja:	Akadeemiline Põllumajanduse Selts
Peatoimetaja:	Alo Tänavots
Tehniline toimetaja:	Irje Nutt
Address:	Kreutzwaldi 1, 51014 Tartu
e-post:	jas@emu.ee
www:	http://aps.emu.ee , http://agrt.emu.ee

Agraarteaduses avaldatud teaduspublikatsioonid on retsenseeritud

SISUKORD

TEADUSARTIKLID

<i>A. Bender</i>	
Kattevilja agrofooni ja põldtimuti külvisenormi mõju sordi 'Tika' seemnesaagile	3
<i>M. Gaworski</i>	
Assessment of dairy production development on the example of Polish conditions and comparision with certain European countries	12
<i>H. Kaldmäe, A. Olt, M. Ots</i>	
Kuivatatud ja konserveeritud söödateravilja mükotoksiinide sisaldusest Eestis	19
<i>R. Kõlli</i>	
Ülevaade: Rabamuld – Eesti aasta 2016 muld	26
<i>M. Olle</i>	
Short communication: The effect of vermicompost based growth substrates on tomato growth ...	38
<i>M. Ramin, M. Vaga, E.H. Cabezas-Garcia, E. Detmann</i>	
Comparison of methane production from individual feeds and total diets – an <i>in vitro</i> evaluation	42

RAAMATUTE ÜLEVAATED

<i>A. Kaasik</i>	
Kõrgkooliõpik <i>Õhusaaste käsiraamat</i>	48

KROONIKA

<i>I. Nutt</i>	
Harald Tikk 85	49
<i>H. Peterson</i>	
Lahkus Eesti-Läti sillapea – HENN TUHERM – <i>in memoriam</i>	50
Jubelialbum Akadeemiline Põllumajanduse Selts 95	51

JOURNAL OF AGRICULTURAL SCIENCE

1 ♦ XXVII ♦ 2016

Published by: Academic Agricultural Society

Editor in Chief: Alo Tänavots

Technical Editor: Irje Nutt

Address: Kreutzwaldi 1, 51014 Tartu,

e-mail: jas@emu.ee

www: <http://aps.emu.ee>, <http://agrt.emu.ee>

Scientific publications published in Agraarteadus are peer-reviewed

CONTENTS

RESEARCH ARTICLES

A. Bender

Effect of the seeding and fertilization rates of cover crop and the seeding rate of timothy
on the seed yield of the cultivar 'Tika' 3

M. Gaworski

Assessment of dairy production development on the example of Polish conditions and
comparison with certain European countries 12

H. Kaldmäe, A. Olt, M. Ots

Mycotoxin contamination in dried and high moisture fermented cereals in Estonia 19

R. Kõlli

Review: Bog soil – Year 2016 Soil of Estonia 26

M. Olle

Short communication: The effect of vermicompost based growth substrates on tomato growth
..... 38

M. Ramin, M. Vaga, E.H. Cabezas-Garcia, E. Detmann

Comparison of methane production from individual feeds and total diets – an *in vitro*
evaluation 42



KATTEVILJA AGROFOONI JA PÖLDTIMUTI KÜLVISENORMI MÖJU SORDI 'TIKA' SEEMNESAAAGILE

EFFECT OF THE SEEDING AND FERTILIZATION RATES OF COVER CROP AND THE SEEDING RATE OF TIMOTHY ON THE SEED YIELD OF THE CULTIVAR 'TIKA'

Ants Bender

Eesti Taimekasvatuse Instituut, Aamisepa 1, 48309, Jõgeva

Saabunud: 12.02.16
Received: 16.03.16
Aktsepteeritud:
Accepted:

Valdatud veebis: 18.03.16
Published online:

Vastutav autor: Ants Bender
Corresponding author: Ants Bender
e-mail: ants.bender@etki.ee

Keywords: seeding rate of cover crop, nitrogen fertilizer level, seeding rate of timothy, seed yield, economic profitability

Link: [http://agrt.emu.ee/pdf/
2016_1_bender.pdf](http://agrt.emu.ee/pdf/2016_1_bender.pdf)

ABSTRACT. In the years 2012–2015, the Estonian Crop Research Institute conducted a field trial in order to investigate the effect of the seeding and fertilizer rates of the cover crop barley 'Inari', and of the seeding rate of the timothy grass 'Tika' on the seed yield. In the trial there were four variants with the cover crop's seeding rate and nitrogen fertilizer rate, and three different seeding rates of timothy grass (3, 6 and 9 kg ha⁻¹) were tested. The trial results indicated that both the seeding rate of the cover crop (variants 333 and 500 germinating seeds per m⁻²) and the nitrogen fertilizer rate (variants 60 and 90 kg N ha⁻¹) had an effect on the later seed yield of the timothy grass. Thereat the effect of the cover crop's seeding rate was smaller; the effect of nitrogen fertilizer bigger. The effect of the cover crop on the seed yield of timothy was bigger in the first year after establishment, in the following years the effect decreased. The highest timothy seed yield was obtained in the trial variant that was seeded with 3 kg of 100% pure live seeds (PLS) per hectare under the cover crop the seeding rate and nitrogen fertilizer rate of which had been reduced by one third. Economic calculations also indicated that in total of the year of establishment and three years of seed harvest, this variant turned out to be the most profitable one for the seed producer. The studied trial variants had no effect on the quality of timothy seed.

© 2016 Akadeemiline Pöllumajanduse Selts. Kõik õigused kaitstud. 2016 Estonian Academic Agricultural Society. All rights reserved.

Sissejuhatus

Eestis, nagu teisteski põhjamaades, on kõrreliste heintaimeliikide seas tähtsaim pöldtimut (*Phleum pratense* L.). Viimase viie aasta jooksul on Eestis tunnustatud kõrreliste heintaimede seemnekasvatuse pindasid kokku 4780 ha, milles 1964 ha e 41,1% moodustas pöldtimut. Viie viimase sertifitseerimisperioodi vältel on sertifitseeritud kõrreliste seemneid kokku 1 374 476 kg. Pöldtimuti osa selles oli 530 753 kg e 38,6%.

Liigi seemet on Eestis kasvatatud vähemalt 200 aastat pärast seda, kui siinmail hakati taanlaste eeskujul lisama pöldtimutit punasele ristikule pöldheina põllu külvamisel. Liigi seemnekasvatuse agrotehnika on selle aja jooksul hästi omandatud. Seemnesaak on üldiselt stabiilne ja koguseliselt tootjat rahuldav. Sellest tulenevalt ei ole teadusasutustes pöldtimuti seemnekasvatust viimasel viiekünnel aastal uuritud.

Eestis on pöldtimuti seemnepõlde soovitatud rajada nii katteviljata kui ka kattevilja aluste külvidena. Kattevilja aluste külvide eelised: 1) kindlustab seemnekasvatajale saagi (ja tulu) ka muidu saagitul aastal; 2) takistab umbrohtude levikut ja 3) kaitseb noori taimi ebasoodsate ilmastikuolude eest (Marshall jt, 1998). Kattevilja aluste külvide seemnesaak esimesel saagi-aastal jäääb madalamaks võrreldes külvidega, mis rajatud ilma katteviljata (Timothy..., 2004). Seemnekasvataja peab leidma endale soodsaa kompromissi: saada katteviljalt arvestatav saak, samal ajal allakülvvi võimalikult vähe kahjustades. Selleks vähindatakse kattevilja külvisenormi ja väetatakse lämmastikuga tagasihoidlikumalt. Kanadas külvatakse kattevili pöldtimuti seemnepõllu rajamisel poole normiga (Timothy..., 2004). Ameerika Ühendriikides soovitatakse vähendada kattevilja külvisenormi heinaseemne pöldude rajamisel 25–50% (Undersander jt, 1990). Eestikeelsetes vanemates

kirjandusallikates leidub soovitusi vähendada kattevilja külvisenormi vahemikus 15–50% (Korjus, 1964, 1969; Rand, 1992). Üldjuhul soovitatakse nii kodu- kui välismaises kirjanduses allakülv korral vähendada ka kattevilja lämmastikväetise normi 25–33%. Viimased uuringud Norras on töestanud, et seoses lühema körre- ga seisukindlate suviteravilja sortide kasutusele tule- kuga ei ole enam mõttetas seemnepöölu rajades katte- vilja külvisenormi ja lämmastikväetise normi vähend- dada (Havstad, Aamlid, 2011). Meie katse üheks ees- märgiks oli kontrollida neid Norra soovitusi Eesti kliimatingimustes ja siinsete sortidega.

Eestis on pöldtimuti seemnepöölu rajamisel soovitatud kasutada külvisenormi $4\text{--}7 \text{ kg ha}^{-1}$ (Korjus, 1969; Rand, 1992; Annuk, Aavola, 2006), Lätis $5\text{--}7 \text{ kg ha}^{-1}$ (Guide..., 2008), Poolas $4,2 \text{ kg ha}^{-1}$ (Szczepanek, Katanska-Kaczmarek, 2012), Serbias $4\text{--}6 \text{ kg ha}^{-1}$ (Vučković jt., 2003), Norras $3\text{--}5 \text{ kg ha}^{-1}$ (Havstad, Aamlid, 2011), USA-s soovitatakse aga külvisenormi $1\text{--}2 \text{ kg ha}^{-1}$ (Ogle jt., 2011) ning Kanadas $1,1\text{--}2,2 \text{ kg ha}^{-1}$ (Timothy..., 2004). Mitme autori poolt on leitud, et pöldtimuti külvisenormil vahemikus $2,5\text{--}10 \text{ kg ha}^{-1}$ on suhteliselt väike mõju hilisemale seemnesaagile (Fulkerson, Tossell, 1961; Wallenhammar, Anderson, 2007) ning külvisenormi suurendamine üle teatava piiri võib koguni viia seemnesaagi langusele (Hampton, Fairey, 1998; Vučković jt., 2003; Wallenhammar, Anderson, 2007). Külvisenormi täpsustamiseks meie tingimustes võeti katsesse kolm erinevat külvisenormi ($3, 6, 9 \text{ kg ha}^{-1}$).

Uurimistöö eesmärk oli kontrollida kattevilja külvisenormi, lämmastikväetise normi ja pöldtimuti külvisenormi mõju pöldtimuti seemnesaagile, ühtlasi nende agrotehniliste võtete mõju seemnekasvutuse majanduslikele näitajatele.

Katsematerjal ja metoodika

Eespool loetletud eesmärkide saavutamiseks rajati 2012. aastal Jõgevale kattevilja aluse külvinä pöldkatse, kus katteviljaks oli keskvalmiv odrasort 'Inari', mille alla külvati pöldtimuti 'Tika' katselapid eri külvisenormidega. Katteviljale sobiva agrofooni selgitamiseks olid kates järgmised variandid:

- 1) kattevilja külvisenorm vähendatud (külvati 66% tavatootmises kasutatavast normist), lämmastikväetise norm vähendatud (66% tavatootmises kasutatavast normist) – kontrollvariant (St);
- 2) kattevilja külvisenorm vähendamata (100%), lämmastikväetise norm vähendatud (66% tavanormist);
- 3) kattevilja külvisenorm vähendamata (100%), lämmastikväetise norm vähendamata (100%);
- 4) kattevilja külvisenorm vähendatud (66% tavanormist), lämmastikväetise norm vähendamata (100%).

Variantide arvutamisel olid aluseks odra külvisenorm $500 \text{ idanevat tera m}^2$ (100%) ja lämmastikväetise norm $N 90 \text{ kg ha}^{-1}$ (100%). Kattevilja variantide vahel olid eraldusribad laiusega 3 m. Kõigil kattevilja neljal agrofoonil uuriti pöldtimuti külvisenorme 3, 6 ja $9 \text{ kg 100\%-lise külviväärtusega seemet hektarile}$. Nende normidega külvates sattus m^2 -le vastavalt 551, 1102 ja

1653 idanevat pöldtimuti seemet. Külvisenormi variandid rajati neljas korduses, katselappide asetus oli randomiseeritud. Katse kogupindala – 1240 m^2 .

Katse rajati leostunud mullale (K_o), mille agrokeemilised näitajad olid järgmised: $\text{pH}_{\text{KCl}} 5,8$, $P 152$, $K 198$, $\text{Ca} 1959$, $Mg 126 \text{ mg kg}^{-1}$ ja $C_{\text{org}} 2,3\%$. Määramise meetodid: $\text{pH} - \text{ISO } 10390$; P , K , Ca , $Mg - \text{Mehlich III}$; $C_{\text{org}} - \text{NIRS}$. Katseala mullareaktsioon oli mõlemale katsekultuurile sobiv, fosforitarve väike, kaaliumitarve keskmne.

Katse rajamise eel külvati katsealale fosfor-kaalium-väetised käsitsi, väetisena kasutati granuleeritud liitväetist Scalsa (sisaldas mikroelementide boori 0,02%) normiga 400 kg ha^{-1} ($P 19$, $K 67 \text{ kg ha}^{-1}$). Lämmastikväetis anti rajamisaastal ammoniumsalpeetrina vastavalt katseplaanile külvikuga Saxonia enne viimast külvieelset mullaharimist. Pöldtimuti seemnesaagi aastail anti lämmastikväetist kahes jaos: nädal pärast vegetatsiooni algust normiga $N 70 \text{ kg ha}^{-1}$ ja teine kord pöldtimuti kõrsumise algul (mai II pool) normiga $N 35 \text{ kg ha}^{-1}$. Normide ja andmisaegade valikul lähtusime Norra, Roots ja Soome katsetulemustest ja soovitustest (Niemeläinen, Järvi, 1995; Aamlid, 1997a; Aamlid, 1997b; Wallenhammar, 1998; Havstad, 2003; Havstad, Aamlid, 2006) mis langevad kokku Eestis H. Korjuse poolt soovitatutega (Korjus, 1969). Väetisena kasutati ka seemnesaagi aastail ammoniumsalpeetrit, külvati külvikuga Hege 33.

Kattevilja külvati külvikuga Ferguson kitsarealiselt (reavahe 15 cm) 30. aprillil 2012. a. Pöldtimuti allakülv, risti kattevilja ridadega, reavahe 15 cm, tehti kaks päeva hiljem külvikuga Hege 80. Lühialiste kaediduleheliste umbrohtude tõrjeks pritsiti katseala ajal, mil teravili oli võrsumisfaasis herbitsiidiga MCPA 750, norm $1,0 \text{ l ha}^{-1}$.

Kattevilja tiheduse määramiseks loendati odra generatiivvõrsete arv pinnalt $0,5 \times 0,5 \text{ m}$ neljas korduses, taimede kõrgust mõõdeti odra õitsemise ajal mulla-pinnast ohete tipuni 16 korduses. Odra terasaak määratigi 14. augustil katsekombainiga Wintersteiger arrestus-lappidel pindalaga 7 m^2 kuues korduses, ülejäänud katseala koristati kombainiga Sampo 500. Põhk riisuti katselt koristusjärgsel päeval ja veeti minema. Odra kõrs niideti motoroboti MF 70-ga üle, kontsu kõrgus ühtlustati 15 cm peale. Teravili proovid kuivatati dinezenskuivatis, sorteeriti, kaaluti ja arvutati saak. Saagi kvaliteedi näitajatest määratigi mahumass, 1000 seemne mass ja toorproteiinisisaldus. Analüüsides tehti Eesti Taimekasvutuse Instituudi biokeemia laboratuurimis.

Pöldtimuti külvisenormi ja kattevilja agrofooni järelmõju selgitamiseks loendati esimesel kasutusaastal generatiivvõrsete arv pinnalt $0,5 \times 0,5 \text{ m}$ neljas korduses, mõõdeti generatiivvõrsete kõrgust mullapinnalt pöörispea tipuni 16 korduses ja pöörispeade pikkust 100 korduses.

Pöldtimuti seeme koristati katsekombainiga Hege 140 kahefaasiliselt. Esimene läbipeks tehti täisküpse varases staadiumis (pöörispeade tippudel esimesed

pudenemise märgid). Teist korda peksti kontsule ühtlasest laotatud seemnehein 5–7 päeva pärast.

Seemnemassi ventileeriti kolm ööpäeva välisõhuga ja kuivatati seejärel dinezenskuvatis. Katselappide seemnekogused sarjati käsisarjaga ja lõpp-puhastati Kamas-Westrupi laboratoorse sorteeringa LALS. Saavutati seemnete 99,8–100%-line puhtus. Artiklis esitatakse 14%-lise niiskusesisaldusega seemnesaagid I ja II koristusfaasi summana, milles II faasi osatahtsus sõltuvalt katseaastast ja variandist oli 6,2–19,9%. Kolm kuud pärast kombainimist ja puhastamist määritati laboratooriumis seemnetel 1000 seemne mass ja idanevus.

Majandusarvestuste aluseks olid tootmissisendite hinnad 2012. a kevadel, odra võimalik realiseerimishind 2012. a detsembris ning põldtimuti seemne hind detsembris 2015.

Katse rajamisaasta (2012) taimekasvuperiood oli ilmastikutingimustelt jahedapoolne, sademeterohke. Kõige rohkem sadas juunis (110 mm e 163% normist) ja augustis (130 mm e 147% normist). Odra võrsuseks ja hea saagi moodustumiseks olid tingimused soodsad, kuid normist lühem päiksepaiste kestus ja koristusaegsed rohked sademed ei võimaldanud saadud saagi kõrget kvaliteeti. Tingimused allakülvatud põldtimuti tärkamiseks, kasvuks ja arenguks olid kattevilja all head. Odra koristamise järel jäi põldtimuti taimede talve-eelset kasvu- ja kosumisaega vegetatsiooniperioodi lõpuni (lõppes Jõgeva AMJ andmetel 25. oktoobril) 72 päeva. Sügis oli öökülmavaba. Esimene öökülm registreeriti Jõgeval 23. oktoobril, mis on paljude aastate keskmisest 31 päeva hiljem.

Põldtimuti esimese seemnesaagiaasta (2013) kevad oli hilispoolne. Mai, juuni ja juuli olid aga kõik tavapärasest kõrgema õhutemperatuuriga, juuni-juuli-august samas sademetevaesed. Ilmastiukolud olid põldtimuti õitsemise ja saagi valmimise ajal soodsad.

Teisel seemnesaagiaastal (2014) olid ilmaolud vastulised. Maikuu oli paljude aastate keskmisest soojem. Maksimaalne õhutemperatuur tõusis üle 25 °C kaheksal päeval, mis on rekord vaatlusreas 1922–2014. Efektiivseid õhutemperatuure kogunes kuu jooksul 222 kraadi, mis on paljude aastate keskmisest 42 kraadi rohkem. Looduses vastas see 11-päevasele edumaale. Soojale maikuule järgnes tavatult jahe juuni. Eriti jahe oli kuu viimane dekaad – keskmine õhutemperatuur ainult 11,3 °C. Kogu vaatlusrea jooksul on nii jahe juuni III dekaad Jõgeval olnud vaid ühel aastal (1923). Neljal korral (24., 26., 27. ja 28. juunil) registreeriti taimkatte pinnal koguni öökülma. 17. juunil sadas Jõgeval lumekruupe ja lumelörtsi, 23. juunil rahet.

Juulis, põldtimuti seemnete täitumise ja valmimise ajaks ilmaolud paranesid. Kuu keskmine õhutemperatuur oli 2,5 °C võrra paljude aastate keskmisest kõrgem. Maksimaalne õhutemperatuur tõusis üle 25 °C kuu jooksul 17 päeval ja oli võrdne või üle 30 °C neljal päeval. Kuu oli sademetevaene (48 mm). Päikesepaistet oli juulis 21% paljude aastate keskmisest enam.

Ka august oli paljude aastate keskmisest soojem, kuid kahjuks sademeterohke – sademeid 131 mm, mis on 42 mm üle paljude aastate keskmise. Põldtimuti seemnete küpsemise ajal olid ilmaolud muutlikud. See sundis valima koristusaega mitte seemnete küpsustamste vaid ilmaprognosi järgi.

Kolmandal seemnesaagi aastal (2015) algas taimekasv 21. aprillil. Õhutemperatuur ületas paljude aastate keskmist ainult aprilli III ja mai I dekaadis. Järgnes jahe, paljude aastate keskmisest madalamana õhutemperatuuriga kevade II pool ja suvi. Ühelgi päeval ei töusnud Jõgeval õhutemperatuur 30 °C-ni, ainult kahel päeval juulis tõusis õhutemperatuur üle 25 °C. Aktiivne taimekasvuperiood oli sademetevaene, kuid mitte põuanne. Kõige vähem sademeid langes augustis (38% paljude aastate keskmisest), mis soodustas seemnesaagi valmimist ja kahefaasilist koristamist. Kokkuvõttes võib 2015. aasta ilmaolude kohta väita, et need olid põldtimuti seemnekasvatuseks igati soodsad, mis väljendus ka saagiandmetes.

Katseandmete statistiliseks analüüsiks on kasutatud arvutiprogrammi AGROBASE-20™.

Katsetulemused ja arutelu

Kattevilja taimik, saak ja saagi kvaliteet

Allakülvatud põldtimuti kasvu ja arengut külviaastal mõjutavad valgustingimuste kaudu nii kattevilja kõrgus kui tihedus. Odra generatiivvõrsete kõrgus sõltus katses rakendatud agrofoonidest vähe (tabel 1). Odra külvisenorm generatiivvõrsete kõrgust ei mõjutanud. Lämmastikväetise täisnormi variantides olid võrreldes vähendatud lämmastikväetise variantidega odra generatiivvõrsed 1–2 cm kõrgemad, kuid see erinevus ei olnud statistiliselt usutav.

Kattevilja tihedust mõjutas nii odra külvisenorm kui lämmastikväetise annus (tabel 1). Andmete võrdlemisel oli standardiks heinaseemne kasvatuse tootmispraktikas seni kasutusel olev kattevilja agrofoon, kus nii külvisenorm kui lämmastikväetise foon olid odra tavatootmises kasutuseolevate normidega võrreldes kolmandiku võrra vähendatud. Kuna odra võrsumiseks olid tingimused ideaalilähedased, siis jäi külvisenormi suurendamise mõju taimiku tihedusele tugevamal lämmastikufoonil tagasisihoidlikuks (erinevus vaid 1,8%). Külvisenormi suurendamise mõju odra tihedusele oli suurem vähendatud lämmastikväetise taseme juures (7,2%), kuid ka see erinevus ei olnud statistiliselt usutav.

Lämmastikväetise normil oli odra taimiku tihedusele külvisenormist suurem mõju. Võrreldes standardvariandiga suurennes generatiivvõrsete arv pinnaühikul 9,5% ja külvisenormi ja lämmastikväetise fooni samaaegsel suurendamisel 11,4%. Agrofoon variandis, mis külvati täiskülv normiga ja millele anti lämmastikku normiga N 90 kg ha⁻¹, esines vähesel määral ka odra lamandumist.

Tabel 1. Oder 'Inari' katteviljana
Table 1. Barley 'Inari' sown as cover crop

Kattevilja külvise- ja lämmastikväetise norm / Seeding and fertilizer rates of cover crop				
Oder 333 id. tera m ⁻² N 60 kg ha ⁻¹ (ST)	Oder 500 id. tera m ⁻² N 60 kg ha ⁻¹	Oder 500 id. tera m ⁻² N 90 kg ha ⁻¹	Oder 333 id. tera m ⁻² N 90 kg ha ⁻¹	PD 0,05 LSD 0,05
Barley 333 viable s. m ⁻² nitrogen 60 kg ha ⁻¹ (St)	Barley 500 viable s. m ⁻² nitrogen 60 kg ha ⁻¹	Barley 500 viable s. m ⁻² nitrogen 90 kg ha ⁻¹	Barley 333 viable s. m ⁻² nitrogen 90 kg ha ⁻¹	
Kattevilja tihedus, generatiivvörseid tk m ⁻² / Cover crop density, generative tillers, pcs m ⁻²				
568	609	633	622	52
Generatiivvörsete kõrgus mullapinnalt ohete tipuni, cm / Height of generative tillers from soil surface to the tip of awn, cm				
84	84	85	86	4
Terasaak, kg ha ⁻¹ / Yield, kg ha ⁻¹				
4023	4077	4870	4403	226
Mahumass, g / Volume mass, g				
675	678	669	661	8
1000 seemne mass, g / 1000 s. m., g				
49,5	48,1	47,6	47,2	0,5
Terade toorproteiinisisaldus, % / Crude protein, %				
9,46	9,3	9,89	9,57	0,2

Kattevilja terasaak oli meie katses vahemikus 4023–4870 kg ha⁻¹, olles kõige madalam standardvariandis. Odra külvisenormi viimine 333 idanevalt teralt 500 idaneva terani tööstis terasaaki lämmastikufoonil N 60 kg ha⁻¹ vaid 1,3%. Lämmastiku täisnormi kasutamine suurendas usutavalt odra terasaaki: vähendatud külvisenormi variandis 9,4%, täiskülvnormi variandis aga 21,1%.

Odra saagi kvaliteedi näitajad sõltusid nii külvise-normist kui lämmastikufoonist. Suurem oli seejuures lämmastikväetise mõju. Odra külvisenorm meie katse-variantides terade mahumassi ja toorproteiinisisaldust usutavalt ei mõjutanud. Täiskülvnormi kasutamisel vähenes standardvariandiga võrreldes 1000 seemne mass. Lämmastikväetise täisnormi kasutamisega kaanenes usutav mahumassi ja 1000 seemne massi vähenemine, kuid terade toorproteiinisisaldus tõusis.

Pöldtimuti seemnetaimikut iseloomustavad näitajad esimesel kasutusaastal

Rajamisaastal rakendatud kattevilja erineva agrofooni ja pöldtimuti külvisenormi mõju pidi ilmnema töenäoliselt kõige enam seemnetaimikute esimesel kasutusaastal. Hiljem võrsumise teel seemnetaimikud ühtlustuvad ja agrotehniliste võtete mõju väheneb või kaob.

Mõõtmistulemused näitasid, et seemnetaimikute kõrgus esimesel kasutusaastal ei sõltunud nimetamisväärselt rajamisaastal rakendatud kattevilja agrofoonist (tabel 2). Mõnevõrra mõjutas taimikute kõrgust pöldtimuti külvisenorm. Üldjuhul olid suuremate külvisenormidega külvatud taimikud mõnevõrra madalamad. Erinevus kõrguses oli statistiliselt usutav variantides, kus kattevili sai rajamisaastal lämmastikku normiga 90 kg ha⁻¹.

Tabel 2. Pöldtimuti taimikut iseloomustavad näitajad esimesel saagiaastal
Table 2. The indicators of timothy stand formation on the first harvest year

Timuti külvise-norm Seeding rate of timothy kg ha ⁻¹	Kattevilja külvise- ja lämmastikväetise norm rajamisaastal Seeding and fertilizer rates of cover crop on the year of establishment					PD 0,05 LSD 0,05
	Oder 333 id. tera m ⁻² N 60 kg ha ⁻¹	Oder 500 id. tera m ⁻² N 60 kg ha ⁻¹	Oder 500 id. tera m ⁻² N 90 kg ha ⁻¹	Oder 333 id. tera m ⁻² N 90 kg ha ⁻¹		
	Barley 333 viable s. m ⁻² nitrogen 60 kg ha ⁻¹ (St)	Barley 500 viable s. m ⁻² nitrogen 60 kg ha ⁻¹	Barley 500 viable s. m ⁻² nitrogen 90 kg ha ⁻¹	Barley 333 viable s. m ⁻² nitrogen 90 kg ha ⁻¹		
Timuti generatiivvörsete kõrgus mullapinnalt pöörispea tipuni, cm Height of generative tillers of timothy from soil surface to the tip of panicles, cm						
3	120	115	114	108	6	
6	114	112	110	110	7	
9	113	113	107	105	7	
PD 0,05 / LSD 0,05	7	6	7	3		
Timuti generatiivvörsete arv pinnaühikul, tk m ⁻² / Generative tillers of timothy, pcs m ⁻²						
3	1056	998	1078	1061	85	
6	1098	988	1115	1161	89	
9	1046	1007	1161	1195	86	
PD 0,05 / LSD 0,05	79	92	97	84		
Timuti pöörispea pikkus, mm / Spike length of timothy, mm						
3	74	73	72	70	4	
6	71	68	68	65	5	
9	69	68	67	64	4	
PD 0,05 / LSD 0,05	4	5	4	4		

Generatiivvõrsete arvu poolest pinnaühikul esimesel saagiaastal variandid samuti usutavalt üksteisest ei erinenudki. Taimikute tihedus oli seejuures 1000–1200 generatiivvõrset ruutmeetril. Usutavalt tihedamat seemnetaimikud olid katsevariantides, mis said rajamisaastal katteviljale lämmastiku täisnormi ja pöldtimut oli külvatud külvisenormiga 9 kg ha⁻¹.

Külviaasta kattevilja agrofooni mõju pöldtimuti pöörispea pikkusele oli tagasihoidlik. Kõrgema lämmastikväetise normiga variantides oli pöldtimuti pöörispea küll mõnevõrra lühem, kuid see erinevus ei olnud üldjuhul statistiliselt usutav.

Usutavalt mõjutas pöldtimuti pöörispea pikkust esimesel kasutusaastal seemnepöllu rajamisel kasutatud pöldtimuti külvisenorm. Pikem oli pöörispea variantides külvisenormiga 3 kg ha⁻¹ (70,4–74,4 mm). Külvisenormi korral 6 kg ha⁻¹ oli pöörispea pikkuseks 64,8–70,9 mm ja külvisenormi korral 9 kg ha⁻¹ 64,0–68,7 mm. Fulkerson ja Tossell (1961) on leidnud, et

generatiivvõrsete suurem hulk pinnaühikul mõjutab timuti seemnesaaki vähem, kui pöörispeade piikkus. Sama seos ilmnes ka Jõgeval läbiviidud katses.

Kattevilja agrofooni mõju pöldtimuti seemnesaagile

Pöldtimuti seemnesaak meie katses sõltus rajamisaastal rakendatud kattevilja agrofoonist, külvisenormist, seemnetaimiku vanusest ja kasutusaasta kasvuaegsetest ilmaoludest, kõikudes vahemikus 595–1118 kg ha⁻¹. Seemnesaak oli seejuures tagasihoidlikum esimesel saagiaastal, suurim aga viimasel e kolmandal saagiaastal (2015).

Seemnepöllu rajamisaastal oli odra külvisenormil alla külvatud pöldtimuti hilisemale seemnesaagile tagasihoidlik mõju (tabel 3). Täiskülvinormiga külvatud variantides saadi alla külvatud pöldtimutilt üldjuhul küll väiksem seemnesaak, kuid erinevus standardvariandiga võrreldes püsib vaid mõne protsendi piires ega olnud statistiliselt usutav.

Tabel 3. Kattevilja agrofooni mõju pöldtimuti seemnesaagile aastatel 2013–2015

Table 3. Effect of cover crop background on seed yield of timothy in 2013–2015

Timuti külvinorm Seeding rate of timothy kg ha ⁻¹	Kattevilja külvise- ja lämmastikväetise norm rajamisaastal Seeding and fertilizer rates of cover crop on the year of establishment								PD 0,05 LSD 0,05	
	Oder 333 id. tera m ⁻² N 60 kg ha ⁻¹ (St)		Oder 500 id. tera m ⁻² N 60 kg ha ⁻¹		Oder 500 id. tera m ⁻² N 90 kg ha ⁻¹		Oder 333 id. tera m ⁻² N 90 kg ha ⁻¹			
	Barley 333 viable s. m ⁻² , N 60 kg ha ⁻¹	kg ha ⁻¹	Barley 500 viable s. m ⁻² , N 60 kg ha ⁻¹	kg ha ⁻¹	Barley 500 viable s. m ⁻² , N 90 kg ha ⁻¹	kg ha ⁻¹	Barley 333 viable s. m ⁻² , N 90 kg ha ⁻¹	kg ha ⁻¹		
2013										
3	832	100,0	866	104,1	696*	83,7	738*	88,7	71	
6	787	100,0	786	99,9	669*	85,0	677*	86,0	76	
9	755	100,0	722	95,6	595*	78,8	628*	83,2	57	
2014										
3	993	100,0	976	98,3	943*	95,0	900*	90,6	35	
6	918	100,0	912	99,3	835*	91,0	851*	92,7	60	
9	918	100,0	858	93,5	801*	87,3	805*	87,7	52	
2015										
3	1118	100,0	1049	93,8	905*	80,9	917*	82,0	86	
6	1063	100,0	1070	100,7	899*	84,6	927*	87,2	84	
9	1009	100,0	984	97,5	923*	91,5	922*	91,4	77	
2013–2015 kokku / total										
3	2943	100,0	2891	98,2	2544*	86,4	2555*	86,8	144	
6	2768	100,0	2768	100,0	2403*	86,8	2455*	88,7	144	
9	2682	100,0	2564	95,6	2319*	86,5	2355*	87,8	137	

* seemnesaak standardvariandist usutavalt madalam / reliably lower seed yield than in the standard variant

Rajamisaastal kasutatud lämmastikväetise normil oli hilisemate aastate pöldtimuti seemnesaagile märkimisväärne mõju. Kasutades külviaastal lämmastikku täisnormiga saadi standardvariandiga võrreldes usutavalt madalamaid seemnesaake ja seda kõigil järgnenud kolmel seemnesaagi aastal. Lämmastikväetise täisnormi korral varieerimine odra külvisenormiga hilisematele pöldtimuti seemnesakidele nimetamisväärsel mõju ei avaldanud.

Pöldtimuti külvisenormi mõju seemnesaagile

Kõige kõrgemaid seemnesaake saadi pöldtimuti külvisenormiga 3 kg 100%-lise külvisevärtusega seemet hektari kohta ja seda kõigis rajamisaasta kattevilja agrofoonide variantides (tabel 4). Meie katseandmed ei kinnitanud väidet nagu võiks kattevilja kõrgema agro-

foonide negatiivse mõju leevendamiseks kasutada allakülvil suuremat külvisenormi. Kahel esimesel seemnepöllu kasutusaastal oli pöldtimuti külvisenormi mõju seemnesaagile suurem ja saagi erinevused enamasti ka statistiliselt usutavad. Kolmandaks kasutusaastaks taimikute seemnesaagi võime ühtlustus. Erinevused saagiandmetes siis küll esinesid, kuid need ei olnud enam statistiliselt usutavad.

Kolme kasutusaasta saagi summas saadi kõigis rajamisaasta kattevilja agrofoonide variantides usutavalt madalam seemnesaak katselappidel, kus pöldtimut külvati odra alla normiga 9 kg 100%-lise külviväärtusega seemet hektarile. Külvisenorme 3 ja 6 kg 100%-lise külviväärtusega seemet hektarile võib meie katseandmete põhjal pidada seemnesaagi võimelt samaväärseks.

Tabel 4. Pöldtimuti külvisenormi mõju seemnesaagile aastatel 2013–2015
Table 4. Effect of seeding rate on the timothy seed yield in 2013–2015

Timuti külvisenorm Seeding rate of timothy kg ha ⁻¹	Kattevilja külvise- ja lämmastikväetise norm rajamisaastal Seeding and fertilizer rates of cover crop on the year of establishment							
	Oder 333 id. tera m ⁻² N 60 kg ha ⁻¹ (St) Barley 333 viable s. m ⁻² N 60 kg ha ⁻¹		Oder 500 id. tera m ⁻² N 60 kg ha ⁻¹ Barley 500 viable s. m ⁻² N 60 kg ha ⁻¹		Oder 500 id. tera m ⁻² N 90 kg ha ⁻¹ Barley 500 viable s. m ⁻² N 90 kg ha ⁻¹		Oder 333 id. tera m ⁻² N 90 kg ha ⁻¹ Barley 333 viable s. m ⁻² N 90 kg ha ⁻¹	
	kg ha ⁻¹	%	kg ha ⁻¹	%	kg ha ⁻¹	%	kg ha ⁻¹	%
	2013							
3	832	100	866	100	696	100	738	100
6	787	94,6	786*	90,8	669	96,1	677*	88,4
9	755*	90,7	722*	83,4	595*	85,5	628*	82,0
PD 0,05 / LSD 0,05	51		36		29		48	
2014								
3	993	100	976	100	943	100	900	100
6	918	92,4	912*	93,4	835*	92,8	851	90,2
9	918	92,4	858*	87,9	801*	89,0	805*	85,4
PD 0,05 / LSD 0,05	86		61		81		64	
2015								
3	1118	100	1049	100	905	100	917	100
6	1063	95,1	1070	102,0	899	99,3	927	101,1
9	1009	90,3	984*	93,8	923	102,0	922	100,5
PD 0,05 / LSD 0,05	127		133		131		66	
2013–2015 kokku / total								
3	2943	100	2891	100	2544	100	2555	100
6	2768*	94,1	2768	95,7	2403	96,1	2455	93,5
9	2682*	91,1	2564*	88,7	2319*	92,7	2355*	89,7
PD 0,05 / LSD 0,05	116		125		148		125	

* seemnesaak usutavalt madalam, kui variandis, mis külvatud normiga 3 kg ha⁻¹ / reliably lower seed yield than in the variant that was seeded with the rate of 3 kg ha⁻¹

Pöldtimuti seemnete kvaliteedinäitajad

Seemnete kvaliteedinäitajatest määratigi igal saagiaastal puhtus, 1000 seemne mass ja idanevus. Seemnete lõpp-puhastusel saavutati kõigil katseaastail ühtaoline puhuse tase (vähemalt 99,8%) ning nii esimesest kui teisest faasist saadud seemnete idanevus oli kõigil aastail vahemikus 98–100%. Katsevariandid nimetatud näitajaid ei mõjutanud. Seetõttu artiklis neil andmeil pikemalt ei peatuta. Ka pöldtimuti 1000 seemne mass

sõltus katsevariantide suhteliselt vähe (tabel 5). Võrreldes standardvariandiga esines usutavaid erinevusi selle näitaja põhjal vaid variantides, mille kattevilja väetamisel kasutati rajamisaastal lämmastiku täisnormi ja pöldtimut külvati normidega 6 ja 9 kg ha⁻¹. Erinevused 1000 seemne massi vähinemise suunas esinesid vaid seemnepõllu esimesel kasutusaastal.

Tabel 5. Pöldtimuti 1000 seemne mass, mg
Table 5. 1000 seed mass of timothy, mg

Timuti külvisenorm Seeding rate of timothy kg ha ⁻¹	Kattevilja külvise- ja lämmastikväetise norm rajamisaastal Seeding and fertilizer rates of cover crop on the year of establishment								PD 0,05 LSD 0,05	
	Oder 333 id. tera m ⁻² N 60 kg ha ⁻¹ (St) Barley 300 viable s. m ⁻² , N 60 kg ha ⁻¹		Oder 500 id. tera m ⁻² N 60 kg ha ⁻¹ Barley 500 viable s. m ⁻² , N 60 kg ha ⁻¹		Oder 500 id. tera m ⁻² N 90 kg ha ⁻¹ Barley 500 viable s. m ⁻² , N 90 kg ha ⁻¹		Oder 333 id. tera m ⁻² N 90 kg ha ⁻¹ Barley 333 viable s. m ⁻² , N 90 kg ha ⁻¹			
	I faas phase	II faas phase	I faas phase	II faas phase	I faas phase	II faas phase	I faas phase	II faas phase		
	2013									
3	554	518	552	529	557	504	549	497	20	13
6	571	536	567	527	551	512	549	516	20	21
9	563	526	567	528	548	518	550	518	15	11
PD 0,05 / LSD 0,05	13	24	31	17	11	7	20	6		
2014										
3	548	490	543	492	538	494	539	483	19	16
6	536	487	543	498	531	494	542	489	18	19
9	544	492	539	485	540	493	536	497	20	16
PD 0,05 / LSD 0,05	15	18	21	22	15	11	15	8		
2015										
3	556	511	543	504	558	500	554	502	19	19
6	548	504	566	514	555	506	557	497	14	20
9	551	500	549	502	550	510	558	504	18	23
PD 0,05 / LSD 0,05	18	21	23	31	13	18	15	7		

Katseandmete põhjal võib väita, et teistkordsel seemneheina läbipeksmisel saadakse seeme, mille 1000 seemne mass jäab esimese peksukorraga vörreldest madalamaks. Meie andmeil oli see erinevus sõltuvalt katsevariandist esimesel kasutusaastal vahemikus 23–53 mg e 4,3–10,5%, teisel kasutusaastal 37–58 mg e 7,5–11,8% ning kolmandal kasutusaastal 39–60 mg e 7,7–12,1%. Katsevariantide mõju ei tuvastatud.

Kattevilja agrofooni ja põldtimuti külvisenormi mõju seemnekasvatuse majanduslikele näitajatele

Põldtimuti seemnetootmise kattetulu arvestust ei ole võimalik kahjuks meie katseandmetele tuginedes teha. Puuduuvad heinaseemne kasvatuse masinatööde maksumused. Katse läbiviimisel on fikseeritud tootmis- sisendite hinnad ning kasutusel olnud toodangu rea- liseerimishinnad. Nendele tuginedes oleme arvutanud seemnepõllu rajamisaasta muutuvkulud ning katset laekunud toodangu maksumuse. Tabelisse 6 oleme

koondanud need näitajad kattevilja agrofooni variantide kohta arvestusega, et põldtimuti seemnepõld külvtati külvisenormiga 3 kg ha⁻¹. Tabelisse 7 on koondatud informatsioon näitajatest, mis kujunesid kattevilja eri agrofoonide ja põldtimuti uuritud külvisenormide kohta nelja katseaasta kokkuvõttes.

Külviaasta tootmissisenditest olid suuremad kuluallikad fosfor-kaalium kompleksväetis (hind 350 € t⁻¹), ammoniumsalpeeter (300 € t⁻¹), oder 'Inari' seeme (C₁ kategooria 0,52 € kg⁻¹) ja põldtimuti seeme (E kategooria 5 € kg⁻¹). Seemnepõllu kasutusaastatel lisandus vaid kulu lämmastikväetisele, mida anti kõigile katsevariantidele vördselt normiga N 100 kg ha⁻¹, ehk 300 kg ammoniumsalpeetrit hektarile aastas maksumusega kolmel aastal kokku 270 €.

Odra terasaaki oli võimalik realiseerida söödaks hinnaga 147 € t⁻¹. Põldtimuti seemne hind püsis läbi aastate tasemel 3 € kg⁻¹.

Tabel 6. Timuti seemnekasvatuse muutuvkulud ja toodangu väärthus külvisenormi korral 3 kg ha⁻¹

Table 6. Variable costs and production value of timothy seed production at seeding rate 3 kg ha⁻¹

Kattevili Cover crop	Muutuvkulud Variable costs	kg ha ⁻¹	Hind Price	Maksumus Cost, € ha ⁻¹	Toodang Production	Saad/Yield kg ha ⁻¹	Hind Price	Maksumus Costs, € ha ⁻¹
Muutuvkulud / Variable costs 2012								
Variant 1	<i>PK complex fertilizer</i>	400	350 € t ⁻¹	140	Söödaoder	4023	147 € t ⁻¹	591
Oder 333	Ammoniumsalpeeter	175	300 € t ⁻¹	53	<i>Feed barley</i>			
id tera m ²	Oder / Barley C kat	157	0,52 € kg ⁻¹	82	'Tika' C kat.	2943	3 € kg ⁻¹	8829
N 60 kg ha ⁻¹	Põldtimut / Timothy E kat.	3	5 € kg ⁻¹	15	2012–2015 toodang kokku			
Barley 333	MCPA 750	1	7 € l ⁻¹	7	2012–2015 production total			9420
viable s.	Kokku/Total			297				
m ²	Muutuvkulud / Variable costs 2013–2015							
N 60 kg ha ⁻¹	Ammoniumsalpeeter	3×300	300 € t ⁻¹	270				
(St)	Muutuvkulud / Variable costs 2012–2015 total:			567				
Muutuvkulud / Variable costs 2013								
Variant 2	<i>PK complex fertilizer</i>	400	350 € t ⁻¹	140	Söödaoder	4077	147 € t ⁻¹	599
Oder 500	Ammoniumsalpeeter	175	300 € t ⁻¹	53	<i>Feed barley</i>			
id tera m ²	Oder / Barley C kat	235	0,52 € kg ⁻¹	122	'Tika' C kat.	2891	3 € kg ⁻¹	8673
N 60 kg ha ⁻¹	Põldtimut / Timothy E kat.	3	5 € kg ⁻¹	15	2012–2015 toodang kokku			
Barley 500	MCPA 750	1	7 € l ⁻¹	7	2012–2015 production total			9272
viable s.	Kokku/Total			337				
m ²	Muutuvkulud / Variable costs 2013–2015							
N 60 kg ha ⁻¹	Ammoniumsalpeeter	3×300	300 € t ⁻¹	270				
	Muutuvkulud / Variable costs 2012–2015 total:			607				
Muutuvkulud / Variable costs 2012								
Variant 3	<i>PK complex fertilizer</i>	400	350 € t ⁻¹	140	Söödaoder	4870	147 € t ⁻¹	716
Oder 500	Ammoniumsalpeeter	260	300 € t ⁻¹	78	<i>Feed barley</i>			
id tera m ²	Oder / Barley C kat	235	0,52 € kg ⁻¹	122	'Tika' C kat.	2544	3 € kg ⁻¹	7632
N 90 kg ha ⁻¹	Põldtimut / Timothy E kat.	3	5 € kg ⁻¹	15	2012–2015 toodang kokku			
Barley 500	MCPA 750	1	7 € l ⁻¹	7	2012–2015 production total			8348
viable s.	Kokku/Total			362				
m ²	Muutuvkulud / Variable costs 2013–2015							
N 90 kg ha ⁻¹	Ammoniumsalpeeter	3×300	300 € t ⁻¹	270				
	Muutuvkulud / Variable costs 2012–2015 total:			632				
Muutuvkulud / Variable costs 2013								
Variant 4	<i>PK complex fertilizer</i>	400	350 € t ⁻¹	140	Söödaoder	4403	147 € t ⁻¹	647
Oder 333	Ammoniumsalpeeter	260	300 € t ⁻¹	78	<i>Feed barley</i>			
id tera m ²	Oder / Barley C kat	157	0,52 € kg ⁻¹	82	'Tika' C kat.	2555	3 € kg ⁻¹	7665
N 90 kg ha ⁻¹	Põldtimut / Timothy E kat.	3	5 € kg ⁻¹	15	2012–2015 toodang kokku			
Barley 333	MCPA 750	1	7 € l ⁻¹	7	2012–2015 production total			8312
viable s.	Kokku/Total			322				
m ²	Muutuvkulud / Variable costs 2013–2015							
N 90 kg ha ⁻¹	Ammoniumsalpeeter	3×300	300 € t ⁻¹	270				
	Muutuvkulud / Variable costs 2012–2015 total:			592				

Kattevilja külvisenormi suurendamine täiskülvnormini tõstis standardvariandiga vörreldes rajamisaasta muutuvkulused 40 € ha^{-1} (13,5%). Sellega kaasnes odra saagitöös 54 kg ha^{-1} (1,3%) 8 € väärthuses. Seega ei kompenseerinud terasaagi suurenemine külvisenormi tõstmisega kaasnenud kulutusi. Lämmastikväetise normi viimine tavatootmisse tasemele suurendas rajamisaasta muutuvkulused $25 \text{ € vörre ha}^{-1}$ (8,4%). Sellega kaasnes odra saagikuse töös 381 kg ha^{-1} (9,4%) 56 € väärthuses. Nii kattevilja täiskülvnormi kui täislämmastikunormi samaaegne kasutamine suurendas rajamisaasta muutuvkulused 65 € ha^{-1} (21,9%), millega kaasnes odra saagikuse töös 847 kg ha^{-1} (21,1%) 125 € väärthuses. Mõlemal juhul, kui lämmastikväetist kasutati täisnormiga, saadi sagilisa, mille rahaline väärthus ületas tehtud kulusid.

Tabel 7. Kattevilja agrofooni ja pöldtimuti külvisenormi mõju seemnekasvatuse majanduslikele näitajatele rajamisaasta ja kolme kasutusaasta summas

Table 7. The effect of cover crop seeding and fertilization rates on the economic results at different timothy seeding rates on the year of establishment and three-year use of the seed field

Pöldtimuti külvisenorm, kg ha ⁻¹	Kattevilja külvise- ja lämmastikväetise norm / Seeding and fertilizer rates of cover crop										
	Oder 333 id tera m ⁻² N 60 kg ha ⁻¹ (St)	Oder 500 id tera m ⁻² N 60 kg ha ⁻¹	Oder 500 id tera m ⁻² N 90 kg ha ⁻¹	Oder 333 id tera m ⁻² N 90 kg ha ⁻¹	Muutuvkulud / Variable costs	€ ha ⁻¹	%	€ ha ⁻¹	%	€ ha ⁻¹	%
3	567	100,0	607	107,1	632	111,5		592		104,4	
%	100		100		100			100			
6	582	100,0	622	106,9	647	111,2		607		104,3	
%	102,6		102,5		102,4			102,5			
9	597	100,0	637	106,7	662	110,9		622		104,2	
%	105,3		104,9		104,7			105,1			
Toodangu rahaline väärthus / Economic value of production											
3	9420	100,0	9272	98,4	8348	88,6		8312		88,2	
%	100		100		100			100			
6	8895	100,0	8903	100,1	7925	89,1		7012		78,8	
%	94,4		96		94,9			84,4			
9	8637	100,0	8291	96	7673	88,8		7712		89,3	
%	91,7		89,4		91,9			92,8			

Kokkuvõte ja järeltused

Katseandmed ja majanduslikud arvutused näitasid, et pöldtimut 'Tika' seemnepöllu rajamisel oder 'Inari' alla külvates on otstarbekas vähendada nii odra külvisenormi kui lämmastikväetise normi kolmandiku vörra. Nii toimides on võimalik seemnepöllu rajamiskulusid vähendada ja saada hiljem suuremaid pöldtimuti seemnesaake. Rajamisaastal katteviljale lämmastikväetise täisnormi andmisega saavutatakse küll suurem terasaak, kuid kaotus hiljem pöldtimuti seemnesaagis ületab rajamisaasta täiendava tulu mitmekordelt.

Pöldtimuti seemnepöld on otstarbekas külvata kitsarealiselt normiga 3 kg 100%-lise külviväärtsusega seemet hektarile. Suurem pöldtimuti külvinorm ei taga suuremat seemnesaaki vaid vastupidi – võib seda vähendada.

Kattevilja agrofoon ja alla külvatud pöldtimuti külvisenorm mõjutasid pöldtimuti 1000 seemne massi vähe. Uuritud katsevariandid seemnesaagi idanevust ei mõjutanud.

Muutuvkulud nelja katseaasta kohta kokku sõltusid kattevilja agrofoonist rajamisaastal vahemikus 4,2–11,5% ning pöldtimuti külvisenormist vahemikus 2,4–5,3% (tabel 7). Võrreldes standardvariandiga andsid katses olnud ülejäänud kattevilja agrofooni variandid realiseeritavat toodangut (odra saak + pöldtimuti kolme kasutusaasta saak arvutatuna rahaks) 142–2408 € vähem. Arvutused näitasid, et rajamisaastal saab kattevilja saaki lämmastikväetisega tõsta ning see tasub tehtavad suuremad kulutused. Alla külvatud pöldtimut aga kannatab selle tõttu kattevilja surve all ning tema hilisem seemnesaak jäab madalamaks. Odra saagi kasvu arvelt saadud tulu oli mitu korda väiksem tulust, mis jäi väiksema saagi tõttu saamata pöldtimuti seemnete müügist.

Huvide konflikt / Conflict of interests

Autor kinnitab artikliga seotud huvide konflikti puudumist. The author declares that there is no conflict of interest regarding the publication of this paper.

Kasutatud kirjandus

Aamlid, T.S. 1997a. Nitrogen and moisture inputs to seed crop of timothy (*Phleum pratense* L.) II. Split applications of nitrogen in the seed harvest year. – Journal of Applied Seed Production, Vol. 15, p. 5–16.

Aamlid, T.S. 1997b. Towards a model for nitrogen application to seed crops of timothy (*Phleum pratense* L.) – <http://www.internationalgrasslands.org/files/igc/publications/1997/2-25-001.pdf>

Annuk, K., Aavola, R. 2006. Kõrrelised heintaimed. Liikide agronomiline iseloomustus ja sordid. – Eritüüblistele rohumaade rajamine ja kasutamine I osa (koostaja A. Bender). – Jõgeva, lk 78–101.

Fulkerson, R.S., Tossell, W.E. 1961. Row width and seeding rate in relation to seed production in timothy

- (*Phleum pretense* L.) – Canadian Journal of Plant Science, Vol. 41, No. 3, p. 549–558.
- Guide book in the seed production of forage grasses (Ed. B. Jansone). 2008. – Skriferi, 265 pp.
- Hampton, J.G., Fairey, D.T. Components of seed yield in grasses and legumes. – Forage seed production. 1. temperate species (Eds. D.T. Fairey, J.G. Hampton). Wallingford, New York 1998, p. 45–69.
- Havstad, L.T. 2003. Split nitrogen application to seed crops of timothy (*Phleum pratense* L.). Herbage Seeds in the New Millennium – New Markets, New Products, New Opportunities. – Proceedings fifth International Herbage Seed Conference, 23–26 November 2003, Gatton, Australia, p. 23.
- Havstad, L.T., Aamlid, T.S. 2006. Split nitrogen application strategies in seed production of two contrasting cultivars of timothy (*Phleum pratense* L.). – Acta Agriculturae Scandinavica Section B-Soil and Plant Science, 56, p. 241–254.
- Havstad, L.T., Aamlid, T.S. 2011. Seed production of timothy 'Grinstad'. <http://www.seemneliit.ee/wp-content/uploads/2011> [18.10.2011]
- Korjus, H. Kõrreliste heintaimede seemnekasvatus. – Taimekasvatus (koostaja A. Tääger). – Tallinn 1964, lk 620–653.
- Korjus, H. 1969. Põldheina seemnekasvatus. – Põld-heinakasvatus (koostaja R. Toomre). Tallinn, lk 211–247.
- Marshall, A.H., Steiner, J.J., Niemeläinen, O., Hacquet, J. 1998. Legume seed crop management. – Forage seed production. Temperate species (Eds. D.T. Fairey, J.G. Hampton). – Cambridge, p. 127–152.
- Niemeläinen, O., Järvi A. 1995. Effect of nitrogen fertilizer application rate and timing on timothy seed crops in northern Europe – Yield and Quality in Herbage Seed Production. – Proceedings third International Herbage Seed Conference. June 18–23 1995. Halle, p. 221–225.
- Ogle, D.G., John, L.St., Tilley, D.J. Plant Guide. Timothy (*Phleum pratense* L.) – http://plants.usda.gov/plantguide/pdf/pg_phpr3.pdf [18.03.2011]
- Rand, H. 1992. Heintaimede seemnekasvatus. – Rohumaaviljelus talupidajale. – Saku-Tallinn-Tartu, lk 44–74.
- Szczepanek, M., Katanska-Kaczmarek, A. 2012. Response of timothy (*Phleum pratense* L.) cultivars to growing in diversified row spacing. – Acta Sci. Pol., Agricultura, Vol. 11, No. 2, p. 63–72.
- Timothy seed production in Western Canada. – <http://www1.agric.gov.ab.ca/department/deptdocs.nsf/all/agdex8696> [25.06.2004]
- Undersander, D., Smith, R.R., Kelling, K., Doll, J., Wolf, G., Wedberg, J., Peters, J., Hoffman, P. Shaver R. Red clover. Establishment, management and utilization. – <http://learningstore.uwex.edu/assets/pdfs/A3492.pdf> [1.05.1990].
- Vučković, S., Simić, A., Ćupina, B., Stojanović, I. Stanisavljević, R. 2003. The effect of vegetation area size on grass seed yield. – Journal of Agricultural Sciences, Vol. 48, No. 1, p. 125–134.
- Wallenhammar, A.-Ch. 1998. Nitrogen fertilization of timothy seed ley (*Phleum pratense* L.). – Seed Production. NJF-Report No 121, Seminar No 284, 29 Juni – 1. Juli 1998. Sandefjord & Landvik, Norge, p. 83–90.
- Wallenhammar, A.-Ch., Anderson, L.E. 2007. Seed production of various timothy (*Phleum pratense* L.) cultivars as affected by seeding rates. – Proceedings of the sixth International Herbage Seed Conference. Gjennestad, Norway, 18–20 June 2007 (Eds. T.S. Aamlid, L.T. Havstad B. Boelt). Gjennesatad, p. 152–155.

Effect of the seeding and fertilization rates of cover crop and the seeding rate of timothy on the seed yield of the cultivar 'Tika'

Ants Bender
Estonian Crop Research Institute
Aamisepa 1, 48 309, Jõgeva, Estonia

Summary

The trial results and economic calculations showed that when establishing the seed field of the timothy grass 'Tika' by seeding under the barley 'Inari', it is expedient to reduce both the seeding rate of barley and the nitrogen fertilizer rate by one third. By doing this it is possible to reduce the establishment costs of the seed field and later to obtain bigger yields of timothy seed. By applying a full rate of nitrogen fertilizer to cover crop in the year of establishment, a higher grain yield will be achieved, but the loss in timothy seed yield later exceeds by several times the additional return in the year of establishment. It is expedient to seed the timothy grass field at a narrow row space with the rate of 3 kg 100% PLS per hectare. The bigger seeding rate of timothy does not guarantee a higher seed yield, on the contrary, it can reduce it. The seeding and fertilizer rates of the cover crop as well as the seeding rate of the under-sown timothy grass affect the 1000 seed weight only slightly. The studied trial variants did not affect the germinability of the seed yield.



ASSESSMENT OF DAIRY PRODUCTION DEVELOPMENT ON THE EXAMPLE OF POLISH CONDITIONS AND COMPARISONS WITH CERTAIN EUROPEAN COUNTRIES

Marek Gaworski

Department of Production Management and Engineering, Warsaw University of Life Sciences,
02-787 Warsaw, Nowoursynowska str. 164, Poland

Saabunud: 18.12.15
Received:
Aktsepteeritud: 02.05.16
Accepted:

Valdaturt veebis: 29.05.16
Published online:

Vastutav autor: Marek
Corresponding author: Gaworski
e-mail: marek_gaworski@sggw.pl

Keywords: automatic milking system, dairy production system, indices, livestock, milk yield

Link: [http://agrt.emu.ee/pdf/
2016_1_gaworski.pdf](http://agrt.emu.ee/pdf/2016_1_gaworski.pdf)

ABSTRACT. Changes observed in the European dairy sector in the last decades constitute an important example of transformation processes taking place in the global food economy. The aim of the study was to present an analytical approach to assessment of advance concerning certain technical and biological resources in the farm dairy production system. Data from the Polish dairy production system were used to show and assess some of the trends regarding the dairy system development, including some comparisons with other EU countries. As a result of undertaken studies, there are scientific premises to identify technical and biological solutions for optimizing the farm dairy production system, allowing sustainable improvement. Further effective transformation of the Polish dairy sector requires overcoming certain barriers hindering development of the sector, connected first of all with high dispersion in raw milk production and its low technology level, high dispersion of dairy processing, and others. Implementation of modern technical equipment for milking at dairy farms needs simultaneous improvement of dairy cow herds and other factors, e.g. economic profitability.

© 2016 Akadeemiline Põllumajanduse Selts. Kõik õigused kaitstud. 2016 Estonian Academic Agricultural Society. All rights reserved.

Introduction

Not only are milk and dairy products a vital source of nutrition for people, but they also present livelihood opportunities for farmers, processors, shopkeepers and other stakeholders in the dairy value chain (Muehlhoff *et al.*, 2013). As a result, dairy production ranks among the most important agricultural activities in many countries of the world, including developing as well as developed countries.

Significance of dairy production translates into dynamic improvement of all elements which create the dairy production system, *i.e.* set of objects and relationships between the objects, according to the system definition (Pabis, 1985). Improvement is expressed by achievement of advance in many areas of the dairy production system. Technical advance is represented by more and more sophisticated milking systems, ranging from bucket milking systems to AMS (automatic milking system) and AMR (automatic milking rotary). The milking systems improvement is assessed in the context of efficiency aspects (Castro *et al.*, 2012; Steeneveld *et al.*, 2012), farmer satisfaction (Wagner *et al.*, 2001),

economic aspects (Rotz *et al.*, 2003), energy consumption (Calcante *et al.*, 2016), animal welfare (Jacobs, Siegfried, 2012) and others. The general public seems to be increasingly interested in the welfare of farm animals and this apprehension, along with uncertainty about food safety, may necessitate increased emphasis on functional traits to maintain or improve the consumption of milk and dairy products (Boettcher, 2001).

The assessment of dairy production also concerns the use and adoption of precision dairy farming technology by producers (Borchers, Bewley, 2015). Gathered information concerning parameters is limited to precision technologies used in or around dairy parlours (Jago *et al.*, 2013).

Many examples of dairy production development generate the research problem concerning the approach to assessing and comparing different kinds of improvement in the field of the dairy production system. One of the results of various kinds of improvements implemented can be sustainable development of dairy production as one of the most important trends in the dairy industry (von Keyserlingk *et al.*, 2013). Many farms have a common goal of becoming more sustainable.

According to the US legal definition (US Code Title 7, Section 3103), sustainability includes "an integrated system of plant and animal production practices having a site-specific application that will over the long-term: ... make the most efficient use of non-renewable resources and on-farm resources and integrate, where appropriate, natural biological cycles and controls, sustain the economic viability of farm operations, and enhance the quality of life for farmers and society as a whole".

Once the definition of sustainability is considered, it is possible to ask about the most efficient use of non-renewable resources and on-farm resources within the farm dairy production.

The aim of the study was to present an analytical approach to assessment of advance concerning certain technical and biological resources in the farm dairy production system. The dairy production system comprises different kinds of biological and technical objects as well as technological solutions, so it is the area allowing identification of some aspects of dairy production development and advance. Advance in dairy production may be analyzed in the regional and national scale. The national scale was included as the scope of analysis. Poland is one of the countries where dairy production plays an important role in the agri-food market and economy (Agriculture and Rural Economy in Poland, 2014). Especially since EU accession, Polish dairy production has experienced dynamic changes in all spheres of its performance (Malak-Rawlikowska, Źekało, 2014). Therefore, data from the Polish dairy production system were used to show and assess some of the trends regarding the dairy system development, including some comparisons with other EU countries.

The analyzed dairy production system in fact includes a wide range of material and non-material elements and their mutual relationships. For the sake of the undertaken analysis, the scope of the dairy production system was limited to some technical equipment used on dairy farms, cows, their production indices and relationships connecting elements of the dairy production system.

Materials and methods

The transformation process in the field of dairy production is characterized by many specific features and determined by initial conditions, assumed change objectives and other factors. Each material object in the dairy production system represents some kind of potential (Gaworski, Leola, 2014), so it is possible to distinguish biological and technical potential. Moreover, human potential complements the dairy production system, that including the role of human capital as management staff.

Taking into account farm dairy production as an example, biological potential expresses data describing dairy cows, *i.e.* annual milk yield per cow. Basing on the mentioned biological potential and cow herd size, it is possible to find the amount of produced milk. Technical potential in the field of dairy production is a set of more or less sophisticated technical equipment needed to operate the cow herd and the milk stream at the farm.

Moreover, economic potential may be considered in the dairy production system. Economic potential is a set of data, which decide about economic effectiveness of farm dairy production, *e.g.* ex-farm milk price, dairy production costs.

Changes within each kind of potential can be identified by adequate progress, *i.e.* biological, technical and economic progress.

Because changes within the considered system (*e.g.* dairy system) include moreover different kinds of potential, there exist premises to compare them in order to assess the effectiveness of progress implementation. When different kinds of progress are achieved at the same time, it is possible to investigate the effects of simultaneity (Gaworski, 2005) translating into certain analytical indices. One of such indices is the coefficient of AMS (automatic milking system) potential use (Gaworski, 2006), which involves a comparison of the biological potential of dairy production, *i.e.* annual milk yield per cow and technical potential expressed by necessary capacity of the automatic milking system (AMS) installed at the dairy farm. Data concerning the current annual milk yield per cow in the national scale (27 EU countries) and data concerning the minimum annual milk yield per cow operated by AMS were taken in order to calculate the coefficient of AMS potential use (c_{pu}) according to the following formula:

$$c_{pu} = \frac{A_{myc}}{A_{AMS \min}} [-] \quad [1]$$

where

A_{myc} – current annual milk yield per cow

[kg·cow⁻¹·year⁻¹];

$A_{AMS \min}$ – minimum annual milk yield per cow operated by AMS [kg·cow⁻¹·year⁻¹].

The minimum annual milk yield per cow operated by AMS is the yield, which – for the operated cow herd size – allows obtaining such an amount of milk per year as to ensure the minimum efficiency of AMS use. The minimum efficiency of AMS use is expressed by the minimum amount of milk milked by AMS per year, which determines the performance balance of AMS use. Data concerning the minimum amount of milk milked by AMS per year are presented in the specialist literature on dairy production.

The second stage of analysis on progress at dairy farms involved a comparison of specialist technical equipment. Detailed data concerning two groups of technical equipment used at dairy farms, *i.e.* milking machines and milk coolers were taken into account.

Within the group of milking machines, some changes concerning the number of bucket milking installations and pipeline milking installations at Polish dairy farms were analyzed. Within the group of milk coolers, some changes in the number of coolers of milk in buckets and tank milk coolers were calculated. The changes were considered for an 8-year period.

To analyze changes in the technical potential for milking and milk cooling at dairy farms, an index of equipment modernity (i_{em}) (Gaworski, Priekulis, 2014)

can be proposed. The general method to calculate the i_{em} index requires, first, identification of the generations of technical equipment used in the area of activity under analysis. When the area of activity in farm dairy production is milking, it is possible to identify the following generations (G) of technical equipment:

- bucket milking machines (GI_m),
- pipeline milking machines (GII_m),
- milking parlors ($GIII_m$),
- automatic milking system – AMS (GIV_m).

Next, in the field of milk cooling at dairy farms, the following generations of technical equipment can be taken into account:

- coolers of milk in buckets (GI_c),
- tank milk coolers (GII_c)

The proposed index of equipment modernity (i_{em}) can be calculated basing on the following formula:

$$i_{em} = \frac{N_{Gh} \cdot 100}{N_{Gn}} \% \quad [2]$$

where

N_{Gh} – number of technical objects representing highest generation of modernity [-];

N_{Gn} – total number of technical objects used for the considered activity, representing all generations of technical equipment [-].

The proposed approach, expressed by equation (2), allows to compare modernity of technical equipment and changes in modernity between some dairy farms, dairy regions and countries. There can be some problems to find the value of equipment modernity (i_{em}) index for preceding periods, when the current state of the art solutions were unknown. So, for the undertaken analysis, the index of equipment modernity was calculated for two generations of milking technical equipment (GI_m and GII_m) as well as two generations of cooling equipment (GI_c and GII_c).

Results

The set of data concerning cattle production and other group of animals producing milk in Poland is available in Table 1. Taking into account such criteria as year and group of animals, it is possible to compare changes in the number of animal population directly before Poland's EU accession as well as 10 years later. Poland, like 9 more European countries, joined the EU on May 1, 2004.

The data in Table 1 show certain trends concerning the number of heads in particular groups of animals. Comparing the periods before (2003) and after (2013) EU accession, there is a decrease in the number of cows, sheep and goats kept at Polish farms. Only the total number of cattle shows an increasing trend in the considered period. Positive changes in cattle population result from the dynamic increase in the number of beef cattle, as opposed to the number of cows which showing a falling trend.

Table 1. Data concerning cattle production and other group of animals producing milk in Poland in 2003 and 2013

Group of animals, heads	Year		Change, %
	2003	2013	
Cattle	5,488,943	5,859,541	+6.75
incl. cows	2,816,000	2,530,500	-10.14
Sheep	337,792	249,481	-26.14
Goats	192,470	81,727	-57.54

Source: faostat.fao.org; stat.gov.pl, own calculations

Elaborating on the problem of cow population changes, it is possible to state that the decrease in the total cow herd size in the 2003–2013 period was accompanied by an increase in annual milk yield per cow, translating into balance of milk production in the national scale. The difference in annual milk yield per cow at Polish dairy farms within the period of 2003–2013 was shown in Table 2 together with data from other EU countries for comparison purposes.

Table 2. Changes in annual milk yield per cow during the period of 2003–2013, in kg·cow⁻¹·year⁻¹

EU country	Year		Change, %
	2003	2013	
Austria	5,483.9	6,459.8	+17.8
Belgium	6,077.7	7,547.1	+24.2
Bulgaria	3,653.3	3,977.6	+8.9
Cyprus	5,621.3	6,395.1	+13.8
Czech Republic	5,701.9	7,644.4	+34.1
Denmark	7,626.4	8,765.9	+14.9
Estonia	5,285.3	7,898.0	+49.4
Finland	7,205.0	8,222.1	+14.1
France	5,954.1	6,414.1	+7.7
Germany	6,536.8	7,292.6	+11.6
Greece	5,248.7	3,800.8	-27.6
Hungary	5,626.0	6,869.0	+22.1
Ireland	4,585.5	4,800.3	+4.7
Italy	5,916.8	5,175.4	-12.5
Latvia	3,827.7	5,527.2	+44.4
Lithuania	4,035.0	5,446.7	+35.0
Luxembourg	6,579.3	6,984.1	+6.2
Malta	5,142.0	6,374.2	+24.0
Netherlands	7,138.7	7,643.9	+7.1
Poland	4,135.1	5,387.8	+30.3
Portugal	5,763.3	7,508.1	+30.3
Romania	2,863.3	3,771.0	+31.7
Slovakia	4,962.6	6,405.1	+29.1
Slovenia	4,731.4	5,391.6	+14.0
Spain	5,764.9	7,655.4	+32.8
Sweden	8,081.6	8,458.8	+4.7
United Kingdom	6,846.7	7,757.9	+13.3

Source: faostat.fao.org, own calculations

Positive changes in annual milk yield per cow put Poland in the group of 8 countries with the highest (above 30%) increase in the amount of milk produced by one cow during the 2003–2013 period. On the other hand, it is difficult to draw explicit conclusions from a comparison of data and result of the calculations because of different initial (2003) annual milk yield per cow and some limitations of maximum milk production by cows.

The annual milk yield per cow expresses the current state of biological potential in dairy production, while changes of annual milk yield per cow represent biological progress in dairy production. In order to discuss the

significance of biological progress, one should compare this one with specific needs resulting from another, *i.e.* technical progress implemented at dairy farms. One of the most important examples of technical progress in dairy farms is the use of automatic milking systems (AMS) as an alternative solution to other milking installations (Kiiman *et al.*, 2013).

Effective use of one-stall milking robot, according to data given in some reports (Meskens *et al.*, 2001) is achieved at the level of 500,000 litres (*i.e.* 515,000 kg) of milk per year. Considering the herd size of 69 cows (60 milking cows + 15% dry off cows) operated at a dairy farm equipped with a one-stall milking robot, it is possible to calculate that one cow in the barn with an automatic milking system should produce about 7,465 kg of milk per year.

The above minimum annual milk yield per cow constitutes information about expected production potential of cows at farms equipped with the automatic milking system (AMS). On the other hand, it is possible to quote data concerning current annual milk yield per cow. Basing on such parameters, the coefficient of AMS potential use was calculated. The coefficient was calculated as a relationship between the current milk yield per cow and the above mentioned capacity of 7465 kg of milk per year.

The coefficient of AMS potential use was calculated for 2003 and 2013 taking into account the data (annual milk yield per cow) from 27 EU countries (Table 2). Differentiation of the calculated coefficient for 27 EU countries was presented in Figure 1 for 2003 and 2013.

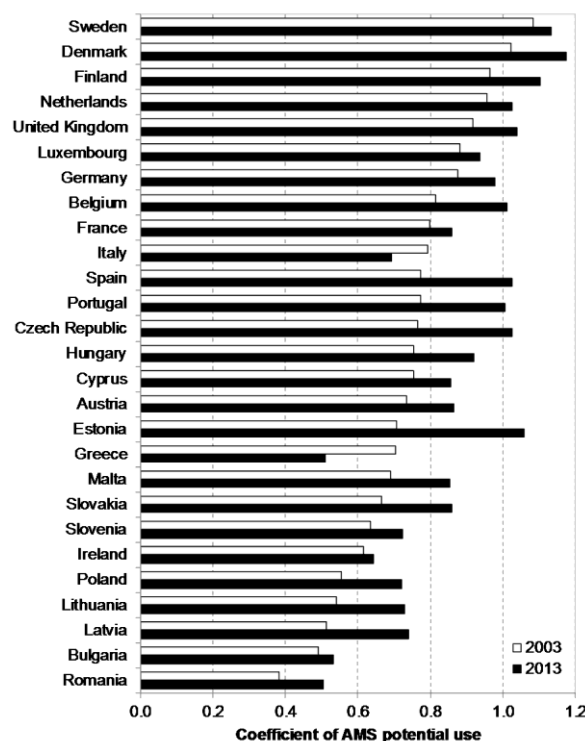


Figure 1. Coefficient of AMS potential use for 27 EU countries in 2003 and 2013

Source: author calculations on the basis of faostat.fao.org

Comparison of the coefficient values shows considerable polarization in some regional conditions connected with implementation of technical progress at dairy farms. The highest values of the coefficient can be found in north-western European countries. This means that this group of countries achieved the highest level of biological progress, as one of significant circumstances allowing effective implementation of technical progress at dairy farms.

The distribution of data presented in Figure 1 suggests the possibility to analyse changes in the coefficient values and, indirectly, increase in the biological potential of dairy production, *i.e.* annual milk yield per cow within the group of countries. For a deeper analysis, one could propose the following classification ranges for the coefficient: 0.00–0.40, 0.41–0.60, 0.61–0.80, 0.81–1.00 and 1.01–1.20. Some details concerning the number of countries in each range and mean value of the coefficient for particular ranges and compared years (2003 and 2013) were given in Table 3.

Table 3. Distribution of the coefficient of AMS potential use (c_{pu}) including ranges of values and analysed years (2003 and 2013)

Range of the c_{pu}	Number of countries in the range for the year		c_{pu} mean \pm SD for the range and year	
	2003	2013	2003	2013
0.00–0.40	1	0	0.38	0.00
0.41–0.60	4	3	0.52 \pm 0.03	0.52 \pm 0.01
0.61–0.80	14	6	0.73 \pm 0.06	0.71 \pm 0.04
0.81–1.00	6	8	0.90 \pm 0.06	0.89 \pm 0.05
1.01–1.20	2	10	1.05 \pm 0.04	1.06 \pm 0.06

Source: author calculations

Comparing the results of calculations given in Table 3, it is possible to refer to an increase in the number of countries within the highest ranges of the c_{pu} (coefficient of AMS potential use) values for the considered period, *i.e.* 2003–2013. The results show that 37% of EU countries were characterized by biological potential of cow herds which met the requirements on annual milk yield of cows operated by the automatic milking system (AMS) in 2013.

Within the second stage of analysis, the indices of equipment modernity for milking systems and milk cooling systems at Polish dairy system were calculated for two selected years (2002 and 2010), *i.e.* before and after EU accession (Figure 2).

Analysing values of the equipment modernity index within the considered period, one can indicate an increasing trend within the changes. The index of equipment modernity for milking systems (i_{emm}) increased from 3.9% to 13.8% during the 2002–2010 period. The same trend is noticeable in the case of equipment modernity index for milk cooling systems (i_{emc}). Yet, the level of changes is completely different. The value of i_{emc} index increased from 31.8% to 76.4%.

Considering the changes in the equipment modernity index, it is possible to conclude that modernity of Polish farms in respect of milk cooling equipment is higher than in the area of milking equipment. It seems

important that equipping dairy farms with milking systems generates considerably higher costs than equipping them with milk cooling techniques.

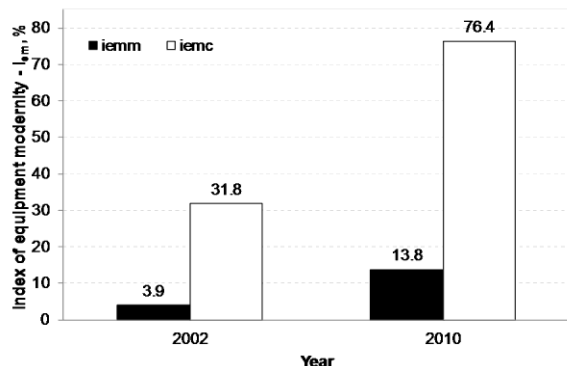


Figure 2. Index of equipment modernity: i_{emc} – index for milk cooling systems, i_{emm} – index for milking systems

Source: own calculations on the basis of data from the Polish Statistical Office

Discussion

Discussion of the proper approach to some aspects concerning the annual milk yield per cow seems important. The said yield, according to the data used for analysis, can be presented based on the overall (national) population of dairy cows as well as a group of cows under the system of dairy recording. The dairy recording system is developed in many countries, including Poland. Each year, more and more Polish farms are included in the dairy recording system managed by the Polish Federation of Cattle Breeders and Dairy Farmers. In 2014, the percentage (in relation to the total population) of cows under the dairy recording system was 32.9% and it had increased by 2.4% in comparison with 2013. Taking into account dairy farms with cow herds under the dairy recording system alone, this constituted an 8% increase in the number of recorded cows between 2013 and 2014. According to the data edited by the Federation's statistical office, the annual milk yield per cow under the recording system in Poland amounted to $7,441 \text{ kg} \cdot \text{year}^{-1}$ in 2013. This is about 38% more than the average annual milk yield per cow ($5,388 \text{ kg} \cdot \text{year}^{-1}$) presented in Table 2. In 2014, the annual milk yield per cow under the recording system in Poland amounted to $7,582 \text{ kg} \cdot \text{year}^{-1}$. Including such data in the calculation of some indices, e.g. coefficient of AMS potential use, it is possible to show that differences between some countries in the field of biological potential of dairy production are lower, so, for some farms, it is justified to equip them effectively with a modern milking technique such as the automatic milking system (AMS).

Including data from the dairy recording system managed by the Polish Federation of Cattle Breeders and Dairy Farmers, one can analyse an additional aspect important for assessment of dairy production and its effectiveness. Figure 3 presents the relationship between annual milk yield per cow and dairy cow herd size for

Polish dairy farms under the recording system, including data for 16 regions (voivodeships) in 2014.

One can state (Figure 3) that the annual milk yield per cow increases with a higher size of dairy cow herd. The relationship can be depicted by a curve with the coefficient of determination (R^2) of over 0.8. For bigger cow herd sizes (more than 40 cows per herd), the increasing trend bases on the points (data) not highly dispersed around the curve.

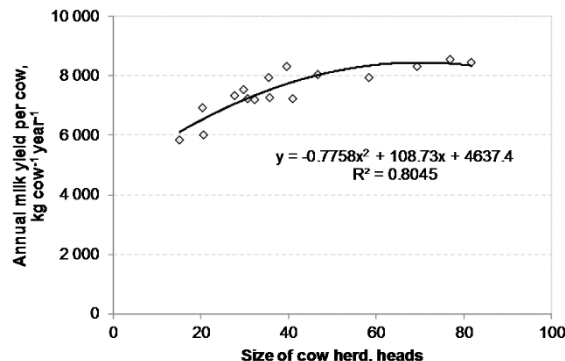


Figure 3. Relationship between the annual milk yield per cow and the dairy cow herd size for Polish dairy farms under the recording system in 2014

Source: author calculations on the basis of data from the Polish Federation of Cattle Breeders and Dairy Farmers

The growing size of dairy cow herds is accompanied by a higher annual milk yield per cow and, at the same time, needs to use higher capacity milking systems. Higher capacity milking systems are operated on cows with a higher annual milk yield, *i.e.* higher biological potential. Thus, it is possible to confirm significance of simultaneous implementation of different kinds of progress in agriculture and agricultural activities (Gaworski, 2006).

In the last 50 years, the dairy sector in most developed countries has shifted towards larger herds and greater annual milk production per cow. The driving force in this development has been the need to adopt technologies that require large capital investments and, hence, depend on larger herds to be profitable. On the other hand, most milk in developing countries is still produced in traditional small-scale systems with little or no mechanization or technological innovations (Gerosa, Skoet, 2013). In developing countries, it is evolving in response to rapidly increasing demand for livestock products. However, in developed countries, demand for livestock products is stagnating, while many production systems are increasing their efficiency and environmental sustainability (Thornton, 2010).

Equipping of dairy farms with more and more modern equipment for milking is first of all undertaken to save labour input and increase the milking capacity, especially at farms with a higher number of cows. However, implementation of more and more modern equipment for milk cooling at farms results from the need to save energy and fulfil the standards concerning milk quality, including the TBC (total bacteria count). Nowadays, in Poland, like in most European countries, there is only

one obligatory class of milk quality, *i.e.* extra class. There are no other classes, so high efficiency of milk cooling and, as a result, highly effective milk coolers constitute the most important condition to purchase milk from a farm to a dairy plant. More effective cooling is achievable by means of modern technical equipment, *i.e.* tank milk coolers, so fast increase in the number of such coolers as compared with bucket milk coolers can determine high values of the equipment modernity index for milk cooling systems.

Carried out investigations emphasize the role of annual milk yield per cow and its improvement in the context of increase of farm dairy production effectiveness. Annual milk production per cow constitutes the outcome of many factors. Advances in genetics, nutrition, and herd management have resulted in a 4-fold increase in milk yield between 1944 and 2007 (Capper *et al.*, 2009). When the problem of milk production per cow as well as farm scale is analysed, consideration of the effectiveness of dairy production against the background of sustainability seems essential. Sustainability is more than economic profitability; it also relates to environmental and societal concerns, including the quality of life of workers and the animals in dairy farms (von Keyserlingk *et al.*, 2013) and imagining the ideal dairy farm (Cardoso *et al.*, 2016). Such quality of life of animals at dairy farms can be identified by the keeping system and other facilities determining animal welfare. In 2010, a considerable share (61%) of cattle at Polish dairy farms was kept in barns with the tiestall system, while only 15.3% of cattle were kept with the use of the free-stall system. Generally, an increase in cow herd size is accompanied by preference for barns with the free-stall system. The increase in dairy production scale is the key determinant of Polish dairy farm development (Ziętara, 2012).

Conclusions

Results of carried out analyses show that many possible comparisons of dairy potential can be made in the European dairy production sector to outline differences between countries and their dairy production.

Further effective transformation of the Polish dairy sector requires overcoming certain barriers hindering development of the sector, connected first of all with high dispersion in raw milk production and its low technology level, high dispersion of dairy processing, and others.

As a result of undertaken studies, there are scientific premises to identify technical and biological solutions for optimizing the farm dairy production system, allowing sustainable improvement.

Implementation of modern technical equipment for milking at dairy farms needs simultaneous improvement of dairy cow herds and other factors, *e.g.* economic profitability.

Conflict of interests

The author declares that there is no conflict of interest regarding the publication of this paper.

References

- Agriculture and Rural Economy in Poland 2014. – Ministry of Agriculture and Rural Development, Warsaw, Poland, 140 pp.
- Boettcher, P.J. 2001. 2020 vision? The future of dairy cattle breeding from an academic perspective. – *J. Dairy Sci.* 84 (E. Suppl.), E62–E68.
- Borchers, M.R., Bewley, J.M. 2015. An assessment of producer precision dairy farming technology use, prepurchase considerations, and usefulness. – *J. Dairy Sci.* 98(6), 4198–4205.
- Calcante, A., Tangorra, F.M., Oberti, R. 2016. Analysis of electric energy consumption of automatic milking systems in different configurations and operative conditions. – *J. Dairy Sci.* 99(5), 4043–4047.
- Capper, J.L., Cady, R.A., Bauman, D.E. 2009. The environmental impact of dairy production: 1944 compared with 2007. – *J. Anim. Sci.* 87, 2160–2167.
- Cardoso, C.S., Hötzl, M.J., Weary, D.M., Robbins, J.A., von Keyserlingk, M.A.G. 2016. Imagining the ideal dairy farm. – *J. Dairy Sci.* 99(2), 1663–1671.
- Castro, A., Pereira, J.M., Amiama, C., Bueno, J. 2012. Estimating efficiency in automatic milking systems. – *J. Dairy Sci.* 95(2), 929–936.
- Central Statistical Office 2012. Warsaw, Poland, stat.gov.pl
- Food and Agriculture Organization of the United Nations, faostat.fao.org
- Gaworski, M. 2005. Conditions of transformation of dairy agri-systems engineering. – SGGW, Warsaw, 293, 100 pp. (in Polish)
- Gaworski, M. 2006. Analysis of different forms of advance in dairy production. – Veterinarija ir Zootechnika 35(57), 48–52.
- Gaworski, M., Leola, A. 2014. Effect of technical and biological potential on dairy production development. – *Agronomy Research* 12(1), 215–222.
- Gaworski, M., Priekulis, J. 2014. Analysis of milking system development on example of two Baltic countries. – 13th International Conference on Engineering for Rural Development, Jelgava (Latvia), Proceedings, 13, 79–84.
- Gerosa, S., Skoet, J. 2013. Milk availability: Current production and demand and medium-term outlook. In: Milk and dairy products in human nutrition. – FAO, Rome, p. 11–40.
- Jacobs, J.A., Siegfried, J.M. 2012. The impact of automatic milking systems on dairy cow management, behavior, health, and welfare. – *J. Dairy Sci.* 95(5), 2227–2247.
- Jago, J., Eastwood, C. Kerrisk, K. Yule, I. 2013. Precision dairy farming in Australasia: Adoption, risks and opportunities. – *Anim. Prod. Sci.* 53, 907–916.

- Kiiman, H., Tänavots, A., Kaart, T. 2013. The yield and quality of milk on the farms using twice a day conventional milking in comparison with the farms using three times a day conventional and automatic milking systems. – *J. Agricult. Sci.* XXIV(2), 55–64.
- Malak-Rawlikowska, A., Źekało, M. 2014. Dairy production developments and farm strategies in Poland. – Cattle husbandry in Eastern Europe and China, EAAP Scientific Series 135, 99–114.
- Meskens, L., Vandermeresch, M., Mathijs, E. 2001. Implication of the introduction of automatic milking on dairy farms: Literature review on the determinants and implications of technology adoption. – Dept. of Agricultural and Environmental Economics, KU, Leuven, 27 pp.
- Muehlhoff, E., Bennett, A., McMahon, D. 2013. Preface. In: Milk and dairy products in human nutrition. – FAO, Rome, 377 pp.
- Pabis, S. 1985. Methodology and methods of empirical sciences. – PWN, Warsaw, 267 pp. (in Polish)
- Polish Federation of Cattle Breeders and Dairy Farmers, Statistical Office, Warsaw, 2015.
- Rotz, C.A., Coiner, C.U., Soder, K.J. 2003. Automatic milking systems, farm size, and milk production. – *J. Dairy Sci.* 86(12), 4167–4177.
- Steenenveld, W., Tauer, L.W., Hogeveen, H., Oude Lansink, A.G.J.M. 2012. Comparing technical efficiency of farms with an automatic milking system and a conventional milking system. – *J. Dairy Sci.* 95(12), 7391–7398.
- Thornton, P.K. 2010. Livestock production: recent trends, future prospects. – *Phil. Trans. Royal Soc. B* 365, 2853–2867.
- von Keyserlingk, M.A.G., Martin, N.P., Kebreab, E., Knowlton, K.F., Grant, R.J., Stephenson, M., Sniffen, C.J., Harner, J.P., Wright, A.D., Smith, S.I. 2013 Sustainability of the US dairy industry. – *J. Dairy Sci.* 96(9), 5405–5425.
- Wagner, A., Palmer, R.W., Bewley, J., Jackson-Smith, D.B. 2001. Producer satisfaction, efficiency, and investment cost factors of different milking systems. – *J. Dairy Sci.* 84 (8), 1890–1898.
- Ziętara, W. 2012. Organisation and the economics of milk production in Poland, trends in the past and future. – *Roczniki Nauk Rolniczych* 99(1), 43–57 (in Polish)



KUIVATATUD JA KONSERVEERITUD SÖÖDATERAVILJA MÜKOTOKSIINIDE SISALDUSEST EESTIS

MYCOTOXIN CONTAMINATION IN DRIED AND HIGH MOISTURE FERMENTED CEREALS IN ESTONIA

Helgi Kaldmäe, Andres Olt, Meelis Ots

Eesti Maaülikool, Veterinaarmeditsiini ja loomakasvatuse instituut, F.R. Kreutzwaldi 46, 51006 Tartu

Saabunud:	16.12.15
Received:	
Aktsepteeritud:	17.02.16
Accepted:	
Valdatus veebis:	26.02.16
Published online:	
Vastutav autor:	Helgi
Corresponding author:	Kaldmäe
e-mail:	<i>helgi.kaldmae@emu.ee</i>

Keywords: dried cereals, high moisture cereals, deoxynivalenol, zearalenone

Link: [http://agrt.emu.ee/pdf/
2016_1_kaldmae.pdf](http://agrt.emu.ee/pdf/2016_1_kaldmae.pdf)

ABSTRACT. Cereal quality is estimated by chemical composition and fermentation parameters, but there is need to check for the presence of mycotoxins. Feed cereals are stored dried, with a dry matter of 86% or ensiled in a silo with a dry matter of 55–75%. A high moisture content in cereals is a good substrate for the growth of mould fungi of a range of genera (*Fusarium*, *Aspergillus*, *Penicillium*), the availability of their metabolites and of other undesirable microorganisms, such as bacteria and yeast. The aim of this study was to determine the nutritive quality, the concentrations of zearalenone (ZEA) and deoxynivalenol (DON) and the fermentation process of ensiled high moisture cereals prepared for feeding to cows in Estonia. A total of 190 samples of dried cereals (DC): 56 wheat, 113 barley, 11 oats, 4 triticale and 4 rye, and 147 samples of high moisture cereals (HMC) collected and analysed. The mean DM content of the DC was 86.9% and of the HMC 68.1%. In this study the DC were found to contain mycotoxins, 70.5% of the samples were positive for DON and 68.4% were positive for ZEA, while in the HMC these were 85.7 and 96.6% respectively. The mean DON content in the DC was 100.4 ppb, and the mean content of ZEA in the DC was 27.6 ppb; the contents in the for these mycotoxins in the HMC were 189.6 ppb and 163.6 ppb respectively.

The concentration of mycotoxins between the different species of cereal did not differ significantly.

The of DON and ZEA contents were related the dry matter of HMC. The DON concentration in low DM (63.3%) cereal was 220.0 ppb and of ZEA 204.5 ppb while in the higher DM (75.5%) cereal the concentrations were 141.4 ppb and 94.7 ppb respectively. The fermentation quality of the HMC was good.

The threshold mycotoxin level in feed, below which there are no negative effects on health and performance in dairy cows are, for DON under 500 ppb and ZEA under 100 ppb. These are considered low levels of toxins; moderate levels are, for DON 500–2,000 ppb and for ZEA 100–250 ppb, and high levels are over 2,000 ppb and over 250 ppb respectively. Of the samples, 94.7% of DC were at the low level of DON while 89.1% were at the low level for ZEA. Of the HMC samples, 89.7% and 50.7% were at the low level for the mycotoxins, while 9.5% had levels of DON at moderate level and 33.1% had levels of ZEA at moderate levels.

© 2016 Akadeemiline Pöllumajanduse Selts. Kõik õigused kaitstud. 2016 Estonian Academic Agricultural Society. All rights reserved.

Sissejuhatus

Söödateravilja säilitamiseks kasutatakse kas kuivata mist niiskusesisalduseni 14% või konserveerimist si leirimise teel. Konservvilja all mõistetakse kõrge

niiskuse- või madala kuivainesisaldusega (55–75%) ter avilja, mille sileerimisel on kasutatud kas bioloogilist või keemilist kindlustuslisandid ning mida säilitatakse hermeetilises hoidlas. Konservvilja kvaliteet sõltub

suures ulatuses fermenteeritavast materjalist, valmistamise tehnoloogiast, (muljumine, tihendamine), puhtust ja säilitamise tingimustest

Kõrge niiskusesisaldusega teravili on heaks substraadiks hallitusseente (*Fusarium*, *Aspergillus*, *Penicillium*) pärmeente ja teiste ebaoovitavate mikroorganismide (*Coli*, *Clostridium*) kasvuks ja arenguks (Potkanski, jt 2010). Mükotoksiinid on hallitusseente poolt produtseeritud sekundaarsed metaboliidid. Kõige tunnataeks loetakse aflatoksiini (AFLA), ohratoksiini (OTA), trihhötetseenide toksiini T-2 (T-2), diatsetoksüskirpenooli (DAS), deoksünivalenooli (DON), zearaleenooni (ZEA) ja fumonosiine (FUM) (Yiannikouris, Jouany, 2002; Selwet, 2009).

Hallitusseente areng ja sööda sh teravilja mükotoksiinidega saastatus sõltub mitmesugustest keskkonnatingimustest, nagu temperatuurist, niiskusesisaldusest, kondensveest, keskkonna hapnikusisaldusest ja pH-st (Nelson, 1993; Queiroz jt, 2011; Laitila jt, 2014; Persson, Böttker, 2014). Siia lisanduvad veel taimede stress ja kahjustused, mida on põhjustanud ekstremaalne ilmastik (rahe, pöud) või taimehaigused, mis nõrgendavad taimemuumust ja vastupanu (Jouany, 2007; Queiroz jt, 2010). Kui teravilja kasvuperiood on vihmane, siis hallitusseente arenguks ning mükotoksiinide produtseerimiseks on loodud soodsad tingimused juba pöllul, enne saagi koristust. Teravilja säilitamisel peaksid sellisel juhul olema head hoiutingimused (sobiv temperatuur ja niiskus), välimaks edasist hallitusseente arengut ning mükotoksiinidega saastatuse kasvu (Naehrer jt, 2014). Kui aflatoksiinid arenevad vaid soojades ja niisketes keskkonnatingimustes (Whitlow, Hagler, 2005), siis paraskliimavõtmes on tuntumad trihhötetseenid, zearaleenooni ning fumonosiinid.

Soodsad sileerimise tingimused, korralik fermentatsioon ja hoidla hermeetilisus vähendavad hallitusseente kasvu ja mükotoksiinidega saastatust, sest nende arenguks puudub vajalik kogus hapnikku (Johansson jt, 2005; Mansfield, Kulda, 2007).

Uurimistöö eesmärgiks oli selgitada nii kuivatatud kui ka konserveeritud teravilja mükotoksiinide sisaldust, mis olid tekinud sööda kasutamise ajaks. On teada, et mükotoksiinid möjuvad negatiivselt pöllumajandusloomadele ja -lindudele nõrgestades nende immuunsüsteemi ning hormonaalseid funktsioone (Grenier, 2014; Pestka, 2014), tekitudes köhulahtisust, vähendades söömust ja produktsiooni ning ohustades nii toodangut (liha, piima, mune) kui ka tervist põhjustades olenevalt kogustest mitmesuguseid toksikoose ning haigusi (Jouany, Diaz, 2005; Smith jt, 2007; Mezes, Balogh, 2009).

Metoodika

Aastail 2013–2014 koguti 190 kuivatatud ja 147 konserveeritud teravilja proovi. Kuivatatult säilitatud teraviljadest uuriti 58 nisu, 113 odra, 11 kaera, 4 tritikale ja 4 rukki proovi. Konserveeritud teravili säilitati kas kiletunnelis või tranšeess. Konserveeritud teravilja sileeritakse sageli ühte suurde tranšeesse, pannes erinevad teraviljad kihiti horisontaalselt vastavalt valmimise- ja

koristamise ajale. Söötmiseks võetakse konserveeritud teraviljade sileerimisel kasutati bioloogilist või keemilist kindlustuslisandit.

Nii kuivatatud kui konserveeritud teraviljade proovid võeti puuriga vastavalt keskmise proovi võtmise korrale. Kõikidest proovidest määratati kuivaine- ja mükotoksiinide sisaldus ning konserveeritud teraviljade ka fermentatsiooninäitajad. Lenduvate rasvhapete, etanooli, pH ja ammoniaaklämmastiku sisalduse määramiseks valmisati konserveeritud teravilja proovidest vesilahus. Seljeks kaaluti 50 g proovi, millele lisati 100 ml destilleeritud vett. Segu filtreeriti ühe tunni pärast.

Konserveeritud vilja pH määratigi pH meetriga (MP 120 Mettler Toledo). Ammoniaaklämmastiku määramiseks kasutati Kjeldec 8400 Tecator™ Line (FOSS) analüüsatorit. Etanooli-, piimhappe- ja lenduvate rasvhapete sisaldus määratigi gaaskromatograafiga (Agilent Technologies 7890 A) kasutades kolonni täidisega 80/120 CarboPack B-DA/4% carbowax 20 M (Faitfull, 2002).

Uuritud proovid eelkuivatati 60 °C juures ja jahvatati 1 mm osakesteks, millest määratigi kuivainesisaldus pärast termostaadis 130 °C juures konstantse kaaluni kuivatamist (AOAC, 2005). Mükotoksiinid ZEA ja DON määratigi ELISA meetodil kasutades Ridasgreen® FAST kitte. Analüüsidi viidi läbi Eesti Maaülikooli Veterinaarmeditsiini ja loomakasvatuse instituudi söötmise osakonna laboratooriumis.

Katseandmed töödeldi statistiliselt kasutades SAS statistikapaketis olevat GLM protseduuri (versioon 9.2, SAS Institute Inc., Cary, NC USA).

Tulemused ja arutelu

2013. ja 2014. aastal Eestis uuritud kuivatatud teraviljade proovidest olid ZEAga saastunud 68,4% ja DONiga 70,5% ning konserveeritud teraviljade vastavalt 96,6 ja 85,7% (tabel 1). Konserveeritud teraviljadest sisaldasid ühte toksiini 22 (15%) ja kahte toksiini 120 (83%) proovi ning kuivatatud teraviljadest vastavalt 64 (34%) ja 101 (53%) proovi. Ülemaailmne 4218 söödaproovi uurimine 2013. aastal näitas, et AFLA sisaldasid 30%, ZEAd 37%, DONi 59% FUMi 55% ja OTAt 23% uuritud materjalist, kusjuures proovide keskmise saastatuse tase oli vastavalt AFLA 10 ppb, ZEA 49 ppb, DON 458 ppb, FUM 778 ppb ja OTA 2 ppb (Kovalsky jt, 2014). Samal aastal uuriti Euroopas 1413 söödaproovi ZEAgaga saastumist, mille keskmise sisaldus oli 88 ppb ja maksimaalne 3950 ppb ning DONi sisaldust 1854 proovis, mille keskmise sisaldus oli 799 ppb, maksimaalne aga 18 971 ppb. 76% proovidest sisaldasid vähemalt ühte toksiini (Schaumberger, Naehrer, 2014).

Hiljutine ülemaailmne uuring töi välja, et söödad on tavaliselt saastunud rohkem kui ühe mükotoksiiniga (Streit jt, 2013). Samuti tödeti, et sööda mitme erineva toksiiniga saastumise möju on veel vähe uuritud, ka ei osata täpselt hinnata toksiinide vastastikuse toime sünergismi. See omakorda teeb keeruliseks detoksifikaatorite valiku (Grenier, Oswald, 2011).

Tabel 1. Mütoksiinide sisaldus kuivatatud ja konserveeritud teraviljades

Table 1. Concentrations of mycotoxins in dried and high moisture cereals

Mütoksiini-Näitajad Mycotoxins	Items	Kuivatatud teravili DC	Konserveeritud teravili HMC
	Kuivaine / Dry matter, %	86,9	68,1
	Proovide arv / No of samples	190	147
ZEA	Positiivsete proovide % % positive samples	68,4	96,6
	Max sisaldus, $\mu\text{g kg}^{-1}$ Max content level, $\mu\text{g kg}^{-1}$	209	1239
	Keskmine sisaldus, $\mu\text{g kg}^{-1}$ Average content, $\mu\text{g kg}^{-1}$	27,6	163,6 ^a
	Standardviga Standard error	7,3	14,9
DON	Positiivsete proovide % % positive samples	70,5	85,7
	Max sisaldus, $\mu\text{g kg}^{-1}$ Max content level, $\mu\text{g kg}^{-1}$	1142	2023
	Keskmine sisaldus, $\mu\text{g kg}^{-1}$ Average content, $\mu\text{g kg}^{-1}$	100,4	189,6 ^a
	Standardviga Standard error	8,1	21,3

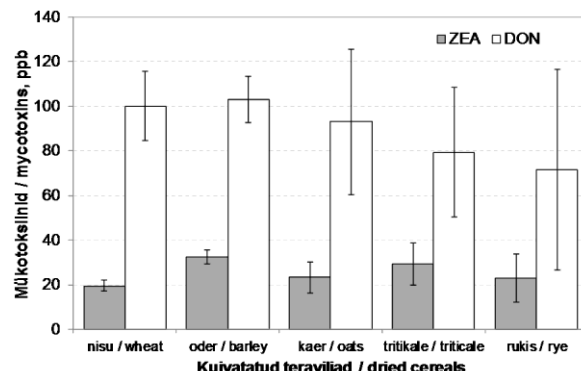
^aP < 0,001

Kuivatatud teraviljade mütoksiinidesisaldus on toodud tabelis 2. Kuivatatud nisu ZEA sisaldus oli 19,5 ppb, odral 32,4 ppb, kaeral 23,3 ppb, rukkil 29,3 ja tritikalel 23,0 ppb, DON sisaldus vastavalt 100,1 ppb, 103,1 ppb, 93,1 ppb, 79,3 ppb ja 71,5 ppb (joonis 1).

Kuigi väikesed erinevused erinevat liiki teraviljade keskmiste toksiinide sisaldustesse vahel olid, ei erinenud need oluliselt (P > 0,5, tabel 2).

Norras tehtud uuringud näitasid, et mõned nisu, odra ja kaera sordid, on hallitusseente suhtes resistantsemad ning sisaldasid DONi vähem kui teised (Lillemo jt, 2014). Lõiveke jt (2008) andmetel sisaldasid Eestis 2006. a saagist uuritud teraviljad mütoksiinile 41% ja 2007. a saagist vastavalt 66%, kusjuures sagedamini esinesid T-2 ja HT-2 ning harvem DON, aflatoksiin ja ohratoksiin. Aastatel 2011–2012 uuriti Rootsis sigadele

söödetavast teraviljast võetud 188 proovi mütoksiinidega saastumist. Analüüs näitas, et 89% proovidest sisaldasid DONi, 54% ZEAd, 29% T-2e ja 16% HT-2e. DONi keskmise sisalduse kuivaines oli kaeras 461 ppb, odras 162 ppb, nisuks 195 ppb ja segaviljas 101 ppb.



Joonis 1. Zearalenooli (ZEA) ja deoksünivalenooli (DON) sisaldus kuivatatud teraviljades (\pm standardviga)

Figure 1. Contamination of zearalenon (ZEA) and deoxynivalenol (DON) in dried cereals (\pm standarderror)

Kaeras oli ZEA sisaldus keskmiselt 23 ppb, kuid oder ja nisu seda ei sisaldanud. Neljas seafarmis kümnest oli teraviljasöödas DON ja ZEA tase kõrge (Nordkvist, Häggblom, 2014). 2006–2014 aastal uuriti Lätis *Fusarium* tüvede esinemist teraviljades. Tödeti, et ilmasti-kutingimustel (soojus, niiskus) oli teraviljades hallitusseente arengule ja mütoksiinidega saastumisele väga suur mõju. Kui 2006 olid DONiga saastunud 4,7% kõrstatud teraviljadest ning ZEAd ja T-2 toksiini ei leitud üldse, siis 2007 sisaldasid DONi 27,2% uuritud proovidest ning ZEAd 2,5% ja T-2e 3,7%, kusjuures suurim DON sisaldus saadi 2011. aastal talinisul – 3266 ppb (Treikale jt, 2014).

Tabel 2. Kuivatatud erinevate teraviljade mütoksiinide sisaldus
Table 2. Concentrations of mycotoxins in dried different cereals

Mütoksiinid Mycotoxins	Proovide arv No of samples	Kuivainesisaldus The concentration of dry matter, %	Keskmine ¹ Mean ¹ ± se	Max
Nisu / Wheat				
ZEA, ppb	58	87,2	19,5 ± 2,5	127
DON, ppb	58	87,2	100,1 ± 15,4	735
Oder / Barley				
ZEA, ppb	113	86,7	32,4 ± 3,2	209
DON, ppb	113	86,7	103,1 ± 10,3	1142
Kaer / Oats				
ZEA, ppb	11	86,6	23,3 ± 6,9	100
DON, ppb	11	86,6	93,1 ± 32,6	349
Tritikale / Triticale				
ZEA, ppb	4	86,3	23,0 ± 9,3	62
DON, ppb	4	86,3	71,5 ± 29,1	188
Rukis / Rye				
ZEA, ppb	4	86,3	29,3 ± 10,8	52
DON, ppb	4	86,3	79,3 ± 45,1	263

¹ Kõikide proovide keskmne kontsentratsioon ± standardviga / Mean concentration of all samples ± standard error

Kõik konservviljad sileerusid normaalselt, olenevalt kuivainesisaldusest tekkis kas rohkem või vähem happeid. Propioonhapet sisaldasid need konservviljad, mil-

lele oli seda lisatud keemilise lisandiga. Nii iso- kui palderjanhapet ning võihapet ükski konserveeritud vili ei sisalda. Neis proovides, mille kuivainesisaldus oli üle 80%, täheldati pärstitud käärimit. Konservviljades,

mille kuivainesisaldus oli väiksem kui 70% tekkis happeid kokku keskmiselt $21,4 \text{ g kg}^{-1}$ ja kuivainesisaldusega rohkem kui 70% vastavalt $11,3 \text{ g kg}^{-1}$.

Kuivemad konservviljad sisaldasid keskmiselt vähem mükotoksiine kui märjemad, ZEA 94,7 vs. 204,5 ppb ($P < 0,001$) ja DON 141,4 vs. 220,0 ppb ($P < 0,05$) (tabel 3). Konserveeritud teravilja kuivainesisalduse mõju

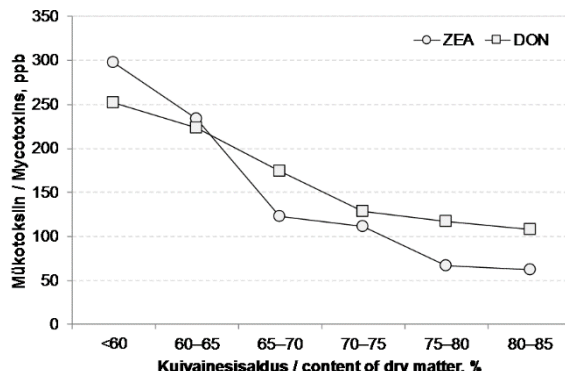
mükotoksiinide sisaldusele näitab joonis 2, mis ilmus 2013. aasta andmete baasil (Kaldmäe, 2014) ja ei muutunud kui lisati 2014. aastal kogutud andmed. Märjemu teravili sileerub paremini, kuid tingimused hallitusseente arenguks on soodsamat ning tekib ka rohkem mükotoksiine.

Tabel 3. Konservvilja fermentatsiooninäitajad ja ZEA ning DON sisaldus sõltuvalt kuivainesisaldusest.

Table 3. The fermentation items and content of ZEA and DON depend on dry matter of high moisture cereals

Näitajad Items	Uuritud proovide keskmised Mean of tested samples	Madalamal kuivaineega teravili	Kõrgema kuivaineega teravili
		(<70%)	(>70%)
Kuivainesisaldus / Dry matter, %	$68,1 \pm 0,9$	$63,3 \pm 0,6$	$75,5 \pm 0,3$
Proovide arv / No of samples	147	90	57
Kuivaines / In dry matter, g kg ⁻¹ :			
Etanol/Ethanol	$3,4 \pm 0,59$	$3,5 \pm 0,62$	$3,2 \pm 0,61$
Äädikhape / Acetic acid	$3,7 \pm 0,63$	$4,7 \pm 0,31$	$2,3 \pm 0,22$
Propioonhape / Propion acid	$0,3 \pm 0,02$	$0,6 \pm 0,02$	$0,3 \pm 0,01$
Iso- ja palderjanhape / Iso- and valerenian acid	0	0	0
Võihape / Butyric acid	0	0	0
Piimhape / Lactic acid	$12,7 \pm 1,04$	$16,1 \pm 0,97$	$8,7 \pm 0,81$
Proovis / In samples			
pH	$4,6 \pm 0,64$	$4,4 \pm 0,58$	$4,8 \pm 0,56$
NH ₃ N tuld N-st / Ammonia-N, % TN	$2,4 \pm 0,06$	$3,1 \pm 0,11$	$1,5 \pm 0,09$
ZEA, ppb	$163,6 \pm 3,1$	$204,5^a \pm 18,2$	$94,7^b \pm 1,7$
DON, ppb	$189,6 \pm 10,2$	$220,0^A \pm 21,4$	$141,4^B \pm 2,3$

^{ab} P > 0,001; ^{AB} P < 0,05



Joonis 2. Konserveeritud teravilja kuivainesisalduse mõju mükotoksiinide sisaldusele (Kaldmäe, 2014)

Figure 2. The content of ZEA and DON depend on dry matter of high moisture cereals (Kaldmäe, 2014)

Nagu joonis 2 näitab, ei ole soovitav alla 65% kuivainesisaldusega vilja konserveerida. Kesk-Euroopas silearitakse maisi. 61,3%-lise kuivainesisaldusega muljutud maisiterad sileerusid hästi. Kuue kuu möödumisel tehtud analüüsides näitasid, et sööt sisaldas 133 ppb DONi, 38,97 ppb ZEAd, 70,2 ppb FUMi, AFLA 2,47 ppb AFLAt, 232,71 ppb T-2e ja 2,33 ppb OTAt. Sileerimisel kasutatud kombineeritud kindlustuslisand, mis sisaldas nii piimhappebaktereid kui ka naatriumbensooni pärsis mõningaid toksiine (Biro jt, 2009). Söödabilja saab täiesti ohutuks pidada siis, kui see ei sisalda mükotoksiine. Praktikas kasutatakse sageli ka vilja, milles on teatud kogus mükotoksiine. Väikesed toksiidide kogused ei ohusta alati looma tervist ega mõjuta toodangut, kuid see sõltub mitmetest teguritest. Matalate mükotoksiinisalduste juures kasutatakse detoksi-

fikatsiooniks spetsiifilisi sidujaid, mida lisatakse vastavalt toksiini kontsentratsioonile ja looma- või linnulii-gile. Detoksifikaatorid toimivad seedetraktis, kuid viivad vähesel määral kaasa ka toitaineid. Kui lähtuda, et ZEA sisaldus sõödas vähem kui 100 ppb on madal tase ning ei kujuta tavapäraselt ohtu, siis 100–250 ppb tuloks lugeda keskmiseks ning rohkem kui 250 ppb juba kõrgeks tasemeeks. DON sisaldus vähem kui 500 ppb loetakse madalaks, 500–2000 ppb keskmiseks ja üle 2000 ppb juba kõrgeks ja väga ohtlikuks tasemeeks (Whitlow jt, 1998). Võttes aluseks eelpool nimetatud tasemed iseloomustavad kuivatatud ja konserveeritud teravilja mükotoksiinide sisaldust tabel 4 andmed. Ees-tis uuritud konservviljade proovidest sisaldasid rohkem kui 100 ppb ZEA 49,3% ja rohkem kui 500 ppb DON 10,3%, kuivatatud teraviljadest vastavalt 10,9% ja 5,3%. Tuleb märkida, et enim probleeme tekib konservviljades suhtelisest suures koguses esinev ZEA, mida produtseerivad *Fusarium graminearium* ja mõned teised *Fusarium* perekonna seened. ZEA toksikoosi korral tekivad sigimisprobleemid. Mäletsejalistel tekivad vaginiidid, abordid, viljatus. Mittetiinetel mullikatel suureneb udar. Madala tiinestumisega karjades seostati lehmade veres ja uriinis tuvastatud ZEA ning selle metaboliitide kõrget sisaldust toksiinidega saastatud sööda söötmisega (Jouany, Diaz, 2005, Bryden, 2012). Ka sigadel põhjustab ZEAga nakatunud sööt sigimisprobleeme (Smith jt, 2011). Suurt DONiga saastatust leidis uuritud söötade proovides harva. DON põhjustab sigadel isu vähenemist, kõhulahtisust, oksendamist, viljastumishäireid ja surma, veistel aga söömuse vähenemist ja toodangu langust (Jouany, Diaz, 2005).

Tabel 4. Mütoktsiine sisaldavate proovide iseloomustus**Table 4.** The character rating of mycotoxins contamination of cereals

Mütoktsiini sisaldus The content of mycotoxins, ppb	Konserveeritud teravili <i>HMC</i>					Kuivatatud teravili <i>DC</i>				
	n	%	\bar{x}	$\pm se$	max	n	%	\bar{x}	$\pm se$	max
ZEA										
Madal tase / Low range, <100	72	50,7	49,3	2,3	99	115	89,1	29,3	1,3	93
Keskmine tase / Medium range, 100–250	47	33,1	158,7	1,9	235	14	10,9	143,9	1,5	232
Kõrge tase / High range, >250	23	16,2	555,7	16,8	1239	0	—	—	—	—
DON										
Madal tase / Low range, <500	113	89,7	150,8	10,7	490	126	94,7	110,7	9,7	456
Keskmine tase / Medium range, 500–2000	12	9,5	695,8	11,3	1099	7	5,3	724,4	16,3	1142
Kõrge tase / High range, >2000	1	0,8	—	—	2023	0	—	—	—	—

Järeldused

Teraviljadel on Eesti ilmastikutingimustes suur oht saastuda mütoktsiinide ZEA ja DONiga.

Kuivatatud teraviljade proovidest oli DONiga saastunud 70,5% ja ZEAga 68,4%, keskmise sisaldusega vastavalt 100,4 ja 27,6 ppb. Konservviljade proovidest sisaldasid DONi 85,7% ja ZEAd 96,6% keskmise sisaldusega vastavalt 189,6 ja 163,6 ppb.

Antud uuringus osutus kuivatatud teravilja kvaliteet konserveeritud teravilja kvaliteedist paremaks, sest selles oli hallitusseente kasv enam pärstitud ning seetõttu ka mütoktsiinide sisaldus väiksem ($P < 0,001$).

Huvide konflikt / Conflict of interests

Autorid kinnitavad artikliga seotud huvide konflikti puudumist. The authors declares that there is no conflict of interest regarding the publication of this paper.

Tänuavalddus

Töö on teostatud Eesti Haridus- ja Teadusministeeriumi IUT projekti nr IUT8-1 täitmiseks.

Kasutatud kirjandus

- AOAC. 2005. Official Methods of Analysis of AOAC INTERNATIONAL, 18th ed. Association of Official Analytical Chemists International, Gaithersburg, MD, USA.
- Biro, D., Galik, B., Juracek, M., Simko M., Starakova, E., Michalkova, J., Gyöngyova, E. 2009. Effect of biological and biochemical silage additives on final nutritive, hygienic and fermentation characteristics of ensiled high moisture crimped corn. – ACTA VET., Brno, 78, p. 691–698.
- Bryden, W.L. 2012. Mycotoxin contamination of the feed supply chain: Implications for animal productivity and feed security. – Animal Science and Technology, vol. 173, p. 134–158.
- Faithfull, N.T. 2002. Methods in Agricultural Chemical Analysis: a practical handbook. – CABI Publishing, UK, 266 pp.
- Grenier, B. 2014. Effects of mycotoxins on the immune system. – In: World nutrition forum Munich 2014 (ed. E.M. Binder), p. 327–336.
- Grenier, B., Oswald, I.P. 2011. Mycotoxin co-contamination of food and feed: meta-analysis of publications describing toxicological interactions. – World Mycotoxin Journal 4, p. 285–313.
- Johansson, M., Emmoth, E., Salomonsson, A.C., Albihn, A. 2005. Potential risks when spreading anaerobic digestion residues on grass silage crops-survival of bacteria, moulds and viruses. – Grass Forage Science, 60, p. 175–185.
- Jouany, J.P. 2007. Methods for preventing, decontaminating and minimizing the toxicity of mycotoxins in feeds. – Anim. Feed. Sci. Technol. 137, p. 342–362.
- Jouany, J.P., Diaz, D.E. 2005. Effects of mycotoxins in ruminants. In: Mycotoxin Blue Book. ADVS Faculty Publications, p. 295–322.
- Kaldmäe, H. 2014. Vilja ohustavad mütoktsiinid. – Maamajandus, nr 12, lk 13–14.
- Kovalsky, P., Naehrer, K., Schwab, C., Schatzmayr, D. 2014. Worldwide occurrence of mycotoxins in feeds and feed components in year 2013. – World nutrition forum Munich 2014. Poster Book, p. 7.
- Laitila, A., Virkajarvi, V., Holopainen, U., Sarlin, T., Asola, A., Jestoi, M., Rautio, J., Kaukoranta, T., Hietaniemi, V., Parikka, P. 2014. Induction of type-A trichothecene production in barley at field conditions. – NJF Report, Vol. 9, No. 8, p. 11.
- Lillemo, M., Skinnes, H., Björnstad, Å., Buraas, T., Reitan, L., Bergersen, S., Dieseth J.A. 2014. Choice of resistant cultivars as a means to reduce the risk of mycotoxins in wheat, barley and oats – how big are varietal differences, and what are the characteristics of resistant cultivars? – NJF Report, Vol. 9, No. 8, p. 10.
- Lõiveke, H., Ilumäe, E., Akk, E. 2008. Teravilja mikrobioloogiast ja ohutusest. – Agraarteadus XIX, nr 2, lk 38–45.
- Mansfield, M.A., Kuldau, G.A. 2007. Microbiological and molecular determination of mycobiota in fresh and ensiled maize silage. – Mycologia, 99, p. 269–278.
- Mezes, M., Balogh, K. 2009. Mycotoxins in rabbit feed: a review. – World Rabbit Sci., 17, p. 53–62.
- Naehrer, K., Nies, W., Malachova, A., Sulyok, M., Berthiller, F., Kraska R. 2014. 2012 Mycotoxin Survey and Multi-Mycotoxin Screening in Germany. – World Nutrition Forum October 15th–18th, 2014, Munich, Poster Book, p. 6.
- Nelson, C. 1993. Strategies of mold control in dairy feeds. – J. Dairy Sci. 76, p. 898–902.
- Nordkvist, E., Häggblom, P. 2014. Fusarium mycotoxin contamination of cereals and bedding straw at Swedish pig farms. – Animal Feed Science and Technology, 198, p. 231–237.

- Queiroz, O.C.M., Adesogan, A.T., Staples, C.R., Hun, J., Garcia, M., Greco, L.F., Oliveira, L.J. 2010. Effects of adding a mycotoxin-sequestering agent on milk aflatoxin M1 concentration and the performance and immune response of dairy cattle fed an aflatoxin B1 – contaminated diet. – *J. Anim. Sci.* 88 (Suppl E), p. 543, Abstract 1142.
- Queiroz, O.C.M., Rabaglino, M.B., Adesogan, A.T. 2011. Mycotoxin in silage. In: Proceedings of the II International Symposium on forage quality and conservation (ed. J.L.P. Daniel *et al.*), Nov. 16–19th, 2011, São Pedro, p. 105–126.
- Persson, P., Böttker, H. 2014. Eed borne *Fusarium graminearum* in cereals – introduction to new areas. – NJF Report, Vol. 9, No. 8, p. 13.
- Pestka, J. 2014. New insights on the mechanisms of deoxynivalenol. – In: World nutrition forum Munich 2014 (ed. E.M. Binder), p. 337–349.
- Potkański, A., Grajewski, J., Twarużek, M., Selwet, M., Miklaszewska, B., Blajet-Kosicka, A., Szumacher-Strabel, M., Cieślak, A., Raczkowska-Werwinska, K. 2010. Chemical composition, fungal microflora and mycotoxin content in maize silages infected by smut (*Ustilago Madis*) and the effect of biological and chemical additives on silage aerobic stability. – *J. Animal and Feed Sciences*, 19, p. 130–142.
- Schaumberger, S., Naehrer, K. 2014. European Mycotoxin Survey 2013. – World nutrition forum Munich 2014. Poster Book, p. 11.
- Selwet, M. 2009. Effect of propionic and formic acid mixtures on the fermentation, fungi development and aerobic stability of maize silage. – *Polish Journal of Agronomy*, 1, p. 37–42.
- Smith, T.K., Diaz-Liano, G., Korosteleva, S.N., Yegani, M. 2007. Significance of feed-borne *Fusarium* mycotoxins on livestock health and reproduction. – ISAH-2007 Tartu, Estonia, p. 689–694.
- Smith, T.K., Diaz, G., Swamy, H.V.L.N. 2011. Mycotoxicosis in pigs. – *Eesti Loomaarstlik Ringvaade nr. 3*, p. 15–18 (in Estonian).
- Streit, E., Nährer, K., Rodrigues, I., Schatzmayr, G. 2013. Mycotoxin occurrence in feed and feed raw materials worldwide: long-term analysis with special focus on Europe and Asia. – *Journal of the Science of Food and Agriculture*, 93, p. 2892–2899.
- Treikale, O., Javoisha, B., Pugacheva, J., Vigule, Z., Feodorova-Fedotova, L. 2014. Fusarium species and mycotoxins in Latvian cereals. – NJF Report, vol. 9, No. 8, p. 34.
- Whitlow, L.W., Hagler, W.M., Hopkins, B.A. 1998. Mycotoxin occurrence in farmer submitted samples of North Carolina feedstuffs: 1989–1997. – *J. Dairy Sci.*, Vol. 81, p. 1189.
- Whitlow, L.W., Hagler, W.M. Jr. 2005. Mycotoxins in dairy cattle: occurrence, toxicity, prevention and treatment. – *Proc. Southwest Nutr. Conf.*, p. 124–138.
- Yiannikouris, A., Jouany, J.P. 2002. Mycotoxins in feeds and their fate in animals: a review. – *Anim. Res.* 51, p. 81–99.

Mycotoxin contamination in dried and high moisture fermented cereals in Estonia

Helgi Kaldmäe, Andres Olt, Meelis Ots
Estonian University of Life Sciences, Institute of Veterinary Medicine and Animal Sciences,
Fr.R. Kreutzwaldi 46, 51006 Tartu

Summary

The cereals quality estimated by chemical composition and fermentation parameters, but it is need the control about the composition of mycotoxins. Cereals of feed stored up dried with dry matter 86% or ensiled in silo with dry matter 55–75% (moisture 25–45%). The high moisture cereals is a good substrate for mould fungi from different genera (*Fusarium*, *Aspergillus*, *Penicillium*), their metabolites and by other undesirable microorganisms – bacteria and yeast. The aim of this study was to determine the effect of different cereals on the final nutritive quality, concentration of zearalenone (ZEA) and deoxynivalenol (DON) and fermentation process of ensiled high moisture cereals prepared for feeding to cows in Estonia. A total 190 dried cereals (DC) 58 wheat, 113 barley, 11 oats, 4 triticale and 4 rye and 147 high moisture cereals (HMC) samples were collected and analysed. All the HMC were fermented with the use of a biological or chemical additive. The quality of fermentation of the preserved cereals was determined by GC. The mycotoxin contents in the feeds were determined by the ELISA method with the kits Ridascreen ® FAST.

The mean DM content of the DC was 86.9% and of the HMC 68.1%. In this study the DC were found to contain mycotoxins, 70.5% of the samples were positive for DON and 68.4% were positive for ZEA, while in the HMC these were 85.7 and 96.6% respectively. The mean DON content in the DC was 100.4 ppb, and the mean content of ZEA in the DC was 27.6 ppb; the contents in the for these mycotoxins in the HMC were 189.6 ppb and 163.6 ppb respectively.

The concentration of mycotoxins between the different species of cereal did not differ significantly.

The DON and ZEA contents were related the dry matter of HMC. The DON concentration in low DM (63.3%) cereal was 220.0 ppb and of ZEA 204.5 ppb while in the higher DM (75.5%) cereal the concentrations were 141.4 ppb and 94.7 ppb respectively. The fermentation quality of the HMC was good.

The threshold mycotoxin level in feed, below which there are no negative effects on health and performance in dairy cows are, for DON under 500 ppb and ZEA under 100 ppb. These are considered low levels of toxins; moderate levels are, for DON 500–2,000 ppb and for ZEA 100–250 ppb, and high levels are over 2,000 ppb and over 250 ppb respectively. Of the samples, 94.7% of DC were at the low level of DON while 89.1% were at the low level for ZEA. Of the HMC samples, 89.7% and 50.7% were at the low level for the mycotoxins, while 9.5% had levels of DON at

moderate level and 33.1% had levels of ZEA at moderate levels.

Drying is more effective than fermented conservation at inhibiting mould growth, and therefore mycotoxin contamination, in cereals ($p < 0.001$).



Ülevaade: RABAMULD – EESTI AASTA 2016 MULD

Review: BOG SOIL – YEAR 2016 SOIL OF ESTONIA

Raimo Kõlli

Eesti Maaülikool, Fr.R. Kreutzwaldi 5D-111, 51014 Tartu

Saabunud: 07.04.16
Received:
Aktsepteeritud: 05.06.16
Accepted:

Avaldatud veebis: 18.06.16
Published online:

Vastutav autor: Raimo Kõlli
Corresponding author:
e-mail: raimo.kolli@emu.ee

Keywords: bog soil, ecological services, environmental protection, Fibric Histosol, soil properties, year 2016 soil

Link: [http://agrt.emu.ee/pdf/
2016_1_kolli.pdf](http://agrt.emu.ee/pdf/2016_1_kolli.pdf)

ABSTRACT. By Estonian Soil Sciences Society for the year 2016 soil of Estonia the bog soil was elected. After WRB these soils are known as Fibric Histosols. The area of bog soils forms 5.1% from whole Estonian soil cover and 21.7% from peat soils' (or Histosols) area. In overview their classification in Estonia, conversion of local soil names into WRB system, ecological conditions of their forming and functioning, hydro-physical and chemical properties, and distribution are treated. Besides that the bog soils' productivity, peculiarities of their bogging processes, importance for society, and their influence on local economy and environmental status are analysed as well. In second part of the overview the estimations on organic carbon stocks and assessments on annual organic carbon fluxes in peaty soil cover are discussed. In the final part and in conclusions the problems connected with environmentally sustainable use and protection of bog soils are treated.

© 2016 Akadeemiline Põllumajanduse Selts. Kõik õigused kaitstud. 2016 Estonian Academic Agricultural Society. All rights reserved.

Sissejuhatus

Nüüd juba kolmandat korda valis Eesti Mullateaduse Selts (EMTS) aasta mulla. Kui esimeseks, 2014 aasta mullaks, oli 'Eesti põllumehe hinnatuim muld' – leostunud muld ja 2015 aastamullaks 'õhuke muld Eesti rahvuskivil' – paepealne muld, siis aastamullaks 2016 häälletati EMTS poolt Eesti märgalade üks omapärased ja turvasmuldade hulgas enim tuntud rabamuld. Juba traditsiooniks saanud VI Eesti mullapäeval (4. detsembril 2015) tutvustati aasta 2016 mulda konverentsist osavõtjatele (http://pk.emu.ee/_userfiles/PKI/muld/VIMP/VIMP_KolliR_rabamuld_2015.pdf), kusjuures EMTS on välja andnud ka rabamulda tutvustava teaviku (http://pk.emu.ee/_userfiles/PKI/muld/Aasta_muld_2016_voldik_A4_web.pdf). Tähelepanuvääriiv on juhuslik kokkulangevus, et ÜRO poolt väljakuulutatud märgalade aastal 2016 on Eestis aastamullaks valitud 'turbalasundite kasvukihiks ja hoidjaks' olev – rabamuld.

Omapärase reljeefiga eri tüüpi Eesti rabamaastikud on moodustunud ja talitlevad käesoleval ajal tänu rabamulla ja temal kujunenud taimkatte tasakaalustunud vastastikusele toimele. Rabade puhul on ainete bioloogilise ringe täielikult isoleeritud ümbrisevate alade mineraalsest pinnakattest ja selles liikuvast toiteainete

rohkest põhja- ja/või pinnaveest. Looduslike rabade orgaanilise aine produktsiooniprotsessi sisenditeks on päikese energia kõrval atmosfääri kaudsed sajuveed ja mineraalsed ained. Rabaturbamulla tüseduse kasvades selle alumine osa eraldatakse (isoleeritakse) jätkjärgult aktiivsest talitlemisest, mille töttu seda osa turbalasundist tuleks käsitleda mitte kui mulda, vaid kui maavara.

Rabaökostüsteemi koos talitleva rabamullaga võib õigustalt vaadelda kui ühte meie ürglooduse sümbolitest. Teatavasti algas turvasmuldade rabastumine Kõrg-Eesti aladel ca 7000 ja Madal-Eesti aladel ca 6000 aastat tagasi (Allikvee, Ilomets, 1995). Tänu normaalselt talitlevatele rabamuldadele oleme rikkamat kõrgsoodele iseloomulike taimeliikide, nende koosluste ja taimestikule kaasneva elustiku poolest. Samas on nimetatud tuhandete aastate jooksul rabaökostüsteemide talitlemise tulemusena akumuleerunud märkimisväärsed kogused rabaturvast kui maavara (Raudsepp, 1946; Veber jt, 1961). Seega on rabamuldale levikualade suhtes üles kerkinud erinevad huvid. Kui looduskaitsse huviobjektiks on talitlevad rabaökostüsteemid kogu nende elustiku mitmekesisusega (liigirikkusega), siis majandust huvitab ennekõike rabaturvas. Et nimetatud kahe vastandliku huviga kaasneb veel ka terve rida

muid keskkonna hea seisundi ja ühiskondliku elu arenemisega seotud probleeme on selles vallas mõistlikud ühiskondlikud kokkulepped äärmiselt vajalikud. Taolised kokkulepped peaksid olema nii palju kui võimalik teaduspõhisid ja samas ka kõigi (asjaga seotud) huvigruppidel ettepanekuid arvestavad. Ülal-öeldust lähtudes peame oma ülesandeks selgitada antud töös veidi põhjalikumalt rabamulla rolli rabalaamade (rabaökosüsteemide) talitlemisest.

Eesti rabasid on aegade jooksul uuritud erinevatest aspektidest lähtuvalt. Sooteaduslikes (telmatoloogilistes) uurimustes on rabasid käsitletud kui teistest soodest eristuvat rabakompleksi oma väljakujunenud veeolude, taimestiku, loomsete organismide ja ladestunud turba koostisega ehk siis rabasid on käsitletud kui ökosüsteeme (Masing, 1984; Valk, 1988; Strack jt, 2008; Kõlli jt, 2012) ehk biogeotsönoose (Inisheva jt, 2011). Rohkesti leidub kirjandust rabade (geo)botaaniline käsitsluse ning klassifitseerimise kohta (Laasimer, 1965; Krall jt, 1980; Allikvee, Ilomets, 1995; Laasimer, Masing, 1995; Masing, 1997; Paal jt, 1999; Paal, 2005). Ka on rabad olnud vägagi olulised objektid maaistikuteaduslikes (Valk, 1988; Arold, 2005), aga eriti turbavaru kui maavara käsitlevates geoloogilistes uurimustes (Raudsepp, 1946; Veber jt, 1961; Orru, 1992, 1995; Orru, Orru, 2008). Kättesaadavad on lühilevelaated turbasooode teadusliku uurimise ajaloost ja rabade osast nende seas (Laasimer, 1965; Valk, 1988, 1995; Orru 1992 jt).

Mullateaduse seisukohalt on ehk kõige olulisem (uurimisobjekti ühilduvuse mõttes) jälgida neid uurimusi, mis on tehtud seoses metsakasvatuse arendamisega rabadel ning rabamulti mõjutava kuivendamise ja rekultiveerimisega (Valk, 1995; Lõhmus, 2006; Pikk, 2010). Suhteliselt vähe on siiski uurimusi, mis käsitlevad rabamuldasid kui ülejäänud turbalasunditest eraldi-seisvat moodustist (Jefimov, 1980; Valk, 1988; Kõlli jt, 2009a; Inisheva jt, 2011).

Materjal ja metoodika

Ülevaate tegemisel Eesti rabamuldadest oleme aluseks võtnud muldkeskse ja ökosüsteemse käsitsluse printsibid (Kõlli jt, 2009a, 2009b). Lühidalt öeldes tähdab see seda, et muldkatet (antud juhul turvasmuldkatet) käsitletakse vastastikutes suhetes teiste teda ümbrustevate ökosüsteemi koostisosadega (taimestik, loomastik jt), kusjuures peamiseks põhjuslikuks (determineerivaks) teguriks ökosüsteemi kõigi komponendi arengus peetakse mulda või muldkatet. Loodusliku turvasmullana (turvasmuldkattena) käsitleme vaid seda turbalasundi pindmist kihti, mis on märgatavais ökoloogilistes seostes ennekõike loodusliku taimkattega, kuid samas ka taimekooslustega seostunud elustiku ja kõigi teiste ökosüsteemi komponentidega. Ökoloogiliselt talitlevast turvasmullast (s.o turbasoo pindmises kihist) sügavamale jäävat turbalasundit käsitleme aga kui maavara. Samas võib ka see, muldkatkest allpool asuv turvas, teatud tingimustes saada turvasmullaks ja seda peamiselt kahel viisil. Esiteks siis, kui turvasmuldkate pinnalt degraderub (mineraliseerub) või tiheneb

ning turvasmuldkattena hakkavad talitlema turbalasundi sügavamal asuvad kihid. Teiseks siis, kui turvas kaevandatakse ja teisaldamise käudu moodustatakse tehislak turvasmuld või substraat taimede kasvuks.

Pikaajalise mulla-uurimise kogemuste järgi võiks turvasmuldkatte kokkuleppeliseks tüseduseks Eesti mullastikulis-ökolooligilistes tingimustes võtta 50 cm (Kõlli jt, 2012). Analoogselt mineraalse muldkattega nimetatakse ka turvasmuldkatte pindmist (0–30 cm) osa pealismullaks ja alumist (30–50 cm) osa alusmullaks. Pealismuld (epipedon, acrotelm) eristub alumisest osast taim-muld vastastikuste suhete intensiivsuse ja parema õhustatuse poolest ning just selles pealmises kihis toimuvast talitlemisest sõltub valdaval määral kogu ökosüsteemi edasine areng.

Teatavasti sõltuvad eri liiki muldade muldkatete tüsedused suurel määral klimaatilisest võöndist. Eestist lõunapoole minnes mineraalsete muldkatete tüsedused suurennevad, põhja poole vähenevad. Nii on see ka turvasmuldkatetega ehk nende tüseduse kokkuleppelised piirid on võöndite (ja riikide) kaupa erinevad ja erinevad on ka turvasmuldaadade määragud. Kui näiteks meil loetakse turvasmuldaadeks neid muldasid, millede turbahorisondi tüsedus on üle 30 cm, siis USA muldade klassifikatsiooni järgi peab turvasmulla turbahorisondi tüsedus olema üle 40 cm.

Eesti muldade klassifikatsiooni (EMK) järgi jaotatakse rabamullad turbakihi tüseduse alusel kolmeksi liigiks: väga õhukesed (30–50 cm), õhukesed (50–100 cm) ja sügavad (>100 cm) rabamullad. Nende erimiteks jaotamine tehakse aga pindmisse 40 cm turbakihi kolmeastmelise lagunemise skaala järgi, kusjuures raba-turvasmullad on tavaselt halvasti (tähisstatud alaindeks 1-ga) ning vähemal määral keskmiselt (alaindeks 2) lagunenud. Turba lagunemisastme detailsemal määramisel kasutatakse Posti 10 astmelist humifitseerumise (H1–10) skaalat (Szajdak jt, 2011), milles sõna 'lagunemise' asemel on kasutusel sõna 'humifitseerumise' aste. Nii on EMK järgi määratud halvasti lagunenud turvasmullaerimi humifitseerumise astmeeks Posti skaala järgi H1–3 ja keskmiselt lagunenud turbal – H4–6 (Astover jt, 2012).

Ülevaates esitatud rabamuldaade omadused pärinevad autori poolt varem tehtud kokkuvõtetest ja loengumerjalidest (EMDK, 2008; Astover jt, 2012). Andmed rabamuldaade süsinikuvarude kohta pärinevad meie varasematest uurimustest (Kõlli jt, 2009a, 2009b). Hinangul andmisel süsiniku kääbe kohta on aluseks olnud rabaökosüsteemide taimkatte produktiivsus (Kõlli, 1991) ja rabaturvaste juurdekasv, kusjuures fütomassi keskmiseks C sisalduseks on võetud 45% ja turbal 50%.

Praegusel ajal üha globaliseeruvas teaduslikus uuringustöös on mõödapääsmatuks osutunud unifitseeritud mullaklassifikatsioonide väljatöötamine ja kasutamine. Sellest lähtuvalt tutvustame ka antud töös rõöbiti rahvusliku mullaklassifikatsiooniga (EMK) hoopiski laialdasemalt kasutatavat WRB (World Reference Basis for Soil Resources) klassifikatsioonisüsteemi rabamulda-

dega seonduva osas (IUSS..., 2015). Rabamulla käsitlemisel rahvusvahelisel tasemel peaksime ennekõike teadma järgmisi rabamuldi iseloomustavaid tunnussooni ja nende tähendusi nagu: *histic* – turbast koosnev, *fibric* – halvasti lagunenud turvas, *ombric* – sademeveelise toitumisega (turvas)muld, *dystric* – madala küllastusastmega ja toiteelementide poolest vaene muld, *floatic* – õõtsiku turvas ja *drainic* – kuivendussüsteemiga muld. Peale selle on veel mõned tunnussõnad, mida võiks vaja minna rabamuldade ja turbainese täpsemal iseloomustamisel. Nendeks on: *hemic* – keskmiselt lagunenud turvas; *hyperorganic* – turvasmuld tüsedusega üle 2 meetri, *lignic* – rikas puuturba poolest, *transportic* – teisaldatud muld ja *relocatic* – kohapeal segatud muld.

Eesti rabamuldade jaotamine, talitlemine, omadused ja levik

Iseloomustus, jaotamine ja nimetused

Rabamuld on sadevee-toiteline (*ombric*) alaliselt liigisne üle 30 cm tüsedusest lagunemata või vähelagunenud rabaturbast (*fibric*) koosnev tugevasti happeline looduslikus seisundis olev turvasmuld (foto 1). Kuna kõrgsoo toiteelementide poolest vaest (*dystric*) rabamulta ei mõjusta nüüdisaegsed geoloogilised protsessid on tegu normaalsett arenenud turvasmullaga. Tihedais ökoloogilistes seostes rabamullale sobitunud loodusliku taimkattega talitleb vaid kõrgsoo turbastundi pindmine kiht, mille töttu käitleme Eesti tingimustes turvasmuldkattena (rabamullana) üksnes raba pindmist 50 cm paksust turbakihti.

EMK järgi eristatakse kolm rabamulla liiki (sulgudes mulla kood): *väga õhukedes* (*R'*), *õhukedes* (*R''*) ja *sügavad rabamullad* (*R'''*). Sügavad rabamullad on valdavalt tekkinud madal- ja siirdesoomuldade rabastumisel st üleminnekul sega-toitega veerežiimilt toitainete vaesele sadeveega toitumisele, millega on kaasnenud vähelagunenud happenise turba ladestumine turbalasundi pinnale. Suurem osa (>96%) rabamuldadest paikneb tüsedal (>1 m) turbalasundil. Nende kõrval leidub ka mineraalmaa soostumisel ehk turvastunud leedemuldale rabastumisel tekkinud õhukese (30–100 cm) turbakihiiga rabamuldasid, kus turbakiht on kasvanud üle 30 cm vähelagunenud toitainete vaese happenise turba arvel.

Pinnalt turbakihi kasvades surevad püsivalt õhuvaesse ja happenisse kihti jää nud juurestikuga puud ning puhmas- ja rohurinde taimed rabamullal välja ning ka nendest moodustub turvas. Turba tootmise tagajärvel sügava turbakihiiga rabamullal tekib normaalsete arenguga rabamulla asemele anormaalsete muldade hulka kuuluv tehismuld – *eemaldatud rabamuld* (*T×R*). Üheks omapärasemaks rabamuldade hulka kuuluvaks mullaks on õõtsik *rabamuld* (*Rō*). Seda mulda iseloomustab vähemalt 30 cm paksune halvasti lagunenud turbakiht, mille all on toiteainete vaene rabalauka vesi. Eesti muldade kaardistamisühikute nimekirjas on

kokku 22 turvasmulla liiki, millest viis eelpoolnimetatut kuulub rabamuldade hulka.

Maa-ameti geoportaali kaardiserveris on olemas detailne Eesti mullakaart mõõtkavas 1 : 10 000 (Maa-ameti..., 2016). Selle kaardi lugemiseks on vaja teada mullaliikide ja erimite koode (Maa-amet, 2001). Rabamulla koodiks on „*R*“ ning kolmeks turbakihi tüseduse järgi eristatud rabamulla liigiks *R'*, *R''* ja *R'''*. Turba lagunemisastme järgi määratud erimitena võivad mullakaardil esineda peamiselt (>94%) *R'*, *R''* ja *R'''*, s.o halvasti lagunenud (lagunemise aste <20%) rabaturvasmulla erimid. Hoopiski harvem võib esineda keskmiselt lagunenud rabamulla erimeid (*R'_2*, *R''_2* ja *R'''_2*) ja nende erinevaid kombinatsioone.

Rabamuldade kuivendamisel pindmiste turbakihtide lagunemine intensiivistub mitmekordsest ja vähelagunenud pindmisest turbakihist kujuneb vähem kui 10 aasta jooksul keskmiselt lagunenud ja edaspidi hästilagunenud (kõdu)turba kiht. Taolist pealt tugevamini lagunenud turbakihiiga (turvas)mulda ei ole enam õige nimetada rabamullaks, sest tegemist on hoopiski rabamulla degradeerumise tulemusel tekkinud siirdesoo mullaga. Vahemärkusena olgu öeldud, et siirde- ehk üleminkusoomuldasid on Eesti muldkattes eristatud kaks alaliiki. Üks alaliik nendest (raba ilmega siirdesoomulds, kaardil SR) on tekkinud madaloo rabastumisel st vähelagunenud turbasamblaturba akumuleerimisel pindmisest kihti. Teine alaliik (madalsoo ilmega siirdesoomulds, SM) on tekkinud rabalaama kuivendamisest põhjustatud rabamulla degradeerumise tagajärvel. Need kaks siirdesoo-turvasmulla alaliiki on äratuntavad ka nende lõimise (antud juhul turba) valemi järgi. Esimesel juhul on pindmiseks kihiks halvasti lagunenud (t_1) vähemalt >10 cm-ne turbakiht, millele järgnevad, kas keskmiselt (t_2) ja/või hästilagunenud (t_3) turbakihid. Teisel juhul on pindmise kihi turvas paremini lagunenud (t_2 või t_3) vörreldest tema all asuvaga (vastavalt t_1 ja t_2).

WRB järgi on rabamulla põhimetuseks *Fibric Histosol*. Loodusliku rabamulla olemust saab täpsustada tunnussõnadega *ombric* ja/või *dystric*. Piisava täpsusega rabamulla nimetus WRB järgi olekski *Ombric Fibric Histosol*, sest *ombric* tähendab ühtlasi ka seda, et see muld on *dystric* iseloomuga. Õõtsik rabamulla nimetuseks on aga *Floatic Fibric Histosol*. Kui aga on vaja kasutada veel teisi tunnussõnu, siis need pannakse mulla nimetusse järelliitena (välja arvatud *hemic* kui eesliide), kusjuures tähtsamad tunnussõnad omadustest lähtuvalt on põhimetusele lähemal. Niisiis kui rabamulla turba tüsedus on üle 2 m, siis on ta *Ombric Fibric Histosol (Hyperorganic)*, ja kui veel ka kuivendatud, siis *Ombric Fibric Histosol (Hyperorganic, Drainic)*. Seega võib sulgudes olla vajaduse korral mitu tunnussõna, mis eraldatakse üksteisest komaga. Igal tunnussõnal on olemas kahest või kolmest väikestest tähtedest koosnev kood, kusjuures põhi- (ehk referents-) muld tähistatakse koodiga, milles on kaks suurt tähte (IUSS..., 2015). Nii on näiteks ülalpool viimasena antud mullanimetuse koodiks kaardil või tabelites *HS-fi.om-jo.dr*.



Foto 1. Poole meetri paksune rabaturvasmulla kiht, mille alumine osa on ca 10 cm ulatuses rabavee tasemest allpool. Autor: Tarmo Kõlli

Photo 1. Bog peat soil cover with thickness of half meter, from which lower part approximately 10 cm is situated below bog water level

Eesti turvasmuldade klassifikatsiooni otstarbekohasuse hinnang ja selle adekvaatsuse analüüs WRB süsteemi suhtes näitas, et lokaalse klassifikatsiooni vajalikuks küljeks on turvasmuldade jaotamine kolmeks liigiks turbakihi tüseduse järgi. Teatavasti jagati mullastiku kaardistamise algaastatel Eesti turvasmullad kaheks: õhukesed (turvast 30–100 cm) ja sügavad (turvast

>100 cm). Hiljem kui selgus, et õhukesed turvasmullad on väga tundlikud nii kuivendamise kui valede majandamise võtete suhtes, jagati õhukesed turvasmullad omakorda kaheks: väga õhukesed (30–50 cm) ja õhukesed (50–100 cm). Taoline täpsustatud ressursi määramang mullakaartidel võimaldab nüüd turvasmuldasid

otstarbekamalt jaotada nende ökoloogiliselt põhjendatud majandamiseks ja kaitseks.

Kasutades WRB muldade omadusi kajastavaid tunnusõnu on võimalik iseloomustada rahvusvaheliselt arusaadaval viisil kõiki Eesti turvamuldade (sh rabamuldade) taksoneid, kujuures täiendavaid selgitusi vajavad vaid turba tüsedused. Samas tuleks mullataksoneite kohta moodustatud andmebaasid eelistatult säilitada lokaalsete klassifikatsiooni alusel. Lisaks sellele, et lokaalne klassifikatsioon on detailsem, on WRB süsteemi puuduseks veel ka see, et ta on käesoleval ajal kiiresti muutuvas arengufaasis tema ülesehituses pidevalt tehtavate täienduste töttu. Seega ei tohiks mingil juhul irduda algsest kohaliku klassifikatsiooni järgi tehtud määramustest.

Tekke ja talitllemise ökoloogilised tingimused

Rabamulla turbalasund on kujunenud keemiliste elementide poolest vaese (*ombrotroofse*) sajuvee mõjul. Looduslike rabamuldade pealismuld (*epipedon*) on valdavalt toiteelementide poolest vaene (*oligotroofne*) halvasti lagunenud tugevasti happeeline turvas, mis sügavatel rabamuldadel ulatub ka profiili alumisse ossa. Keskmiselt ja hästi lagunenud turbaga rabamuldade osakaal on väga väike (vastavalt 5% ja <1%).

Rabataimestiku ilme järgi eristatakse rabametsad ning puis- ja lagerabad. Kõige rohkem leidub Eestis puisrabisid (45–50%), millele järgnevad rabametsad (26–34%) ja lagerabad (21–24%), kuid nõmmrabad hõlmavad vaid <1% rabamuldade kogupindalast (Paal jt, 1999). Metsastunud rabamuldadel kasvavad peamiselt hõredad männikud, kuid esineb ka sookasega männikuid (Lõhmus, 2006). Nii rabametsades, kui ka puisrabad ja lagerabade rabapeenardel on hästi väljakujuenud puhmarinne, mille valdavateks liikideks võivad olla sookail, sinikas, hanevits, kanarbik, kukemari, küüvits, vaevakask, jõhvikas (harilik, väike) erinevates vahekordades (fotod 2, 3 ja 4).

Suurima massi ja ka aasta juurdekasvu annab rabamulla alustaimestikus siiski samblarinne. Turbasammaldest on esindatud pruun (*Sphagnum fuscum*), lillakas (*S. magellanicum*), punane (*S. rubellum*), kitsalehine (*S. angustifolium*), balti (*S. balticum*), teravalehine (*S. acutifolium*), pudev (*S. cuspidatum*) turbasammal ja veel mõned teised liigid (fotod 5 ja 6). Kahe esimese (meie rabades domineerivate turbasammalde) liigimetused on kasutusele võetud ka turvaste klassifitseerimisel (on eristatud vastavalt fuskumi ja magellaankumi turbad). Teistest sammaldest võib rabades leida raba-karusammalt, soovildikut, harilikku palusammalt jt Rohurinde taimedest on rabamullal levinud tupp-villpea, jänesvillad (raba, alpi), rabamurakas, valge nokk-hein, rabakas, huulheinad (ümara- ja ahtalehine), tarnad (muda-, pudel-) jt (foto 7). Ka lagerabade domineerivateks liikideks on turbasamblad, millele lisandub erinevates vahekordades kanarbikku, sookailu, jänesvilla, tupp-villpead jt



Foto 2. Rabamaastik: Endla puis-peenra-älveraba. Autor: Jaanus Paal
Photo 2. Bog landscape: Endla treed-ridge-hollow bog



Foto 3. Rabamaastik: Suru raba, vaade tornist. Autor: Tarmo Kõlli
Photo 3. Bog landscape: Suru bog, view of the tower



Foto 4. Jõhvikarikas mosaiik Tudu Järvesoo rabas. Autor: Tarmo Kõlli
Photo 4. Rich in cranberry mosaic of plant cover in bog of Tudu Järvesoo



Foto 5. Pruun turbasammal. Autor: Jaanus Paal
Photo 5. Sphagnum fuscum



Foto 6. Lillakas turbasammal. Autor: Jaanus Paal
Photo 6. *Sphagnum magellanicum*



Foto 7. Ümaralehine huulhein. Autor: Tarmo Kõlli
Photo 7. *Drosera rotundifolia*

Rabades kasvavate taimeliikide arvukus erinevates rinnetes (puu-, puhma-, rohu- ja samblarinne) on võrdlemisi tagasihoidlik. Samas paistavad rabad silma oma taim-muld komplekside väga rikkaliku mosaiksuse poolest. Paal jt (1999) järgi on Eesti rabade mikromaastiku ja taimekoosluste osisteks mätta-, peenra-, älve- ja laukarabad, mis võivad rabalaamadel moodustada väga erinevaid rabakomplekse. Sügavaturbaliste rabade ise-loomustamisel taim-muld suhete aspektist antakse igale konkreetsele rabale olemasolevatele tingimustele vastav mono- või liitkompleksi nimetus, näiteks mättaraba, puis-mätta-älveraba, peenra-älv-laukaraba jms. Sügavatest rabamuldadest erinev aga samas ka tühtlasem taimkate moodustub õhukese turbaga nõmmrabadel. Enam levivaks taimkatteks nendel muldadel on kanarbiku- või sookailumännikud erinevates vahekordades turbasammaldega.

Rabamuldade bioloogilist aktiivsust pärsib mullapinnani ulatuva alalise liigniiskuse ja redudeerumistingimuste kõrval ka suur happesus. Pideva liigniiskuse põhjustajaks on ühelt poolt turbasammalde anatoomilise ülesehitus. Nende kudedes sisalduvad erilised rakud,

mis imavad endasse kättesaadavat vett kuni küllastumi-seni, võimaldades taimel seda tarbida veevaesel perioodil. Teiselt poolt hoitakse vett epipedonis kinni ka turbasammalde poolt moodustunud käsnana talitleva ti-heda sammalde võrgustiku abil. Rabamulla hapestumist põhjustab aga ainevahetusprosess turbasambla ja teda ümbritseva veekeskkonna vahel, mille käigus tai-messe neeldunud toiteelementide vahetusena erituvad rabavette vesinikoonid. Kõige selle töttu ei allu turba pinnale langenud värske vare ega ka turbasammalde alumine surnud osa intensiivsele mineraliseerumisele, vaid ladestuvad turbana.

Puhmarinde juurestik hõlmab rabamullal vaid õhuke-se ajuti paremini õhustatud pindmise turbakihi. Et turbasammal laguneb aeglasemalt kui teised rabataimed, on ka turbasambla jäänuste osakaal rabaturbas suurem vörreledes teiste rabataimedega. Nii näiteks laguneb suhteliselt kiiresti valdava osa rohurinde taimeliikide vare. Keskmiselt lagunevateks võib pidada tarnu, oksi ja okkaid, millistest jääb lagunemata *ca* 20–30%. Lagunemisele vastupidavateks on aga turbasamblad ja tupp-villpea maa-alused osad, millistest võib turbana säilida >80% kogumassis. Turbasammalde aeglasem lagunemine on tingitud ka nende koosseisus elevatest fenoolsetest ühenditest, mis on hästi vastupidavad iga-sugustele hüdrolüüsiprotsessidele. Tulenevalt rabamul-dades toimuva arenguprotsessi seaduspärasustest on rabamuldade valdavaks koostisosaks kujunenud fus-kumi-, magellaanikumi-, kanarbiku-, villpea- ja männi-halvasti lagunenud turbad (Masing, 1984; Valk, 1988; Allikvee, Ilomets, 1995).

Omadused ja talitlemine

Halvasti lagunenud rabaturvasmulla pindmise 10–20 cm tüseduse kihi lasuvustihedus on väga väike ($0,02\text{--}0,04 \text{ Mg m}^{-3}$). Alumistes rabamulla kihtides on lasuvustihedus valdavalt piirides $0,05\text{--}0,06 \text{ Mg m}^{-3}$. Seega värskelt moodustunud rabaturvas (lasuvustihe-dusega $<0,02 \text{ Mg m}^{-3}$) tiheneb oma tasakaalulise tihe-duseni (*ca* $0,06 \text{ Mg m}^{-3}$) 50 cm turvasmuldkatte kesk-mises ja alumises osas. Rabaturba tahke osa tihedus va-riieerub vahemikus $1,5\text{--}1,6 \text{ Mg m}^{-3}$ ning tema üldine poorsus on suur (95–98%). Rabamulla eripind on ena-masti piirides $300\text{--}450 \text{ m}^2 \text{ g}^{-1}$.

Kuivendamise korral intensiivistub rabamulla turba lagunemine mitmekordsest. Kuivendatud rabamuld muutub ajapikku kõduturbaks ja ka tihestub olulisel määral. Kõige selle töttu turba lasuvustihedus võib kuni 10 kordsest suureneda, ulatudes $>0,20 \text{ Mg m}^{-3}$.

Rabamulla redokspotentsiaal on kõrgem peaklasmullas (*ca* 480 mV) vörreledes alusmullaga (*ca* 380 mV). Mik-roobne biomass on rabamullas piirides $9\text{--}13 \text{ mg g}^{-1}$, kus-juures valdava osa sellest (80–90%) moodustab seente mütseel. Bakterite biomass on piirides 7–13%, seente spoorige oma 2–11% ja aktinomütseete on vaid alla <1% (Inisheva jt, 2011).

Rabamuldade turba üldine tuhasus on valdavalt alla 3% (1,5–2,5) ja nad on väga tugevasti happelised: pH_{KCl} on 2,5–3,0, hüdrolüütiline happesus $60\text{--}110 \text{ cmol kg}^{-1}$ ja liikuva alumiiniumi sisaldus

$>400 \text{ mg kg}^{-1}$. Rabamuldade neeldunud aluste ja üldlämmastiku sisaldus on väike (vastavalt $\text{ca } 20\text{--}40 \text{ cmol kg}^{-1}$ ja $8\text{--}12 \text{ g kg}^{-1}$) ning küllastusaste väga madal (10–30%), kuid suhe C : N on lai (>50).

Turba lagunemisel ehk humifitseerumisel suurennevad temas C ja N sisaldused ning vähenevad O ja H sisaldused. Suurima osa vähelagunenud turvasmullast moodustavad kergesti hüdrolüüsuvad komponendid (tselluloos, hemitselluloos) ja lahustumatu jääl. Oluline osa kuulub ka huumushapetele ($\text{ca } 10\text{--}30\%$). Väikese osa moodustavad vees lahustuvad ühendid ($\text{ca } 1\text{--}3\%$) ja bittuumid ($<3\%$).

Rabavee hapnikusisaldus on alusmullas väga madal $<0,2 \text{ mg l}^{-1}$, pealismullas on see suurem $\text{ca } 6 \text{ mg l}^{-1}$. Rabavesi on vaene ka lämmastiku poolt sisaldades seda $0,75\text{--}1,0 \text{ mg l}^{-1}$, millest valdava osa moodustab orgaanilise aine hõljumis olev lämmastik. Suhteliselt rikkam on rabavesi vees lahustunud süsiniku poolt ($45\text{--}110 \text{ mg l}^{-1}$), millest $50\text{--}60 \text{ mg l}^{-1}$ moodustavad fulvohapped ja $5\text{--}25 \text{ mg l}^{-1}$, huumushapped. Keemiline hapnikutarve on piirides $60\text{--}225 \text{ mg l}^{-1}$ liitri kohta.

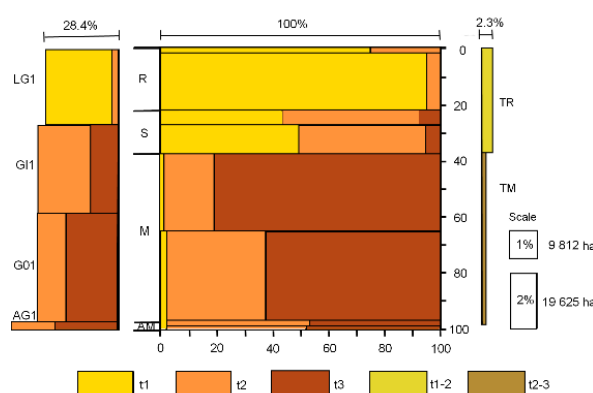
Looduslikud rabamullad on oma alalise liigniiskuse tõttu (võivad maksimaalselt mahutada 15–20 korda rohkem vett vörreldest turba kuivmassiga) külmad ja aeglasesti soojenevad. Soojuse levikut rabamulda takistab ka poorne turbakiht. Liigniiskuse ja vähese soojuse tõttu rabamulla turvas säilib praktiliselt lagunemata kujul või siis see laguneb vähasel määral vaid kuival ja soojal suveperioodil.

Levik ja teenused ühiskonnale

Rabamullad moodustavad Eesti muldkatest 5,1% ja turvasmuldadest 21,7% (joonis 1). Suurimad rabamuldade levikualad on Pärnu madalik, Alutaguse, Võrtsjärve nõgu ja Peipsi-äärsed madalikud (joonis 2). Rabade osakaal on suur (üle 20%) Muraka, Puhatu, Vööla, Emajõe Suursoo ja Palupõhja agro-mullastikulistes mikrorajoonides ning maakondadest (üle 10%) Pärnumaal ja Ida-Virumaal (joonis 3). Suuremad tüseda turbakihiga rabamullamassiivid piirnevad oma leviku äärealadel siirde- ja madalsoomuldadega, kuid väiksemad (õhukesed rabamullad) – turvastunud leedemuldagena.

Talitlevate rabamuldade ühiskonnale osutatavad teenused (hüved) võivad olla oma loomult ökoloogilised, majanduslikud, teaduslikud, rekreatiivsed, esteetilised ja muud taolised. Rabad ja nende muldkate 1) rikastab piirkondlikku looduslikku mitmekesisust kõrgsoole ehk rabale omaste taimekoosluste ja nendega seotud elustiku pooltest; 2) mitmekesisib piirkonna maaistikku omapärase ürgloodusliku märgalaga, mida saab kasutada looduses puhkamise ja looduse tundmaõppimise eesmärgil; 3) on atmosfääärse päritoluga (raba)vee reservuaariks, mis võib kõrgsoode puhul eksisteerida ka positiivse pinnavormi kujul; 4) on rabaturbalaamasid kaitsvaks ja juurdekasvu genereerivaks kihiks; 5) eksisteerivad territooriumina, mille arvel saab vajaduse korral laiendada kõrgeproduktiivsete kultuurökosüsteemide pinda; 6) on rahva poolt hinnatud marjade (mura-

kas, jõhvika) ja ravimtaimedede looduslikeks kasvukohtaks; 7) on taimkatte ajaloolise arengu arhiiviks tänu turbas akumuleerunud tolmuterade ja radioaktiivse süsiniku andmepangale ja 8) võimaldavad vajaduse tekkel kasutada turvasmuldkattes ja tema all olevaid turbavarusid erisugusel majanduslikul otstarbel (alusturbana, aianduse kasvusubstraadina ning soojusenergia tootmise ja keemiatööstuse toorainena).



Joonis 1. Rabamuldade osatähtsus teiste Eesti turvasmuldale (100% keskmise ruut) ning selle võrdlus tehisharvas- (tulp paremal) ja turvastunud (tulp vasakul) muldadega

Mullad: R – raba-, S – siirdesoo-, M – madalsoo-, AM – lammi-madalsoo-, TR – tehish-raba-, TM – tehish- madalsoo-, LG1 – leede-turvastunud, GI1 – küllastumata turvastunud, Go1 – küllastunud turvastunud, AG1 – lammi-turvastunud muld

Turba (t) lagunemise astmed: t_1 – halvasti, t_2 – keskmiselt ja t_3 – hästilagunenud turvas

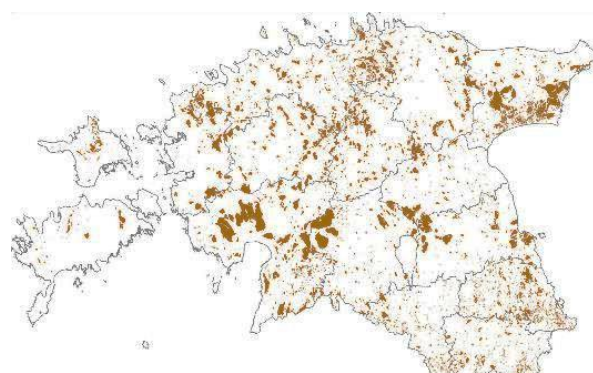
Turvasmuldale jaotus kaheks turba tüseduse järgi: Ülemine osa – väga õhukesed ja õhukesed (turba tüsedus $30\text{--}100 \text{ cm}$) turvasmullad (R' ja R'', S' ja S'', M' ja M'' ning AM' ja AM'') ja alumine osa sügavad (turba tüsedus $>100 \text{ cm}$) turvasmullad (R''', S''', M''' ja AM''')

Figure 1. Role of bog soils among other peat soils of Estonia (square in the middle 100%) as compared with associated them peaty soils (column on left side) and quarry peat soils (on right side)

Soils: R – bog, S – transitional bog, M – fen, AM – alluvial-fen, TR – high-bog quarry, TM – fen quarry, LG1 – peaty gley-podzols, GI1 – peaty dystric gley, Go1 – peaty eutric gley, and AG1 – peaty alluvial soils

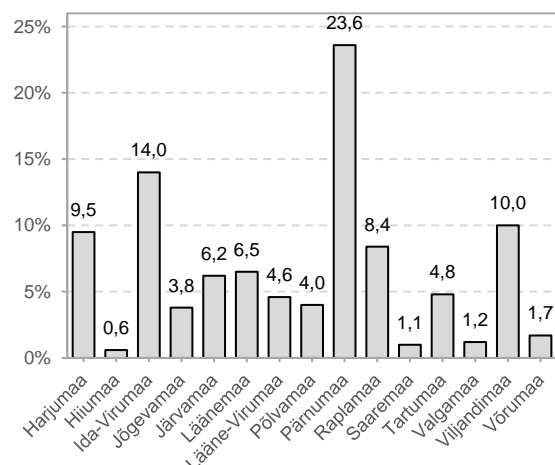
Degree of peat (t) decomposition: t_1 – slightly, t_2 – moderately and t_3 – well decomposed

Peat soils groups by peat thickness: 1) upper part thickness $30\text{--}100 \text{ cm}$ (R', R'', S', S'', M', M'', AM' and AM'') and 2) lower part $>100 \text{ cm}$ (R''', S''', M''' ja AM'''')



Joonis 2. Rabamulla levikualad. Koostanud Priit Penu ja Tambet Kikas

Figure 2. Distribution of bog soils. Compiled by Priit Penu and Tambet Kikas



Joonis 3. Rabamuldade levik Eesti maakondades. Koostanud Priit Penu ja Tambet Kikas.

Figure 3. Distribution of bog soils in Estonian Counties. Compiled by Priit Penu and Tambet Kikas.

Arutelu rabamuldade süsiniku käibe ja kaitse kohta

Rabamuldade orgaanilise süsiniku varud ja käive
Meie kalkulatsioonide järgi akumuleerib üks hektar raba pindmist 30 cm tüsedust turbakihti keskmiselt $43,5 \pm 3,5$ Mg ja 50 cm kiht $139,4 \pm 8,7$ Mg orgaanilist süsinikku (Kölli jt, 2009b). Kokku on Eestimaa poole-meetrise tüsedusega rabamuldkattesse akumuleerunud $33,7 \pm 2,1$ Tg orgaanilist süsinikku, millest $10,5 \pm 0,8$ Tg paikneb pindmises 30 cm tüseduses epipedoni kihis. Eestimaa poolemeetrise turvasmuldkatte mass (kokku 543,7 Tg) moodustab ca 22,9% kogu Eesti turbavarust, mis on Orru (1992) järgi 2,37 Pg (Kölli jt, 2009a).

Looduslike rabamuldade produktiivsus on siiski äär-miselt madal. Rabametsade valdav boniteet Va tähen-dab minimaalset kogust männi tüveputtu (alla 80–100 tihumeetri hektari kohta) ja selle aastajuurdekasvu (1,6–2,1 tm ha kohta; Etverk, 1980). Kui võrrelda seda meie parimate ja keskmise produktiivsusega metsaökösüsteemidega, siis on see kordades (vastavalt ca 5 ja 3 korda) väiksem. Samas võib seoses rabastumise intensiivistumisega puurinde juurestik sattuda rabamulla anaeroobsesse turbakihti, mille töttu puud surevad välja, varisevad turbasse ja nendest moodustub ajapikkus kasvukohale akumuleeruv puu-(männi-)turvas. Nii võib rabametsa asemele moodustuda puis- või isegi la-geraba.

Kuivõrd rabastumise edenemisega väheneb puurinde (puidu-) roll rabamulla kogu produktiivsus, siis kasu-tame nende muldade produktiivsuse analüüsил mõistet aasta fütöproduktiivsus (AFP). AFP, mida väljendata-kse absoluutkuiva fütomassina pindalaühiku kohta ($Mg\ ha^{-1}\ a^{-1}$, $g\ m^{-2}\ a^{-1}$), kätkeb endas peale puurinde tü-vede, võrade ja maa-aluse osa aasta produktiivsuse ka sambla, rohu- ja puhmarinde AFP (Kölli, 1991). Rabamuldade AFP on suhteliselt stabiilne näitaja, sest teda moodustavad erinevate rinnete AFP komponeerivad vastastikku üksteist.

Looduslikus olekus rabametsa puurinde (täiusega 0,6–0,7) AFP ulatub piiridesse $1,6\text{--}1,9\ Mg\ ha^{-1}\ a^{-1}$, mil-lest tüvede puidule langeb ca 54%, okstele 15%, juur-tele koos kändudega 12%, okastele 12% ja puukoorele 7%. Puisrabade puurinde AFP ei ületa tavaliselt $0,5\text{--}0,7\ Mg\ ha^{-1}\ a^{-1}$ kohta. Mida väiksem puurinde roll seda suurem on nii ökosüsteemi kogu fütomassi kui ka selle AFP osas mosaiiksel alustaimestikul. Suurima AFP-ga raba alustaimestiku hulgas on samblarinne, mille keskmine AFP ulatub meie rabamuldadel piiridesse $0,9\text{--}1,2\ Mg\ ha^{-1}\ a^{-1}$. Kosykh'i ja Naumovi andmetel (2012) ulatub Eesti rabaökösüsteemidega ekvivalentsetes tingimustes kasvanud rabamulla *S. fuscum* AFP isegi piiri-desse $2,5$ kuni $3,5\ Mg\ kuivmassi\ ha^{-1}\ a^{-1}$. Puhmarinde AFP on tunduvalt tagasihoidlikum (keskmiselt $0,20\text{--}0,40\ Mg\ ha^{-1}\ a^{-1}$), mistõttu jäävad nad olelusvõitluses alla turbasammaldele. Rohurinde osa rabade AFP ko-guhulgas on keskmisena väga väike ($0,1\text{--}0,2\ Mg\ ha^{-1}\ a^{-1}$), välja arvatud muidugi juhtudel, kui on tegemist hästi arenenud rohurindega. Taolist olukorda esineb põhili-selt siiski vaid üleminekualadel rabamuldadelt siirde-soo muldadele.

Üldistatult saab öelda, et meie rabamuldade AFP väl-jendatuna kuivmassina on $2,0\text{--}3,5\ Mg\ ha^{-1}\ a^{-1}$ ning seotud süsiniku alusel veidi alla poole sellest ($0,9\text{--}1,6\ Mg\ C\ ha^{-1}\ a^{-1}$). Suurema produktiivsusega on puis-rabad, väiksema juurdekasvuga aga lagerabad. Lääne-Siberi rabade vastavad näitajad varieeruvad ligikaud-selt samades piirides (vastavalt kuivmassi $2,1\text{--}3,4$ ja or-gaanilist süsinikku $1,0\text{--}1,6\ Mg\ ha^{-1}\ a^{-1}$; Inisheva jt, 2011). Võrreldes rabamuldade AFP meie parimate mi-neraalmuldadega on rabamuldade produktiivsus ca 5 korda väiksem ja võrreldes keskmise produktiivsusega muldadega üle kolme korra väiksem.

AFP on ainukeseks materiaalseks aluseks uue turbakihi tekkele, sest atmosfääri kaudne mineraalsete ainete sissetulek rabaökösüsteemi aineringesse on puhtas loodus es minimaalne. Looduslikult talitleva rabamulla paljuastane keskmise turba juurdekasv oleneb kahest teineteisele vastandlikust protsessist, milleks on ühelt poolt AFP ja sellest moodustuva varise voog kasvu-koha turbasse, ja teiselt, värskे varise ja eelmistel aas-tatel moodustunud veel mitte stabiliseerunud turba la-gunemise määär. Uue turba akumuleerumist saab väljendada mitmel erineval moel, kas lähtuvalt turba massist, turbas sisalduva süsiniku massist või hoopiski tüseduse juurdekasvuna millimeetrites aasta kohta. Turba juur-dekasvud antakse tildreeglina aasta, kuid massi juurdekasvud veel ka pindalaühiku (ha, m^2) kohta. Turba juur-dekasvu hindamise teeb keerukaks juurdekasvude suur varieerumine, mis on toimunud, ühelt poolt, geoloogi-lises ajas sõltuvuses klimaatiliste tingimuste muutumi-sega. Teiselt poolt on täheldatavad selged varieeruvu-sed ka nüüdisajal, nii seoses rabapinna mikroreljeefi ja sellega kohastunud rabataimkatte mosaiiksusega, kui ka aastast aastasse muutuvate meteoroloogiliste tingi-mustega. Kui rabataimkatte vegetatsiooniperioodi pro-duktiivsuse dünaamika on aastate jooksul suhteliselt ühetaoline, siis raba pealmises kihis lagunemises on sel-

lest tunduvalt suuremad varieeruvused. Kui produktsooni protsess saab igal aastal oma alguse soojalaine tulekuga turbapinnal olevasse taimkattesse, siis lagune-misprotsess on ettemääramatum, kuna ta on seotud nii soojuse kui õhurežiimide õigete vahekordade saabumisega 0–7 cm turbakihti. Võttes arvesse eelpool toodud asjaolusid oleks rabamuldade iseloomustamiseks õigem kasutada pikemate perioodide kohta arvutatud keskmisi näitajaid. Ka tasub mellees pidada tõdemust, et turba akumulatsioon sõltub ennekõike turba lagunemisest, mitte aga niivõrd uue varise juurdetulekust turbamulda (Mäkilä, Saarnisto, 2008).

Paljude allikate alusel on meie rabamuldade paljuas-tane keskmise turba juridekasv $1,0 \pm 0,2$ mm (Valk, 1988; Allikvee, Ilomets, 1995). See juridekasv on keh-tiv pealisturbamulla 10–30 cm sügavusel lasuva tasa-kaalustunud turba puhul, sest pindmine kuni 10 cm tur-bakiht on vajumata ja seega veel väga väikese lasuvus-tihedusega ($<0,02$ Mg m $^{-3}$). Kui turba juridekasvu hin-damine tüseduse kasvu järgi annab küllaltki hea üle-vaate kogu turbalasundi suhtes, siis turvasmuldkatte osas see näitaja ei sobi, sest selles kihis ei ole turba la-suvustihedus veel stabiliseerunud ehk selle tiheduses esinevad mitmekordsed erinevused. Turvasmuldkatte puhul oleks õigem anda juridekasvu hinnang, kas turba kuivmassi või temas oleva süsiniku alusel.

Rabataimkatte turvasmulla pinnale ja või selle pind-misse kihti sattunud taimse vare pidevalt kulgev lagu-nemine-humifitseerumine kestab aastakümneid kuni tema stabiliseerumiseni turbana anaeroobses keskkonnas. Lagunemise protsessidest säilinud vare osa käsit-letakse kui turba juridekasvu. Eestis ja Eestiga sarnas-tes (pedo-ökoloogiliselt ekvivalentsetes) tingimustes on looduslikult talitlevate rabaturvasmuldkatte juride-kasv viimase 300–500 aasta jooksul varieerunud piiri-des 100–580 kg C ha $^{-1}$ ehk 0,2–1,1 Mg ha $^{-1}$ turba kuiv-massi aasta kohta (Mäkilä, Saarnisto, 2008). Samade autorite üldistustena on *Holotseeni* valdavad rabaturba keskmised juridekasvud olnud (Soomes, Lääne-Sibe-riis, Kanadas, Alaskal) küllaltki kitsastes piirides ulatu-des 150 kuni 250 kg C ha $^{-1}$ a $^{-1}$. Võttes arvesse ka meie poolt tehtud arvutusi võiks Eesti rabamuldade keskmiseks reeperjuridekasvuks võtta 0,15–0,25 Mg C ha $^{-1}$ a $^{-1}$ ehk 0,3–0,5 tonni kuiva turvast hektari kohta aastas. Viimasena toodud suuruse vastavust konkreetse raba kohta saame kontrollida võttes aluseks kas kogu rabas-tumise perioodi või selle teatud osa kulgemise aja ja sellel perioodil moodustunud turbavaru.

Viimastel aastakünnitel on laekunud rohkesti and-meid CO $_2$ ja CH $_4$ emissiooni mõõtmiste kohta talitle-valt rabapinnalt (Strack jt, 2008; Salm jt, 2010; Inisheva jt, 2011). Siinjuures on olnud komplitseeritud vahetegemine CO $_2$ emissiooni algpõhjuste vahel. Nii eritub osa CO $_2$ -st produktsioniprotsessi tulemusena (autotroofne hingamine), osa orgaanilise aine säilitus-hingamisenä ja/või turba lagunemisega aeroobses keskkonnas (heterotroofne hingamine). CH $_4$ emissioon, mis on seotud anaeroobse keskkonnaga, toimub vaid vähe-sel määral turvasmuldkatte alumises kihis, sest põhili-selt toimub see ikkagi turvasmuldkattest allpoolasuvate

turbavarude arvel. Orgaanilise süsiniku väljumine raba-öösüsteemist võib peale nende toimuda veel ka vees lahustunud süsiniku ja rabavees olevate orgaanilise aine peente osiste ehk hõljumi koosseisus. Ka aeg-ajalt puhkevad rabamaastiku põlengud suurendavad oluli-selt CO $_2$ emissiooni rabamuldkattest atmosfääri.

Juhul kui on tegemist kasvava rabaga, kus iga-aasta-sest AFP süsiniust akumuleerub rabaturbasse *ca* 10% ning samas esinevad ka süsiniku hüdroloogilised (raba-vete liikumise kaudsed) kaod mõne protsendi ulatuses, siis keskmise CO $_2$ emissioon rabamullast ei tohiks ületada 0,8–1,3 Mg CO $_2$ -C ha $^{-1}$ a $^{-1}$ ehk keskmise heterot-roofne hingamine aasta jooksul peaks jäätma alla 3–5 tonni CO $_2$ ühe hektari kohta. CO $_2$ emissiooni mõõdukas suurenemine ei pruugi alati olla seotud varasemate tur-bavarude lagunemisega, sest on võimalikud veel ka AFP aeg-ajalt toimuvad intensiivistumised. Samas on rabade ühe aasta CO $_2$ emissiooni suurenemine üle 12–13 tonni hektari kohta selgeks märgiks rabamuldkatte degraderumise kohta.

Rabamuldade kasutamine ja kaitse

Võttes aluseks rabade ja nendel asuva muldkatte öko-loogiliste teenuste loetelu selgub, et rabade kasutamise ja kaitsega seotud probleemidest on huvitatud paljud erinevate elualade esindajad. Rabade kaitse ja kasuta-mise korraldamise teeb keeruliseks ka see, et suur osa rabadest on talituslikult seotud mitte ainult teiste nor-maalsete arenguga soomuldadega (madal- ja siirdesood), vaid ka lammi-madalsoo- ja jäärsoomuldade kui anor-maalsete turvasmuldkattega ning samuti ka kõigi nendega kokkupuutes olevate veekogude ja turvastunud mineraalmuldkattega. Nimetatud asjaoludest lähtuvalt vajab Eestimaa rabade muldkatte kasutamise ja kaitse korraldus laiapõhjalist arutelu, millesse oleks hõlmatud rabade käekäiguga seotud erinevate huvigruppide esin-dajad ja maavaljad. Arutelu tulemusena tuleks leida mõistlik tasakaal, nii pikemas perspektiivis kui antud hetke majanduslikus olukorras, rabade kasutamise ja täieliku lukku panemise vahel.

Kõigile kättesaadavate kirjandusallikate (vt kasutatud kirjanduse nimekirja) järgi on Eestis olemas arvestata-vates kogustes väljuurimisi ja inventuure soode sh rabade turbavarude ning nende liikide ja omaduste, taim-katte koosseisu ja tüpiseerimise ning turvasmuldkatte le-viku ja omaduste kohta. Arvestataval hulgal on tehtud süvaurimisi turbalaamade ökoloogia ja arengu, hüdro-loogia, eri liiki turvaste bioloogiliste ja keemiliste oma-dustute, rabade kuivendamise ja metsastamise ning kait-sega seotud probleemide kohta. Taoline uuritustase on heaks aluseks seni valitud suundade korriegerimiseks ja kohandamiseks muutuvate majandamistingimustega. Eitada ei saa sealjuures ka mõningaid rabadega seotud probleemide senist vähest uuritust, milledest olulisema-teks on jäärsoode rekultiveerimise võimaluste ja ra-ba-öösüsteemide süsiniku aastabilansi ja selle mõjurite uurimine. Kõigi huvigruppide vajaduste mõistlikku ar-vestamist ei saa tagada aga ilma olemasolevate uuri-misandmete sünteesita (mida ei ole kahjuks seni vajali-

kul määral tehtud), sest see tagaks komplekssema (teaduspõhise) arutelu võimaluse turbaalade kasutamise ja kaitse osas.

Selgitamist (või revideerimist) vajab iga konkreetse raba tähtsus nii Eesti kui terviku seisukohalt, kui ka loakaalsetest huvitest lähtuvalt. Esimene valik kaitstavate rabaalade osas on seni tehtud ja peaks ka edaspidi toimuma kogu riigi seisukohalt. Mõistlik valik on selline, mis võimaldab riigil arendada teaduspõhiselt kõiki erinevaid kasutamise suundasid. Teine valik on pigem kohalike omavalitsuste või maaomanike otsustada, kusjuures majandamise kulud ja tulud lähtuksid kohalikest huvitest. Piirkondliku tähtsusega rabade suhtes võiks lubada tunduvalt rohkem manipuleerimise võimalusi. Näiteks otsustada kas sellel alal on suurem rekreatiivne ja koriluse väärthus versus turba kaevandamisel või kuvendamisel intensiivsemaks metsakasvatuseks jms.

Teenimatult on üldrahvaliku põlguse alla kistud nn soodesõja käigus rabamuldade kuivendamine (Marvet, Kukk, 2010). Kindlasti on selles osas tehtud suuremaid või väiksemaid möödalaskmisi, kuid samas on see siiski üks oluline võte paljude teiste kõrval, mis aitab teatud rabamulda mõistlikult ühiskonna huvides ära kasutada. Nii muutub rabamuldade kuivendamisel koos deficitsiidis olevate toiteelementide (milleks on tavaliselt fosfor ja mõned mikroelemendid) manustumisega nende pindmine osa (epipedon) ajapikkus hästi lagunenud eutroofseks kõduturbaks ning koos sellega on rabamuld transformeerunud madalsoo ilmega siirdesoomullaks. Taolistel kuivendatud rabamuladel saavad mängi kõrval edukalt areneda ka kuusikud ja kaasikud (Valk, 1995; Lõhmus, 2008; Pikk, 2010). Kuivendatud rabade alustaimestik hakkab enam sarnanema mustika kasvukohatüpi mineraalmuldade taimestikuga ning puistute boniteet paraneb oluliselt. Loomulikult domineerib kuivendatud rabamuladel süsiniku emissioon selle akumulerumise üle turbamullas, kuid samal ajal saab osa kaost kompenseeritud selle talletumisega hoopiski väärthuslikumasse fütomassi, milleks on puurinde tüve puit.

Rabamuldade vale kasutamisega seotud talitluste ebasoovitatavaid muutusi ja omaduste degradatsiooni on võimalik välida maavaldaja teadlikkuse tõstmise kaudu. Prioriteedina peaks Eesti riik finantseerima jääksode rekultiveerimist produktiivseteks püsirohu-maa- või metsa-ökosüsteemideks. Meie arvates ei ole õige teha suuri investeeringuid katkenud või katkestatud rabastumisprotsesside tagasipööramiseks, et taastada talitlevad rabad. Taolised ettevõtmised on teata-vasti väga kulukad ja tulemused kaheldavad. Mõistlikoleks äärmisel juhul majandada mõnda katseala, et saada kogemusi talitleva raba taastamise alal. Aga üldiselt ei ole see meie prioriteet, sest meil on rabade hal-damise mitmekesisamiseks ja uurimiseks piisavalt võimalusi olemasolevate eriilmeliste rabade arvel. Samas on muidugi teada, et nii mõneski Euroopa piirkonnas taoline mitmekesisus puudub ja seal ollakse eluliselt huvitatud rabade taastamise kogemuste väljatöötamisest. Samas, kui meil on olemas vastavad asjatundjad,

siis nad peaksid saama seda teha mitte Eesti maksu-maksja raha, vaid sellest huvitatud riikide finantseeri-misel. Põhilised argumendid rabade taastamise vastu on järgmised: 1) rabaökosüsteemid on äärmiselt madala produktiivsusega ja ilmaasjata ei tasuks suurendada vä-heproduktiivsete maismaaökosüsteemide pindala, 2) raba floora ja fauna liigikaitse ei ole Eestis probleemiks, sest et selle saab tagada senini kaitse all olevate rabade arvel, ja 3) meil puudub rabade taastamise kogemus, mis arvatavasti on kulukas ja töömahukas prot-sess.

Kokkuvõte rabade kaitsega seotust

- Vajalik on saavutada mõistlik tasakaal rabade kasutamise ning eriotstarbega ja rangusega kaitse vahel.
- Võimalikult komplekssel moel tuleks optimeerida kaitsealuste rabade hulk ja pindala, et oleks kaetud kõik olulised loodus ja keskkonnakaitsetised vaja-dused nii kogu riigi kui regionaalsetest huvitest lähtuvalt.
- Rabade kasutamine ja kaitse peaks lähtuma rabade käesolevast seisust ja tehtud inventuuridest, kuna need on piisavalt heaks aluseks edaspidise stratee-gia väljatöötamisel.
- Järgides nõuet, et ei tohiks lubada rabamuldi kasu-tada haritava maana, on siiski paljudel juhtudel õi-gustatud rabamuldade senisest tunduvalt intensiiv-sem kasutamine. Rohkemal määral võiks lubada rabametsade kasvutingimuste parandamist niiskusre-žiimi osalise reguleerimise abil. Samas tuleks arves-tada, et kompleksse kasutusplaani ja kooskõlastuse puudumisel on õigem lage- ja püsirabad jäät-sesse looduslikku seisu.
- Nutulaul Eesti rabade kadumise üle on ehk pisut liialdatud ja sellega seoses ei saa majanduslikust küljest pidada otstarbekaks talitlevate rabamuldkat-te tõealastatud taastamist.
- Väärtusliku põllumajandusliku maa analoogia põh-jal võiks koostada vastavasisulise seadustiku ka tur-vasmuldade suhtes, kus on seadusega määratud pii-rangute kõrval esitatud ka nende hea kasutamise tava.

Huvide konflikt / Conflict of interests

Autor kinnitab artikliga seotud huvide konflikti puudumist.
The author declares that there is no conflict of interest regarding the publication of this paper.

Tänuavaldused

Autor avaldab tänu PMK Mullaseirebüroo juhatajale Priit Penule rabamuldade levikukaardi koostamise eest.

Kasutatud kirjandus

- Allikvee, H., Ilomets, M. 1995. Peatlands and their development. In: Estonia. Nature (Ed. A. Raukas). – Tallinn, Valgus, p. 327–347 (in Estonian).
- Arold, I. 2005. Eesti maaistikud. – Tartu Ülikooli Kirjastus, Tartu, 453 lk.

- Astover, A., Kõlli, R., Roostalu, H., Reintam, E., Leedu, E. 2012. Mullateadus. Õpik kõrgkoolile. – Eesti Loodusfoto, Tartu, 486 lk.
- EMDK, Eesti muldade digitaalne kogu, 2008. Eesti Maaülikool (võrguteavik) – <http://mullad.emu.ee/>
- Etverk, I. (koostaja) 1980. Metsamajanduse teatmik. – Valgus, Tallinn, 376 lk.
- Ilnicki, P. 2002. Peatlands and peats. – Wydawnictwo Akademii Rolniczej im. A. Cieszkowskiego, Poznan.
- Inisheva, L.I., Golovchenko, A.V., Szajdak, L.W. 2016. Distribution of organic compounds in the System of geochemically linked mires (the spurs of Vasyugan Mire). In: Biogenic – abiogenic interactions in natural and Anthropogenic Systems (Eds. O.V. Frank-Kamenetskaya, E.G. Panova, D.Y. Vlasov). – Springer International Publishing, Switzerland, p. 288–306.
- Inisheva, L.I., Zemtsov, A.A., Novikov, S.M. 2011. Vasyugan Mire. Natural conditions, structure and functioning. – Russian Academy of Agricultural Sciences, Tomsk, 158 pp.
- IUSS Working Group WRB, 2015. World Reference Base for Soil Resources 2014, update 2015. International soil classification system for naming soils and creating legends for soil maps. – World Soil Resources Reports No. 106. FAO, Rome, 182 pp.
- Jefimov, V.N. 1980. Peat soils / Torfjanõe potchvõ. Rosselhozizdat, Moskva, 120 pp. (in Russian).
- Kosykh, N.P., Naumov, A.V. 2012. The sphagnum cover of the northern West Siberian mires. In: Necessity of peatlands protection (Eds. L.W. Szajdak, W. Gaca, T. Meysner, K. Styła, M. Szczepanski). – IAFE PAS, Poznan, p. 119–129.
- Krall, H., Pork, K., Aug, H., Püss, Œ., Rooma, I., Teras, T. 1980. Eesti NSV looduslike rohumaade tüübide ja tähtsamad taimekooslused. – Eesti PM, ZBI ja EPP, Tallinn, 88 lk.
- Kõlli, R. 1991. Ökosüsteemide fütoproduktiivsuse pedoökoloogiline analüüs. I. Metsad. – Agraarteadus II, I:39–60.
- Kõlli, R. 2015. Rabamuld: Aasta muld 2016. – Teavik. Eesti Mullateaduse Selts, Eesti Loodusfoto, Tartu, 6 lk.
- Kõlli, R., Astover A., Noormets, M., Tõnutare, T., Szajdak, L. 2009a. Histosol as an ecologically active constituent of peatland: a case study from Estonia. Plant and Soil, 317(1–2): 3–17.
- Kõlli, R., Ellermäe, O., Köster, T., Lemetti, I., Asi, E., Kauer, K. 2009b. Stocks of organic carbon in Estonian soils. – Estonian Journal of Earth Sciences, 58(2): 95–108.
- Kõlli, R., Kukk, L., Astover, A. 2012. The management and protection of peat and peaty soils: an ecosystem approach. In: Necessity of peatlands protection (Eds. L.W. Szajdak, W. Gaca, T. Meysner, K. Styła, M. Szczepanski). IAFE PAS, Poznan, p. 281–296.
- Laasimer, L. 1965. Eesti NSV taimkate / Plant cover of Estonian SSR. Valgus, Tallinn. 397 lk. (in Estonian)
- Laasimer, L., Masing, V. 1995. Taimestik ja taimkate / Flora and plant cover. In: Estonia. Nature. (Ed. A. Raukas). – Tallinn, Valgus, p. 364–396. (in Estonian)
- Lõhmus, E. 2006. Eesti metsakasvukohatiibid / Estonian forest site types. – Loodusfoto, Tartu, 80 lk. (in Estonian)
- Maa-amet, 2001. Vabariigi digitaalse suuremõõtkavaliise mullastiku kaardi seletuskiri. http://geoportaal.maaamet.ee/docs/muld/mullakaardi_seletuskiri.pdf
- Maa-ameti Geoportaal, 2016. Mullakaart. <http://geoportaal.maaamet.ee/est/Kaardiserver-p2.html>
- Marvet, A., Kukk, T. 2010. Soodesõda ei lõpe kunagi: Intervjuu. – Eesti Loodus, 9: 34–39 (442–447).
- Masing, V. 1984. Estonian bogs: plant cover, succession and classification. In: European mires (Ed. P.D. Moore). – Academic Press, London, p. 119–148.
- Masing, V. 1997. Ürgsed sood kui loodusmälestised. Eesti Entsüklopeediakirjastus. – Tallinn, 96 lk.
- Mäkilä, M., Saarnisto, M. 2008. Carbon accumulation in Boreal peatlands during the Holocene – Impacts of climate variations. In: Peatlands and climate change (Ed. M. Strack). – International Peat Society, Jyväskylä, p. 24–43.
- Orru, M., Orru, H. 2008. Sustainable use of Estonian peat reserves and environmental challenges. – Estonian Journal of Earth Sciences, 57, 87–93.
- Orru, M. (Ed.) 1992. Eesti turbavarud / Estonian peat resources. RE Eesti Geoloogiakeskus. – Tallinn, 146 lk. (in Estonian)
- Orru, M. 1995. Eesti turbasood. Teatmik/ Estonian mires. – Handbook. Eesti Geoloogiakeskus, Tallinn, 240 lk. (in Estonian)
- Paal, J. 1997. Eesti taimkatte kasvukohatiibide klassifikatsioon / Classification of Estonian vegetation site types. Eesti Keskkonnaministeerium ja ÜRO Keskkonnaprogramm, Tallinn, 297 lk.
- Paal, J. 2005. Estonian mires. – Landesmuseen Neue Serie, 35, 117–146.
- Paal, J., Ilomets, M., Fremstad, E., Moen, A., Borset, E., Kuusemets, V., Truuus, L., Leibak, E. 1999. Eesti märgalade inventeerimine 1997 / Estonian Wetland Inventory 1997. Project report. Eesti Loodusfoto, Tartu. 166 lk. (in Estonian)
- Pikk, J. 2010. Jääksode metsastamine: Maavarade kaevandamine ja puistangute rekultiveerimine Eestis (koost. E. Kaar, K. Kivisté). – Eesti Maaülikool, Tartu, lk 396–402.
- Raudsepp, A. 1946. Eesti NSV turbasood / Peat mires of Estonian S.S.R. – Teaduslik kirjandus, Tartu, 240 lk. (in Estonian).
- Salm, J.-O., Soosaar, K., Maddison, M., Tammik, S., Mander, Ü. 2010. Kasvuhoonegaasid ja süsinikukaod Eesti soodest. – Eesti Loodus, 9: 422–427.
- Strack, M., Waddington, J.M., Turetsky, M., Roulet, N.T., Byrne, K.A. 2008. Northern peatlands, greenhouse gas exchange and climate change. In: Peatlands and climate change. (Ed. M. Strack). – International Peat Society, Jyväskylä, p. 44–69.

- Szajdak, L.W., Szatylowicz J., Kõlli, R. 2011. Peats and peatlands, physical properties. In: Encyclopedia of Agrophysics (Eds. J. Glinski, J. Horabik, J. Lipiec). – Springer, Dordrecht, The Netherlands, p. 551–555.
- Valk, U. (Ed.) 1988. Eesti sood / Estonian Peatlands. – Tallinn, Valgus, p. 343 (in Estonian)
- Valk, U. 1995. Utilization and protection of mires. In: Estonia. Nature (Ed. A. Raukas). – Tallinn, Valgus, p. 354–363. (in Estonian)
- Valk, U. 2005. Eesti rabad: ökoloogilis-metsanduslik uurimus. – Halo Kirjastus, Tartu.
- Veber, K., Kurm, H., Rätsep, L., Truu. 1961. Eesti NSV turbafond. Tallinn. (in Russian)

Review: Bog soil – Year 2016 Soil of Estonia

Raimo Kõlli

Estonian University of Life Sciences,
Fr.R. Kreutzwaldi 5D-111, 51014 Tartu

Summary

By Estonian Soil Sciences Society for the year 2016 soil of Estonia the bog soil was elected. After WRB these soils are known as Fibric Histosols. The area of bog soils forms 5.1% from whole Estonian soil cover and 21.7% from peat soils' (or Histosols) area. In overview their classification in Estonia, conversion of local soil names into WRB system, ecological conditions of their forming and functioning, hydro-physical and chemical properties, and distribution are treated. Besides that the bog soils' productivity, peculiarities of their bogging processes, importance for society, and their influence on local economy and environmental status are analysed as well. In second part of the overview the estimations on organic carbon stocks and assessments on annual organic carbon fluxes in peaty soil cover are discussed. In the final part and in conclusions the problems connected with rational use and protection of bog soils are treated.



Short communication: THE EFFECT OF VERMICOMPOST BASED GROWTH SUBSTRATES ON TOMATO GROWTH

Margit Olle

Estonian Crop Research Institute, J. Aamissepa 1, 48309, Jõgeva alevik, Estonia
Phone: +372-6711554; E-mail: margit.olle@gmail.com

Saabunud: 28.04.16
Received:
Aktsepteeritud: 07.06.16
Accepted:

Valdatud veebis: 15.06.16
Published online:

Vastutav autor: Margit Olle
Corresponding author: Margit Olle
e-mail: margit.olle@gmail.com

Keywords: tomato, growth, vermicompost, substrate

Link: [http://agrt.emu.ee/pdf/
2016_1_olle.pdf](http://agrt.emu.ee/pdf/2016_1_olle.pdf)

ABSTRACT. Vermicomposting is a decomposition process involving the joint action of earthworms and microorganisms. Although microorganisms are responsible for the biochemical degradation of organic matter, earthworms are crucial drivers of the process, by fragmenting and conditioning the substrate and significantly altering its biological activity. The purpose of the work was to assess the influence of vermicompost based growth substrates on tomato transplant growth. Treatments were followed (supplier K. Compos): A) 30% vermicompost, peat, sand and dolomite stone; B) 25% vermicompost, peat, gravel, perlite; C) 25% vermicompost, peat, gravel, concrete block; D) commercially produced growth substrate bought from retail centre, as a control. Substrates containing vermicompost had increased stem diameter compared to control treatment. The tomato plant height was increased in substrates containing 25% vermicompost compared to other treatments. The number of leaves was highest in treatment C compared to other treatments. The number of flowers was increased in treatment A and lowest in treatment D. It can be summarized that for tomato the best growth substrate, regarding growth parameters is 25% vermicompost, peat, gravel, concrete block (treatment C).

© 2016 Akadeemiline Pöllumajanduse Selts. Kõik õigused kaitstud. 2016 Estonian Academic Agricultural Society. All rights reserved.

Introduction

Vermicompost role in the nutrition of agricultural fields has attracted attention of researchers worldwide only in recent decades (Adhikary, 2012). Vermicomposting is a decomposition process involving the joint action of earthworms and microorganisms. Although microorganisms are responsible for the biochemical degradation of organic matter, earthworms are crucial drivers of the process, by fragmenting and conditioning the substrate and dramatically altering its biological activity (Dominguez, Edwars, 2004). Vermicompost produced by the activity of earthworms is rich in macro and micronutrients, vitamins, growth hormones, enzymes such as proteases, amylases, lipase, cellulose and chitinase and immobilized microflora. The enzymes continue to disintegrate organic matter even after they have been ejected from the worms (Barik *et al.*, 2011). Vermicomposting is a self-promoted, self-regulated, self-improved and self-enhanced, low or no-energy requiring zero-waste technology. It is easy to construct, operate and maintain vermicomposting. All

other biological or mechanical technologies for production of 'bio-fertilizer' are not as good as vermicomposting technology (Mistry, 2015).

Greece and Egypt valued the role earthworms played in soil, as well as all other civilizations. The ancient Egyptians were the first to recognize the beneficial status of the earthworm. The Egyptian Pharaoh, Cleopatra (69–30 B.C.) recognized the important role the worms played in fertilizing the Nile Valley crop-lands after annual floods (Medany, 2011). The thoughts of ancient Indian Scientist Sir Surpala (10 Cent. A.D.), who recommended to add earthworms in the soil to get good fruits of pomegranate (Sinha, 2014a). Russian scientist Dr. Anatoly Igonin claimed that nobody and nothing can be compared with earthworms and their positive influence on the whole living Nature. They create soil and improve soil's fertility and provides critical biosphere's functions: disinfecting, neutralizing, protective and productive (Sinha *et al.*, 2014b).

Vermicompost is ideal organic manure for better growth and yield of many plants due to higher nutritional value than traditional composts. This is due to increased rate of mineralization and degree of humification by the action of earthworms. Vermicompost has

also high porosity, aeration, drainage, and water-holding capacity. Presence of microbiota particularly fungi, bacteria and actinomycetes makes it suitable for plant growth. Nutrients, such as nitrates, phosphates, and exchangeable calcium and soluble potassium in plant-available forms are present in vermicompost. Plant growth regulators and other plant growth influencing materials produced by microorganisms are also present (Joshi *et al.*, 2015).

Production of cytokinins and auxins was found in organic wastes that were processed by earthworms. Earthworms release certain metabolites, such as vitamin B, vitamin D and similar substances into the soil (Joshi *et al.*, 2015).

In addition to increased N availability, C, P, K, Ca and Mg availability in the casts are found in vermicompost (Joshi *et al.*, 2015).

Vermicompost contains plant nutrients including N, P, K, Ca, Mg, S, Fe, Mn, Zn, Cu and B, the uptake of which has a positive effect on plant nutrition, photosynthesis, the chlorophyll content of the leaves and improves the nutrient content of the different plant components (roots, shoots and the fruits). The high percentage of humic acids in vermicompost contributes to plant health, as it promotes the synthesis of phenolic compounds such as anthocyanins and flavonoids which may improve the plant quality and act as a deterrent to pests and diseases (Theunissen *et al.*, 2010).

The objective of the study was to assess the effect of vermicompost based growth substrates on growth of tomato transplant.

Material and methods

The experiments were carried out in cooperation with company K. Compos glass greenhouses between December 2015 to February 2016. The tomato variety 'Bajaja' was cultivated if four treatments (exact recipes were not available due to property rights):

A) 30% vermicompost, peat, sand and if needed dolomite stone

B) 25% vermicompost, peat, gravel, perlite.

C) 25% vermicompost, peat, gravel, concrete block.

D) Commercially produced growth substrate bought from retail centre (brand not specified) and used as a control. This substrate contained peat, and useful fertilizers for vegetable plant growth.

The results of substrates analyses are in Table 1.

Table 1. The mineral composition and pH of substrates

Treatment	pH _{KCl}	N %	P mg kg ⁻¹	K mg kg ⁻¹	Ca mg kg ⁻¹	Mg mg kg ⁻¹	Org. matter %
		(AL)	(AL)	(AL)			
A	6.56	1.005	2,689.2	5,029.1	2,656.5	2,193.6	29.61
B	6.79	0.305	684.0	2,423.4	2,303.3	572.2	11.80
C	6.48	0.370	859.3	2,638.2	2,131.4	626.0	13.53
D	5.58	0.968	936.3	2,478.6	4,887.1	1,066.2	76.44

The seeds in first experiment were sown on 2 December 2015. Young plants were transplanted two times: at first at spacing 5 cm into larger boxes (14 December 2015), second time into individual pot

(9 cm diameter), (16 January 2016). Plants harvested together with registration of growth results on 27 February 2016.

Each variant consisted of 16 plants. The experiment had four replicates. Each plot consisted of four plants. The experiment was repeated at the same time, i.e. in the second experiment seeds were sown on 2 December 2015, seedlings were transferred at first at spacing 5 cm into larger boxes (14 December 2015), second time into individual pot (9 cm diameter), (16 January 2016). Plants were harvested on 27 February 2016.

In the end of experiment on tomato the diameter of stem, the height of shoots, the number of leaves and the number of flowers (opened and just about to open) were measured.

The plants were grown in greenhouse with lighting from high pressure sodium lamps at light intensity of 10000 lux. The lighting period was 18 hours (04.00–22.00). A minimum day and night temperature of 23–24 °C was maintained in the greenhouse.

Analyses of variance were carried out on the data obtained using Excel. Used signs: *** – P ≤ 0.001; ** – P ≤ 0.01; * – P ≤ 0.05; NS – not significant (P > 0.05).

Results

The stem diameter was statistically different (Table 2). Substrates containing vermicompost had increased stem diameter compared to control treatment.

The height of plants was statistically different (Table 2). The tomato plant height was increased in substrates containing 25% vermicompost compared to other treatments.

Table 2. The tomato plant characteristics mean values (\bar{x}) and standard deviations (SD) depending on growth substrates

Treatment	Stem diameter, mm		Height of plants, cm		Number of leaves		Number of flowers	
	\bar{x}	SD	\bar{x}	SD	\bar{x}	SD	\bar{x}	SD
A	11.6 ^a	0.8	53.7 ^{ab}	9.7	51.3 ^{ab}	3.7	22.1 ^a	9.7
B	11.3 ^{ab}	0.5	56.5 ^a	8.4	52.8 ^{ab}	4.1	12.2 ^{ab}	7.0
C	10.8 ^{ab}	0.6	54.4 ^{ab}	4.7	54.3 ^a	3.9	15.0 ^{ab}	6.6
D	9.5 ^b	0.7	45.1 ^b	6.9	48.0 ^b	2.5	7.2 ^b	2.1
P-value	<0.001		<0.01		<0.001		<0.001	

The letters 'a' and 'b' refer to the significant difference between the values in column at the level of ≤ 0.05 .

The number of tomato leaves was statistically different (Table 2). The number of leaves was highest in treatment C compared to other treatments.

The number of flowers was statistically different (Table 2). The number of flowers was increased in treatment A and lowest in treatment D.

Discussion

Vermicompost based growth substrates promoted the growth of tomato plants by increasing tomato stem diameter, plant height, number of leaves and number of flowers.

Tringovska and Dintcheva (2012) found that all vermicomposts stimulated growth of tomato transplants, with up to a 2.2-fold increase occurring in shoot biomass. Differences in growth were attributed mainly to differences in nutrient content of the potting mixtures, but some changes in physical and biological properties of the substrate could also be responsible. The examination of the data revealed that Parthenium Vermicompost applied at 5 t ha⁻¹ enhanced the growth of eggplants (Seethalakshmi, 2011).

Worms and vermicompost promoted excellent growth in the vegetable crop with more flowers and fruits development (Adhikary, 2012). Studies made on the effects of vermicompost and chemical fertilizer on the hyacinth beans (*Lablab purpureas*) it was found that growth and flower appearance were significantly higher in those plots which received vermicompost either alone or in combination with chemicals. Vermicompost increases plant growth of some vegetable crops such as tomatoes, Chinese cabbage, spinach, strawberries and lettuce (Adhikary, 2012).

Similarly, both vermicompost and its body liquid (vermiwash) are proven as both growth promoters and protectors for crop plants (Adhikary, 2012).

Accordingly, vermicompost contains a high proportion of humic substances (that is, humic acids, fulvic acids and humin) which provide numerous sites for chemical reaction and microbial components known to enhance plant growth (Theunissen *et al.*, 2010).

In present study was found that vermicompost has positive effects on the growth and flowering of crops, as also found by Mistry (2015). Application of vermicompost increases soil health, soil minerals, water holding capacity, soil micro-organisms and nutritional values of yielding crop as well as decreases plant pest populations (Mistry, 2015).

In accordance with our results it was found that vermicompost is an ideal organic manure for better growth of plants. Application of vermicompost increased seed germination, stem height, number of leaves, leaf area, leaf dry weight, root length, root number, total yield, number of fruits/plant, chlorophyll content, pH of juice, TSS of juice, micro and macro nutrients, carbohydrate (%) and protein (%) content and improved the quality of the fruits and seeds (Joshi *et al.*, 2015).

The reasons for growth promoting effect could be followed: vermicompost is rich in NPK, micro-nutrients, beneficial soil microbes like 'nitrogen-fixing' and 'phosphate solubilizing' bacteria, 'mycorrhizal fungi', humus and growth hormones – auxins, gibberellins and cytokinins. It has very high 'porosity', 'aeration', 'drainage' and 'water holding capacity' (Sinha *et al.*, 2013). Previous study suggested that treatments of humic acids, plant growth promoting bacteria and vermicomposts can be used for a sustainable agriculture discouraging the use of chemical fertilizers (Joshi *et al.*, 2015).

Conclusions

Vermicompost based growth substrates promoted the growth of tomato plants by increasing tomato stem diameter, plant height, number of leaves and number of flowers.

It can be summarized that for tomato the best growth substrate, regarding growth parameters is treatment C, which contains 25% vermicompost, peat, gravel, concrete block.

Conflict of interests

The author declare that experiments were financed by Estonian company K. Compos. I had full access to all of the data in this study and I take complete responsibility for the integrity of the data and the accuracy of the data analysis.

Acknowledgements

Experiments were financed by Estonian company K. Compos.

References

- Adhikary, S. 2012. Vermicompost, the story of organic gold: A review. – Agricultural Sciences, 3, 905–917.
- Barik, T., Gulati, J.M.L., Garnayak, L.M., Bastia, D.K. 2011. Production of vermicompost from agricultural wastes. – Agric. Reviews, 31(3), 172–183.
- Dominguez, J., Edwards, C.A. 2004. 17. Vermicomposting organic wastes: A review. In: Soil Zoology for Sustainable Development in the 21st Century (eds. S.H. Shakir Hanna and W.Z.A. Mikhaïl), Cairo, pp. 369–395.
- Joshi, R., Singh, J., Vig, A.P. 2015. Vermicompost as an effective organic fertilizer and biocontrol agent: effect on growth, yield and quality of plants. – Reviews in Environmental Science and BioTechnology, 14(1), 137–159.
- Medany, M. 2011. Vermiculture in Egypt: Current Development and Future Potential Food and Agriculture Organization of the United Nations Regional Office for the Near East. – Cairo, Egypt, 99 pp.
- Mistry, J. 2015. Vermicompost, a best superlative for organic farming: a review. – Journal of Advanced Studies in Agricultural, Biological and Environmental Sciences, 2(3), 38–46.
- Seethalakshmi, S. 2011. Response of Eggplant (*Solanum melongena* L.) To Integrated Nutrient Management Amended Soil. – International Journal of Scientific Engineering Research, Volume, 2(8), 1–8.
- Sinha, R.K., Soni, B.K., Agarwal, S., Shankar, B., Hahn, G. 2013. Vermiculture for Organic Horticulture: Producing Chemical-Free, Nutritive & Health Protective Foods by Earthworms. – Agricultural Science, 1(1), 17–44.
- Sinha, R.K., Hahn, G., Soni, B.K., Agarwal, S. 2014a. Sustainable Agriculture by Vermiculture: Earthworms and Vermicompost Can Ameliorate Soils Damaged by Agrochemicals, Restore Soil Fertility,

- Boost Farm Productivity and Sequester Soil Organic Carbon to Mitigate Global Warming. – International Journal of Agricultural Research and Review, 2(8): 99–114.
- Sinha, R.K., Patel, U., Soni, B.K., Li, Z. 2014b. Earthworms for safe and useful management of solid wastes and wastewaters, remediation of contaminated soils and restoration of soil fertility, promotion of organic farming and mitigation of global warming: A review. – Journal of Environment and Waste Management, 1(1), 011–025.
- Theunissen, J., Ndakidemi, P.A., Laubscher, C.P. 2010. Potential of vermicompost produced from plant waste on the growth and nutrient status in vegetable production. – International Journal of the Physical Sciences, 5(13): 1964–1973.
- Tringovska, I., Dintcheva, T. 2012. Vermicompost as Substrate Amendment for Tomato Transplant Production. – Sustainable Agriculture Research, 1(2), 115–122.



COMPARISON OF METHANE PRODUCTION FROM INDIVIDUAL FEEDS AND TOTAL DIETS – AN *IN VITRO* EVALUATION

Mohammad Ramin¹, Merko Vaga¹, Edward Hernando Cabezas-Garcia¹, Edenio Detmann²

¹ Department of Agricultural Research for Northern Sweden, Swedish University of Agricultural Sciences, SE-901 83, Umeå, Sweden

² Departamento de Zootecnia, Universidade Federal de Viçosa, Viçosa, Minas Gerais, Brazil, 36570-900

Saabunud: 13.04.16
Received:
Aktsepteeritud: 01.06.16
Accepted:

Avaldatud veebis: 16.06.16
Published online:
Vastutav autor: Mohammad
Corresponding author: Ramin
e-mail: mohammad.ramin@slu.se

Keywords: feed interaction, greenhouse gases, gas production

Link: [http://agrtemu.ee/pdf/
2016_1_ramin.pdf](http://agrtemu.ee/pdf/2016_1_ramin.pdf)

ABSTRACT. The objective of the current study was to compare methane (CH_4) production from the *in vitro* gas production system by incubating feeds either individually or as mixed total diet. Eleven diets varying in the forage to concentrate ratio were tested. The forages were tropical grass or corn silages and the concentrate mixtures consisted of soybean grain, soybean meal, corn grain, wheat bran, urea and minerals in different proportions. There were three replicates for each diet. Methane production was reported as weighted mean for individual feeds and total diet separately. The mean of CH_4 production from total diet was 30.1 mL g^{-1} dry matter (DM) and 30.8 mL g^{-1} DM from the weighted mean of individual feeds. There was a weak correlation between weighted CH_4 production from individual feeds and complete diet ($r = 0.15$). It can be concluded that individual feeds cannot be used as a proxy to estimate CH_4 production from total mixed diets.

© 2016 Akadeemiline Pöllumajanduse Selts. Kõik õigused kaitstud. 2016 Estonian Academic Agricultural Society. All rights reserved.

Introduction

Methane (CH_4) production is a major problem in ruminant production system as it represents a significant energy loss from the diet *i.e.*, 6–6.5% of gross energy intake on average for dairy cows fed on grass silage based diets in Scandinavian countries (Huhtanen *et al.*, 2013). Many factors influence CH_4 production in ruminants such as digestibility, fat, and dry matter intake (Beauchemin *et al.*, 2009; Ramin, Huhtanen, 2013). Measuring CH_4 production from animals by respiration chambers is laborious and costly, but at the same time it is considered the most accurate method (Hellwing *et al.*, 2012).

In this context, the *in vitro* technique is an alternative method to estimate CH_4 production from ruminants (Cone *et al.*, 1996; Ramin, Huhtanen, 2012). One main disadvantage of the *in vitro* technique is that it does not take into account the dynamic of rumen, including the interaction between degradation and passage (Huhtanen *et al.*, 2008). Huhtanen *et al.* (1991) reported possible interaction between dietary components on diet digestibility, on the other hand, interaction among feeds can influence the stoichiometry of rumen fermentation which could modify CH_4 production as well.

However, the interaction between feeds has not been considered in the *in vitro* evaluation of diets.

In this way, we hypothesized that CH_4 production from individual feeds evaluation cannot be used as a predictor of CH_4 production from total diets. The objective of the current study was to compare CH_4 production from the *in vitro* gas production system by incubating feeds either individually or as total mixed diets.

Materials and methods

The *in vitro* trial was carried out at the Department of Agricultural Research for Northern Sweden, Swedish University of Agricultural Sciences, Umeå, Sweden. The study was conducted with the permission of the Swedish Ethical Committee on Animal Research.

Eleven diets were evaluated, with seven different forage-to-concentrate ratios ranging from 90:10 to 55:45 (Table 1).

The forages ($n = 9$) were tropical grass (*Brachiaria decumbens*, $n = 5$) and corn silages (*Zea mays*, $n = 4$). The concentrate mixtures ($n = 7$) were obtained by mixing whole soybean grain, soybean meal, corn grain, wheat bran, urea and minerals in different proportions (Table 2). Seven diets were taken from two grazing trials using Zebu heifers supplemented with concentrates

containing different soybean meal and whole soybean grains contents (Silva, 2012). Three forages were taken from the first grazing trial and two forages were taken from the second grazing trial from the study conducted by Silva (2012). Moreover, four diets were evaluated from a feedlot trial using Nellore bulls fed corn silage ($n = 4$) and concentrates ($n = 4$) (Costa e Silva *et al.*, 2013) (Table 1 and 2). The ingredient proportion of concentrates in feedlot trail were the same (the ratio of

different feeds) but differed in their chemical composition as the evaluations were performed along the feedlot period using the animals at different maturities (Costa e Silva *et al.*, 2013).

All forage samples were oven-dried (55 °C, 48 h) and were ground using a knife-mill to pass through a 1-mm screen sieve. The same procedure was performed with the concentrate feeds and carefully mixed according to the correct proportion given in Table 2 to make the concentrate mixture.

Table 1. Chemical composition and digestibility of diets taken from *in vivo* trials ($n = 11$)

Item	Grazing trial 1 ^A			Grazing trial 2 ^B			Feedlot trial ^C				
	SM	SM:SG	SG	SM1	SM2	SG1	SG2	MS1	MS2	MS3	MS4
Actual chemical composition, g kg⁻¹ DM											
Organic matter	917	918	918	912	921	922	922	945	946	943	942
Crude protein	112	114	112	74	80	77	75	125	132	125	120
Ether extract	15	23	30	14	13	33	28	33	29	21	24
Neutral detergent fiber	565	555	549	616	598	615	588	326	342	352	364
Diet characteristics ^D											
F:C	90:10	86:14	88:12	85:15	84:16	82:18	86:14	55:45	55:45	55:45	55:45
Organic matter digestibility (g kg ⁻¹)	587	614	616	507	493	494	497	679	696	714	732

^ASM – diet including forage (forage 1) and concentrate mixture with soybean meal as the main protein source; SM:SG – diet including forage (forage 2) and concentrate mixture with soybean meal and soybean grain as the main protein source; SG – diet including forage (forage 3) and concentrate mixture with soybean grain as the main protein source. Adapted from Silva (2012)

^BSM1 and SM2 – diet including forage (forages 1 and 2) and concentrate mixture with soybean meal as the main protein source; SG1 and SG2 – diet including forage (forages 1 and 2) and concentrate mixture with soybean grain as the main protein source. Adapted from Silva (2012).

^CMS1–4 – diets that include corn (4) silage with concentrate mixtures (4). Adapted from Costa e Silva *et al.* (2013)

^DF:C – forage to concentrate ratio (DM basis). For chemical composition of forages and concentrate mixtures see Table 2; The OM digestibility was measured *in vivo* (Silva, 2012; Costa e Silva *et al.*, 2013).

Table 2. Average chemical composition of concentrate mixture and forages separately and feed composition of concentrate mixtures

Item	Feeds from grazing trials ^A				Feeds from feedlot trial		
	SM n = 1	SM:SG n = 1	SG n = 1	Forage trial 1 n = 3	Forage trial 2 n = 2	Concentrate n = 4	Corn silage n = 4
Chemical composition, g kg⁻¹ DM							
Organic matter	910	919	918	918	920	947	943
Crude protein	339	295	296	86	31	195	65
Ether extract	7	65	131	16	13	30	23
NDF	208	239	141	606	686	134	521
Feed composition of concentrate mixtures, g kg⁻¹ DM							
Corn grain	0	0	0	–	–	816	–
Soybean meal	500	250	0	–	–	138	–
Soybean grain	0	250	500	–	–	0	–
Wheat bran	430	425	415	–	–	0	–
Minerals	60	60	60	–	–	26	–
Urea	10	15	25	–	–	20	–

^ASM – concentrate mixture with soybean meal as the main protein source; SM:SG – concentrate mixture with a combination of soybean meal and soybean grain as the main protein source; SG – concentrate mixture with soybean grain as the main protein source; Forage 1 and 2 – average composition of forages from trials 1 and 2; n – represents number of forage:corn silages or concentrate mixture used for that specific trial

Thus, the proportions needed for each concentrate mixture and forage for each diet ($n=11$) were weighted separately (depending on the ratio between forage and concentrate) in the *in vitro* bottles using an AG204DR (Mettler Toledo, Switzerland) analytical balance. Forage:corn silages and concentrate mixtures of all 11 diets were also incubated individually to later calculate CH_4 production based on the weighted mean of forage to concentrate (F:C) ratios of each diet.

Rumen fluid for all three *in vitro* incubation runs was obtained from the same two ruminally cannulated lactating Swedish Red cows about two hours after morning feeding. Cows were fed on a diet containing grass silage and commercial concentrate (60:40 on a dry matter [DM] basis). The crude protein (CP) of silage was

17.3% with a neutral detergent fibre (NDF) content of 55.1%. The commercial concentrate was Solid 220 (Lantmännen, Malmö, Sweden) mainly consisting of wheat, rapeseed meal, oat, dried sugar beet pulp and minerals. The rumen fluid was collected into pre-warmed thermos flasks previously flushed with carbon dioxide (CO_2) and afterwards filtered through four layers of cheesecloth into a buffered mineral solution (Menke, Steingass, 1988), with the ratio of rumen fluid to buffer of 20:80 (vol:vol). A fully automated *in vitro* gas production system was used as described by Cone *et al.* (1996) with recordings of gas production (GP) every 12 minutes. The recorded GP was corrected to normal air pressure (1013.5 h Pa). Samples of 1 g were weighed (total diet and individual feeds) directly into

250-mL serum bottles and incubated in 60 mL of buffered rumen fluid for 48 hours. The bottles were placed in water bath at 39 °C and gently agitated continuously during the incubations.

All 27 samples (forage:corn silages, concentrate mixtures and total mixed diets) were incubated in three *in vitro* series (runs) and were randomly distributed within the runs, resulting in three *in vitro* observations per sample. In each run, a blank (buffered rumen fluid without a sample) was incubated in duplicates. Gas samples were drawn from each serum bottle by a gas tight syringe (Hamilton, Bonaduz, Switzerland) at 2, 4, 8, 24, 32 and 48 h of incubation through a gas tight rubber suba seal (Z124567-100EA, 13, Sigma-Aldrich, Germany) that was previously installed on the pipes leading out from the *in vitro* serum bottles. Methane concentrations were determined by injecting 0.2 ml of gas into a star 3400 (CX series) gas chromatograph (Varian Chromatography, USA) equipped with a thermal conductivity detector. Calibration gas was completed using a standard mixture of CH₄ and CO₂ (100 mmol mol⁻¹) prepared by AGA Gas (AGA Gas AB, Sundbyberg, Sweden). Peaks were identified by comparison with the standard gas. Total gas production values from the fully automated *in vitro* gas production system were recorded. Methane production was measured as described by Ramin and Huhtanen (2012) and was reported as weighted means for individual feeds and total diet separately.

The statistical comparison was performed by a simple linear regression of values obtained from total diet incubations (Y) on values obtained from the weighted sum of the individual feeds (X) of respective diet, according to the model:

$$Y_{ij} = \beta_0 + \beta_1 \times X_{ij} + R_j + \varepsilon_{ij} \quad [1],$$

where Y_{ij} is the CH₄ production obtained by incubation of diet i in the incubation run j, β₀ is the intercept, β₁ is the slope, X_{ij} is the weighted CH₄ production obtained by individual feeds incubation in the incubation run j, R_j is the effect of the j incubation run (random effect), and ε_{ij} is the random error.

The following null hypotheses were tested:

$$H_0 : \beta_0 = 0 \quad [2],$$

$$H_0 : \beta_1 = 1 \quad [3],$$

where β₀ is the intercept, and β₁ is the slope.

The CH₄ production estimates obtained by diet or individual feed incubations should be considered similar if both of the null hypotheses are not rejected.

The model adjustment was performed by using the MIXED procedure of the SAS 9.4 ($\alpha = 0.05$). As shown in Equation [1], the model adjustment took into account for the random variation among different runs.

Results and discussion

The feeds used in the current study showed to have a wide range in terms of chemical composition (Table 2). Crude protein ranging from 31 up to 339 g kg⁻¹ DM and

neutral detergent fiber (NDF) varied from 208 to 686 g kg⁻¹ DM (Table 2). Similarly, the 11 diets used in the present study had wide ranges in chemical composition and *in vivo* digestibility (Table 1).

Descriptive statistics of the *in vitro* CH₄ production is given in Table 3. The mean of CH₄ production from the total diets was 30.1 mL g⁻¹ DM and 30.8 mL g⁻¹ DM from the weighted mean of individual feeds, respectively (Table 3).

Table 3. Descriptive statistics for the methane production (mL g⁻¹ DM) obtained from incubation of total diet and from weighted information of individual feeds

Statistic	Total diet	Weighted value
Mean	30.1	30.8
Minimum	21.3	22.9
Maximum	40.4	38.9
Standard deviation	5.64	4.31
n ^A	32	

^A: diet 11 had 2 replicates

In spite of presenting close average values, both null hypotheses were rejected ($P < 0.01$). This indicates a total lack of association between CH₄ production obtained by incubating total diets and individual feeds in the *in vitro* gas production system as shown in Figure 1.

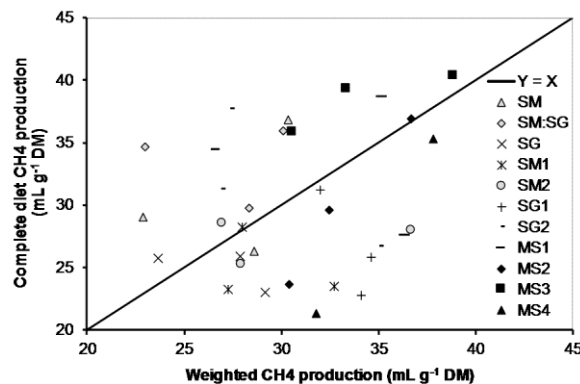


Figure 1. Descriptive relationship between the methane productions obtained from incubation of total diet ($n = 11$) and from weighted information of individual feeds. For interpretation of the reference to colour in this figure legend, the reader is referred to the web version of the article. For more details about the diets see Table 1. $\hat{Y} = 22.1 \pm 7.28 + 0.26 \pm 0.235 \times X$, $r = 0.15$, P value ($\beta_0 = 0$) – 0.005, P value ($\beta_1 = 1$) – 0.003, P value ($\rho = 0$) – 0.431, $n = 32$

This pattern is corroborate by a weak ($r = 0.15$) and non-significant ($P > 0.43$) correlation between those values and plot of residuals for CH₄ production from total diets (observed) versus predicted values from the weighted individual means (Figure 2). It is important to note that no specific effect of different diets was detected in this study. This can be stated because no clusters for different diets were observed and the scatter of the paired points from different diets was found to be homogeneously and randomly distributed around the equality line (Figure 1). Therefore, it can be infer that the lack of association between CH₄ production obtained from total diets and weighted individual feeds was an overall pattern that did not depend upon the evaluated diet.

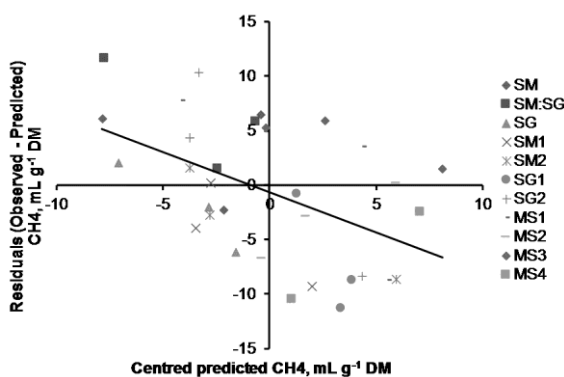


Figure 2. Plot of residuals (observed – predicted) for methane production from total diets ($n = 11$) versus values predicted from weighted individual feeds. The regression line in the graph represents the adjusted linear model for residual pattern. Predicted values were centred by subtracting the overall mean predicted value from each predicted value. For interpretation of the reference to colour in this figure legend, the reader is referred to the web version of the article. For more details about the diets see Table 1. [$\hat{Y} = -0.65 \pm 0.993 - 0.74 \pm 0.234 \times X$, P value ($\beta_0 = 0$) – 0.520, P value ($\beta_1 = 0$) – 0.003, $n = 32$]

The purpose of this study was to use a wide range of diets varying in F:C ratios and chemical composition taken from two grazing and one feedlot trial for evaluating CH_4 production *in vitro* from total diets and calculated based on weighted mean of individual feeds. The *in vitro* method used in the current study has been used for measuring CH_4 production in the literature for other purposes, *e.g.* the effect of CH_4 inhibitors and CH_4 production (Danielsson *et al.*, 2014). Ramin and Huhtanen (2012) found a high correlation between actual CH_4 production and predicted CH_4 production based on volatile fatty acids stoichiometric equations from their *in vitro* gas production system ($r = 0.97$).

Assuming a gross energy (GE) concentration of 18.5 MJ kg^{-1} DM, the average proportion of CH_4 energy as a proportion of GE used in the present study was 6.5%. This value is close to observed *in vivo* values at the production level of intake in dairy cows (Yan *et al.*, 2000). The calculated average CH_4 as a proportion of GE used in the current study were lower than the values reported by Getachew *et al.* (2005), in which they were between 8–9% of GE intake. One reason could be due to the lower *in vivo* digestibility of diets used in the current study for our *in vitro* evaluation that will influence CH_4 as a proportion of GE intake.

Digestibility of feeds either individual or in a mixed form (complete diet) does not only depend on the physical constraints and chemical composition but also depends on their interaction when feeds are mixed. According to Detmann *et al.* (2005, 2008), the ruminal degradation of structural carbohydrates from forages should be seen as a second order process, as the microbial activity on fiber depends on both feed and medium characteristics. This is of great relevance for this study because all diets evaluated in the present study were obtained from tropical conditions (Silva, 2012; Costa e Silva *et al.*, 2013) in which fiber represents the main energy source for cattle production. This could be one

reason for the differences in CH_4 production between observed and predicted values from individual feeds observed in the current study. Other factors such as differences in digestibility of diets and feed quality could also be a reason making this discrepancy. The associative effect of feeds on diet digestibility was also reported by Huhtanen (1991), Moss *et al.* (1992) and Detmann *et al.* (2005).

It is often assumed that energy values of feeds are additive and that there are no interactions when they are mixed. For instance, calculation of energy for dairy cattle adopted by NRC (2001) takes into account only chemical composition of feeds and that the only adjustment for energy content is based on intake level and therefore no interactions are considered. However, that might not always be true (Huhtanen, 1991). In this case, different feed ingredients of a diet can influence the proportion of fermentation end products such as volatile fatty acids and gases. Moss *et al.* (1995) reported a significant increase on CH_4 as a proportion of GE when the proportion of barley concentrate was increased from 0 to 75% in sheep fed grass silage. The main change in rumen fermentation pattern was an increase in butyrate, whereas both acetate and propionate decreased with increased concentrate. In feed lot type diets in which extreme levels of concentrate are fed (around 90%) the amount of CH_4 as a proportion of GE ranges from about 2–4% and the proportion of propionate also increases to the extent of decreased acetate and butyrate (Johnson and Johnson 1995). Other factor that could alter rumen fermentation pattern is the inclusion of diets with high fat content (Beauchemin *et al.*, 2009).

Rumen retention time could also affect CH_4 production, as increased intake declines CH_4 as a proportion of GE due to a faster passage and smaller retention time of feed particles (Ramin and Huhtanen, 2013). At the same time of increased passage, microbial cell yield will increase per unit of energy fermented by diluting maintenance expenditure (Russell *et al.*, 1992). Interaction of different feeds in the rumen can change the degradation rate of fiber and modify the overall stoichiometry of the ruminal fermentation. Associative effects have occurred when the apparent digestibility of a mixture does not equal the sum of the separately determined digestibilities of its components (Mould, 1988). The same trend was found in the present study for CH_4 production, as the sum of weighted mean of CH_4 production from individual feeds was not the same as the values obtained from total diets.

When the number of feeds in a diet is increased there will be a direct effect on the equilibrium and on the relative participation of the different microbial populations in the rumen (Russell, 2002). Accordingly, the metabolic pathways of energy production in the rumen would be intensely changed, including the dynamics and amount of hydrogen production (*e.g.*, acetate to propionate production rate) as well as the metabolic pathways for hydrogen sinks (*e.g.*, acrylate to succinate pathways for propionate production). From this, it

could be understood that all the dynamics and the equilibrium of hydrogen incorporation in either NADH or CH₄ molecules shall be affected by diet composition and interactions caused by the presence of different feeds in the diet.

Conclusion

From the results obtained here, it can be concluded that the weighted sum of individual feeds cannot be used as a proxy for the estimation of CH₄ production from total mixed diets in *in vitro* conditions.

Conflict of interests

The authors declares that there is no conflict of interest regarding the publication of this paper.

Acknowledgments

To Department of Agricultural Research for Northern Sweden, Swedish University of Agricultural Sciences, INCT Ciéncia Animal, CNPq and FAPEMIG, for financial support. To Dr. Luiz Costa e Silva and Dr. Aline Silva, for providing the feed samples.

References

- Beauchemin, K.A., McGinn, S.M., Benchaar, C., Holtshausen, L. 2009. Crushed sunflower, flax, or canola seeds in lactating dairy cow diets: Effects on methane production, rumen fermentation, and milk production. – *Journal of Dairy Science* 92, 2118–2127.
- Cone J.W., Van Gelder A.H., Visscher G.J.W., Oudshoorn L. 1996. Influence of rumen fluid and substrate concentration on fermentation kinetics measured with a fully automated time related gas production apparatus. – *Animal Feed Science and Technology* 61, 113–128.
- Costa e Silva, L.F., Valadares Filho, S.C., Detmann, E., Rota, P.P., Zanetti, D., Villadiego, F.A.C., Pellizzoni, S.G., Pereira, R.M.G. 2013. Performance, growth, and maturity of Nellore bulls. *Tropical Animal Health and Production* 45, 795–803.
- Danielsson, R., Werner-Omazic, A., Ramin, M., Schnürrer, A., Griinari, M., Dicksved, J., Bertilsson, J. 2014. Effects on enteric methane production and bacterial and archaeal communities by the addition of cashew nut shell extract or glycerol-An *in vitro* evaluation. – *Journal of Dairy Science* 97, 5729–5741.
- Detmann, E., Paulino, M.F., Cabral, L.S., Valadares Filho, S.C., Cecon, P.R., Zervoudakis, J.T., Lana, R.P., Leão, M.I., Melo, A.J.N. 2005. Simulation and validation of digestive kinetic parameters using an *in vitro* gas production system in crossbred steers with pasture supplementation. *Brazilian Journal of Animal Science* 34, 2112–2122.
- Detmann, E., Paulino, M.F., Valadares Filho, S.C. 2008. Nutritional evaluation of feeds or diets? A conceptual approach. Proc. 2nd International Symposium of Beef Cattle Production, Universidade Federal de Viçosa. Viçosa, MG, Brazil, p. 21–52 (in Portuguese).
- Getachew, G., Robinson, P.H., DePeters, E.J., Taylor, S.J., Gisi, D.D., Higginbotham, G.E., Riordan, T.J. 2005. Methane production from commercial dairy rations estimated using an *in vitro* gas technique. – *Animal Feed Science and Technology* 123–124, 391–402.
- Hellwing, A.L.F., Lund, P., Weisbjerg, M.R., Brask, M., Hvelplund, T. 2012. Test of a low-cost and animal-friendly system for measuring methane emissions from dairy cows. – *Journal of Dairy Science* 95, 6077–608.
- Huhtanen P. 1991. Associative effects of feeds in ruminants. – *Norwegian Journal of Agricultural Sciences* 5, 37–57.
- Huhtanen, P., Seppälä, A., Ots, M., Ahvenjärvi, S., Rinne, M. 2008. *In vitro* gas production profiles to estimate extent and effective first-order rate of neutral detergent fiber digestion in the rumen. – *Journal of Animal Science* 86, 651–659.
- Huhtanen, P., Krizsan, S., Hetta, M., Cabezas-Garcia, E.H. 2013. Repeatability and between cow variability of enteric CH₄ and total CO₂ emissions. – *Advances in Animal Biosciences* 4, 588.
- Johnson, K.A., Johnson, D.E. 1995. Methane emissions from cattle. – *Journal of Animal Science* 73, 2483–2492.
- Menke, K.H., Steingass, H. 1988. Estimation of the energetic feed value obtained from chemical analysis and *in vitro* gas production using rumen fluid. – *Animal research and development* 28, 7–55.
- Moss, A.R., Givens, D.I., Phipps, R.H. 1992. Digestibility and energy value of combinations of forage mixtures. – *Animal Feed Science and Technology* 39, 151–172.
- Moss, A.R., Givens, D.I., Garnsworthy, P.C. 1995. The effect of supplementing grass silage with barley on digestibility, in saccus degradability, rumen fermentation and methane production in sheep at two levels of intake. – *Animal Feed Science and Technology* 55, 9–33.
- Mould, F.L. 1988. Associative effects of feeds. In: *World Animal Science B4, Feed Science*. Ørskov, E.R. (Ed.), Amsterdam: Elsevier, pp. 279–292.
- National Research Council. 2001. *Nutrient Requirements of Dairy Cattle*. 7th rev. ed. Natl. Acad. Press, Washington, DC.
- Ramin, M., Huhtanen, P. 2012. Development of an *in vitro* method for determination of methane production kinetics using a fully automated *in vitro* gas system—A modeling approach. – *Animal Feed Science and Technology* 174, 190–200.
- Ramin, M., Huhtanen, P. 2013. Development of equations for predicting methane emissions from ruminants. – *Journal of Dairy Science* 96, 2476–2493.
- Russell, J.B. 2002. Rumen microbiology and its role in ruminant nutrition. James B. Russell, Ithaca, NY.

- Russell, J.B., O'Connor, J.D., Fox, D.G., Van Soest, P.J., Sniffen, C.J. 1992. A net carbohydrate and protein system for evaluating cattle diets: I. Ruminal fermentation. – *Journal of Animal Science* 70, 3551–3561.
- Silva, A.G. 2012. Soybean in multiple supplements for grazing beef heifers (in Portuguese). MS Thesis. Universidade Federal de Viçosa, Viçosa, Brazil.
- Yan, T., Agnew, R.E., Gordon, F.J., Porter, M.G. 2009. Prediction of methane energy output in dairy and beef cattle offered grass silage-based diets. – *Livestock Science* 64, 253–263.

KÕRGKOOLIÖPIK ÕHUSAASTE KÄSIRAAMAT



ISBN: 978-9949-39-074-8, 126 lk, 2015)

Õhusaaste käsiraamatu autoriteks on oma ala tunnustatud spetsialistid Tartu Ülikoolist (TÜ), Eesti Maaülikoolist (EMÜ), Säästva Eesti Instituudist ning Eesti Keskkonnauuringute Keskusest (EKUK).

Keskkond, kus mingi elus või eluta objekt paikneb, mõjutab seda nii füüsikaliste, keemiliste kui ka bioloogiliste mõjutegurite kaudu. Mida vähem sisaldab keskkond (õhk, vesi, muld jms) saasteaineid või muid potentsiaalselt ohtlikke komponente, seda väiksem on risk mitmesuguste otseste ja kaudsete kahjustuste tekkeks. Olulisemateks riskivaldkondadeks on toime inimese (loom, taime) tervisele ja heaolule, üldiselt ökosüsteemidele ja nende osadele, samuti materjalide vastupidavusele.

Käsiraamat on jagatud viide peatükki.

Esimedes peatükis käsitletakse atmosfääri koostist ja ehitust. Antakse ülevaade atmosfääri keemilisest koostisest, õhukihtide paiknemisest ning seostest, mis ise loomustavad õhu keemilise koostise looduslikke ja inimtegevusest põhjustatud muutusi ja erinevate õhukihtide segunemist.

Teine peatükk annab detailse ülevaate õhusaastest tingitud keskkonnaprobleemidest. Põhjalikult käsitletakse õhusaastet kui inimtervise riskifaktorit, saasteainete mõjusid ökosüsteemidele ning materjalidele. Peatükis on välja toodud peenosakeste kui olulise tervise riskifaktori tähtsus.

Kolmandas, mahukaimas ja ka ühes olulisemas käesoleva käsiraamatu peatükis tuuakse välja õhusaaste

tekke, leviku ja modelleerimise aspektid. Käsitletakse nii looduslike kui ka inimtekkelisi õhusaaste allikaid, saasteallikate tüüpe, samuti primaar- ja sekundaarosakeste teket. Õhusaaste tekke ja leviku ning atmosfääri kui pideva keskkonna modelleerimise alapeatükid annavad aimu nimetatud protsesside komplekssusest ja keerukusesest ning erineva raskus- ja täpsusastmega mudelarvutustest.

Neljandas peatükis räägitakse õhusaaste mõõtmisest. Tuuakse välja, millised on õhusaaste mõõtmise peamised eesmärgid, meetodid ning seadmed. Eraldi rõhutatakse eesmärkidest lähtuva mõõteprogrammi koostamise olulisust saadavate tulemuste interpreteerimise aspektist.

Viimases peatükis on vaatluse all teed, kuidas õhusaaste negatiivseid mõjusid leevedanada. Seda globaalses maastaabis nii regulatiivsete ning praktiliste, peamiselt energia kasutamisega seonduvate meetmete abil, kuid ka iga üksindiviidi isiklike tarbimisharjumuste muutmise kaudu.

Käsiraamat on kompaktne abivahend õhusaaste kui olulise keskkonnfaktori olemuse, leviku ja toime teadvustamisel ning mõistmisel.

Vormiliselt on raamat hästi liigendatud ja suhteliselt kergesti loetav. Märkimist väärrib iga peatüki juures eraldi väljatoodud olulisemate faktide ja mõistete loend. Samuti on peatükkide lõppudes nimetatud probleemid ja kitsaskohad, mis takistavad antud teema täpsemat mõistmist ning vajavad seetõttu veel põhjalikku uurimist.

Puudusena saab nimetad mõningate toimetamisel tähelepanuta jäänud keeleliste vigade ning lauseehituslike konaruste olemasolu.

Käsiraamat on heaks abivahendiks nii kõikide tase- mete üliõpilastele kui ka erialaspetsialistidele.

Allan Kaasik, PhD

Eesti Maaülikool, Veterinaarmeditsiini ja loomakasvatuse instituut, dotsent

HARALD TIKK 85



Käesoleval aastal jõudis oma elus auväärse versta-postini emeriitprofessor Harald Tikk.

Harald Tikk on sündinud 15. veebruaril 1931. a Viljandimaal Olustvere vallas Tedrenurme talus Helene-Elfriede ja Hans Tiku teise pojana. Haridustee algas

Reegoldi algkoolis, millele järgnes Tääksi 7-klassiline kool ja Viljandi II keskkool. Peale keskkooli lõpetamist 1950. a asus Harald Tikk õppima TRÜ Agronomia teaduskonna zootehnika osakonda, mille lõpetas Eesti Põllumajanduse Akadeemias õpetatud zootehnikuna 1955. a.

Üliõpilaspõlves suunas EPA omaaegne Eriloomakasvatuse kateedri juhataja dots C. Ruus üliõpilase H. Tiku varakult kateedris kana- ja hanekasvatuse probleeme lahendama. Juba õpingute ajal töötas H. Tikk eriloomakasvatuse kateedri katsetehnikuna ja jäi sellele tööle 1962. a-ni.

1962–1965 õppis H. Tikk aspirantuuri eriloomakasvatuse kateedris ja kaitses edukalt kandidaadi-dissertatsiooni teemal *Üleskasvatusviisiide mõju kalkunibroilerite kasvule ja lihaomadustele*.

Peale aspirantuuri Eriloomakasvatuse kateedri assistendina ja 1966. a-st vanemõpetajana asus H. Tikk sügavuti kalkunikasvatusega seotud teemasid uurima ning kaitses 1974. a põllumajandusteaduste doktorikraadi eriloomakasvatuse alal *Uurimus kalkuniliha toodangu ja selle kvaliteedi tõstmiseks Eesti NSV tingimustes*.

Aastatel 1977–1997. töötas H. Tikk eriloomakasvatuse kateedri professori kt-na, professorina, kateedri juhataja-professorina, EPMÜ väikelooma ja linnukasvatuse osakonna juhataja-professorina ja korralise professorina. Alates 1997. a on H. Tikk emeriitprofessor.

H. Tiku peamised uurimisvaldkonnad on olnud põllumajanduslindude (kanad, kalkunid, vutid, muskusparid jt) ja farmikarusloomade (kiskjalised karusloomad ja küülikud) aretus, söötmine ja pidamine. H. Tikk on ainukese Eestis loodud linnutõu – eesti vutitõu aretajate rühma juht.

H. Tiku pikaajalise töö tähelepanuväärsemateks teetähisteks on eesti vutitõu loomine, tema eestvõttel osteti Eestisse Inglismaalt selle aja parimad valge laiarinnalise kalkunitõu liinid, ehitati 4 kaasaegset kalkunifarmi, töötati välja meie farmidele sobiv kalkunite kunstliku seemenduse tehnoloogia, rakendati uurimistöös saadud tulemus kalkunite aretuses, söötmises ja pidamises, töötati välja linnuvabrikute eri osakondade ehitamisel nende vahemaa õhukaudse infektsiooni vältimiseks, töötati välja ja rakendati jõusöödatehastes

ühtsed söömisnormid kõikidele põllumajanduslindude liikidele, selgitati kana- ja vutimunade ning kanabroileri- ja vutiliha rikastamise võimalusi ω -3-rasvhapeteega ning nende mõju inimese tervisele.

Uurimisteemade andmekogude põhjal kaitsesid doktorikraadi 3, kandidaatikraadi 8 ja magistrikraadi 4 üliõpilast.

Emeriitprofessor Harald Tiku teadustöö tulemused – eesti vutitõu loomine, kalkunikasvatuse omaaegne kiire areng, muskuspardikasvatuse tehnoloogia väljatöötamine ja rakendamine, kana- ja vutikasvatussaaduste rikastamine ω -3-rasvhapeteaga – on leidnud rakendamist Eesti linnukasvatussaaduste toomise praktikas.

H. Tikk on olnud viljakas linnu- ja karusloomakasvatuse alaste erialaraamatute autor (koos kaasautoritega 30 nimetust), olulisimad neist *Kalkunikasvatus* (1976; 1983), *Kanamunade ja linnuliha tööstuslik tootmine* (1980, kaasautor), *Uusi põllumajanduslinde* (1986, kaasautor), *Karusloomakasvatus* (1987), *Linnukasvatus I, II, III* (1993, kaasautor), *Karusloomakasvatuse terminid* (2007, koostaja ja kaasautor), *Lindude tervishoid ja haigused* (2007, kaasautor), *Linnukasvatus I* (2007, koostaja ja kaasautor), *Linnukasvatus II* (2008, koostaja ja kaasautor), Linnukasvatuse terminid (2011, koostaja ja kaasautor).

Õppetööd on H. Tikk teinud linnu- ja karusloomakasvatuse valdkonnas alates 1962. aastast, lõpetades asendusõppejõuna 2007. a. Ta on olnud õpetajaks enam kui 8000-le üliõpilasele.

Harald Tiku suure panuse juures Eesti pedagoogika- ja teadusmaastikul ei saa kuidagi alahinnata ega märkimata jäätta abikaasa Viive Tiku rolli, kellega koos moodustasid nad tõhusa hästitoimiva tandem. Ühine on olnud panus ka mitmete erialaraamatute koostamisel.

Harald Tiku looduslased teadmised on muljetaval-davad. Teada-tuntud on ka tema hobid: fotograafia, kalapüük, aiandus ja mesindus. Pensionipõlves jäi rohkem aega ka reisimiseks. 1959–2009 on Harald Tikk laulnud meeskoris *Gaudeamus*.

Harald Tiku on mitmeti tunnustatud tema suure panuse eest Eesti linnukasvatusteadusse.

1987. a omistati talle ENSV teenelise teadlase au-nimetus. 1988. aastal pälvis Harald Tikk eesti vutitõu loomise kollektiivi liikmena tunnustuse – ENSV Ministrite Nõukogu preemia. 2008. aastal autasustati Harald Tikk Valgetähe IV klassi teenetemärgiga.

Harald ja Viive Tikk on üles kasvanud kaks poega. Palju rõõmu on valmistanud ka nende viis lapselast ja nende järeltulijad.

Kolleegid soovivad Harald Tikule tugevat tervist ja jätkuvalt tarmukat tegutsemist.

Irje Nutt

Lahkus Eesti-Läti sillapea – HENN TUHERM – *in memoriam*

06.09.1939–†12.05.2016



Läti Pöllu- ja Metsandusakadeemia Metsandusosakonna eestseisja, prof Talis Gaitnieks ütles oma kollegide mälestusele viidates Henn Tuhermi kohta: Ta oli suurmees- ja õpetatud aumees ning töeline rahvuslik (Läti H. P.) patrioot, kuigi ta oli rahvuselt eestlane, kandis ta hoolt läti keele ja selle kasutuse üle, eriti noorema põlvkonna doktorantide poolt. H. Tuherm olla lisanud veel: "Doktor ei ole vaid oma ala tippspetsialist, ta peab austama, hoidma ja hindama oma emakeelt".

Läti Põllumajandusülikooli kauaaegse prorektori ja NJF Läti eestvedaja Peteris Rivza sõnade kohaselt olla H. Tuherm ülikooli senatis tihtipeale tuletanud teistele meelde läti keele õiget grammatikat – eks ta oli ise ju selleks eelnevalt rohkem vaeva näinud, kui peale paariaastaseid õpinguid Tallinna Tehnikaülikoolist eestlaste rühmaga Jelgavasse metsa- ja puidutöötlemistehnoloogiat õppima läks, sinna teadus- ja õpetööle jäi ning lätlannaga abielludes pere soetas.

Oma elu jooksul jõudis Läti Põllumajandusülikooli õppeprorektor (1991–1995) metsanduse- ja puidutöötlemise emeriitprofessor, Dr. habil. sc. ing., Läti Pöllu- ja Metsanduse Akadeemia auliige, Eesti Maaülikooli audoktor, Rootsli Kuningliku Metsa- ja Põllumajanduse Akadeemia välisliige jpt tunnustusi pälvinud Henn Tuherm töötada 17 aastat puidutöötlemisosakonna juhatajana ja osaleda metsandusteaduskonna ja teaduskeskuse Silava ühistöös, oli üle 30 aasta valdkonna juhtivspetsialist ning teadlane. Eriti meeldis talle töö noortega; ta olla öelnud: "... sa oled nii vana kui vana on su keskkond ...". Ta ei piirdunud vaid õppejõutööga – peale taasiseseisvumist oli ta esimene Eesti-Läti diplomaatiline saadik. Oma eluteel oli ta tunnustatud paljude Läti ja välismaa teenetemärkide ning ordenitega:

- 1999 – Läti Põllumajandusministeeriumi medal.
- 2004 ja 2005 – Läti metsandussektori tunnustus teaduse ja noorsootöö eest.
- 2006 – allakirjutanu poolt Akadeemilise Põllumajanduse Seltsi (APS) esildisena Vabariigi President Arnold Rüütli poolt määratud Valgetähe Ordeni 4. jäär ning Läti Ministrite Kabinet ja Metsandussektori tunnuskiri elutöö eest.
- 2009 ja 2014 – Läti Põllumajandusülikooli kuldmedal metsandus- ja materjaliuuringute ning noorte spetsialistide koolitamise ja ülikooli sotsiaalse arenemise eest.

- 2010 – Barrikaadide medal 1991. a sündmustel osalemise eest.

- 2011 – Läti Vabariigi presidendilt Kolme Valgetähe ordeni 4. jäär.

Eriti tihe kontakt oli allakirjutanul ja APSil Henn Tuhermiga 2001–2007. a. Käisime Leo Liloveri jt väiksema grupiga korduvalt Jelgavas, sõlmisime Akadeemilise Põllumajanduse Seltsi ja Läti Pöllu- ja Metsanduse Akadeemiaga koostöölepingu viieks aastaks, H. Tuherm käis Tartus esinemas APSi aastakonverentsil, meie aga Lätis. Ja alati oli sillapeana vahendajaks ja meile otsetölgiks Henn Tuherm ise. APSi suurema delegatsiooni võttis ta vastu 2004. a Riias toimunud ESTO-päevade ajal. Järgmisel aastal oli ta meile teejuhiks Kuramaa ekskursiooni ajal. Tema kuju ja asjatundlik ning humoorikas jutt on meeles tänini.

Mis on selle eestisoost suguvelle tagamaa? Eks ikka kodu ja kool. Uudo Järvan meenutab klassivend Henn Tuhermit Haabersti 7-klassilise kooli priimusena, arvata, et ka Tallinna Reaalkooli Gümnaasiumis kuulus ta parimate hulka. Siin ei ole paljuks lisada veidi Henn Tuhermi lastetoa kohta; ta oli dotsent Vilma Raudsepa ja koorijuht ning muusikapedagoog Uno Järvela vanima õe poeg. Sügisel plaanitud Haabersti kooli klassi kokkutulekule aga Henn ei jõuagi – ta kutsuti ära 12. mail k.a. Saatjaskonnaks Dobele regiooni Bezesi kabelis olid arvukad kolleegid ja väga arvukas tudengikond lätlastele omaselt austuse ja suurejoonelisusega. Kahjuks mitte kedagi Eestist. Teate kätte saanud EMÜ juhtkond oli ilmselt hõivatud ja kahjuks APSini jõudis kurb teade 1,5 tundi enne ta matust.

Oma teenistusaja jooksul on Henn Tuherm lugenud mitmeid distsipliine, juhendanud lõpu- ja doktoritöid. Publitseeritud tööde maht ulatub 182 ühikuni, milles 20 monograafiad, 59 on avaldatud rahvusvaheliselt ja 99 kohaliku tähtsusega. Oma erialal töötas ta kokku 53 aastat. Teda jäid mälestama ja leinama arvukad õpilased, abikaasa Aina ja kaks poega Andres ja Aigars. Mõlemad pojad on isaga sama akadeemilise haridusega ning mõlema vanema keeles ja kultuuriruumis elu edasivijjad.

Austuse ja lugupidamisega pm-knd Heldur Peterson

Järelhüüde aluseks on kaasaegsete meenutused ja Läti Põllumajandusülikooli kodulehekülg.

JUUBELIALBUM AKADEEMILINE PÖLLUMAJANDUSE SELTS 95

Head seltsikaaslased

Tänava kevadel ilmus seltsi 95. juubelit tähistav kogumik võttes kokku seltsi toimeka ja kireva ajaloo nii sõnas kui pildis. Raamatut koostasid Ell Vahtramäe, Alo Tänavots ja Marko Kass, kujundas ja küljendas Alo

Tänavots. Saatesõna kirjutas seltsi auliige, president Arnold Rüütel.

Raamatu tellimiseks palume pöörduda seltsi sekretäri Heli Kiiman poole telefonil 731 3454 või e-posti teel heli.kiiman@emu.ee

